

**Transports
et Mobilité durable**

Québec



INVENTAIRE ARCHÉOLOGIQUE (ÉTÉ 2023)

**PROJET DE RECONSTRUCTION DU PONT P-01559 SITUÉ SUR LA
ROUTE 138 DANS LES LIMITES DE LA MUNICIPALITÉ DE BATISCAN,
DIRECTION GÉNÉRALE TERRITORIALE DE LA MAURICIE – CENTRE-
DU-QUÉBEC
(PROJET N° 154-99-0602)**



**TRUELLE
ET CIE INC.**



JUIN 2024

INVENTAIRE ARCHÉOLOGIQUE (ÉTÉ 2023)

PROJET DE RECONSTRUCTION DU PONT P-01559 SITUÉ SUR LA ROUTE
138 DANS LES LIMITES DE LA MUNICIPALITÉ DE BATISCAN,
DIRECTION GÉNÉRALE TERRITORIALE DE LA MAURICIE – CENTRE-DU-
QUÉBEC

(N° de permis de recherche archéologique au Québec : 23-CIET-08)

Rapport présenté à :

M. Ghislain Gagnon
Ministère des Transports et de la Mobilité durable
800, Place d'Youville, 11^e étage
Québec, Québec
G1R 3P4

Rapport présenté par :

Truelle et Cie Inc.
CP 313, Succursale Haute-Ville
Québec, Québec
G1R 4P8
Tél.: (418) 576-7760

Juin 2024

RÉSUMÉ

La Direction générale territoriale de la Mauricie – Centre-du-Québec du ministère des Transport et de la Mobilité durable a mandaté la firme Truelle et Cie Inc. afin de réaliser un inventaire archéologique préalablement aux travaux de reconstruction du pont P-01559, situé sur la route 138, au-dessus de la rivière Batiscan. Ce secteur présentait un potentiel archéologique associé à l'occupation humaine au cours de la période paléohistorique mais également de la période historique, plus précisément associé à la présence de l'ancien noyau villageois débutant dès le XVII^e siècle. De plus, un lien par voie navigable aurait potentiellement été présent dans le secteur d'intervention à partir du début du XVIII^e siècle.

L'inventaire archéologique a été mené en deux phases de travaux s'échelonnant entre le 31 juillet et le 6 septembre 2023. L'intervention a mené à la découverte de plusieurs contextes datant du début du XX^e siècle, notamment des aires de rejet, qui étaient situées en bordure de la rivière, ainsi que des vestiges de béton associés à des bâtiments secondaires. Bien que des artefacts pouvant témoigner du XIX^e, voire même du XVIII^e siècle aient été trouvés dans certains sondages, aucun contexte en place pouvant être associé à ces périodes n'a cependant été identifié. Notons qu'aucun élément associé à la période paléohistorique n'a été mis au jour dans les limites du secteur d'intervention.

À la lumière des résultats des travaux d'inventaire archéologique effectués dans l'emprise du projet de reconstruction du pont P-01559 situé sur la route 138, les travaux prévus dans le cadre de ce projet peuvent être réalisés sans qu'il n'y ait de contraintes sur les ressources archéologiques.

TABLE DES MATIÈRES

RÉSUMÉ	ii
TABLE DES MATIÈRES	iii
LISTE DES FIGURES	iv
LISTE DES TABLEAUX	vii
LISTE DES PHOTOGRAPHIES	viii
ÉQUIPE DE RÉALISATION	xi
1. INTRODUCTION	1
1.1 Contexte et mandat	1
1.2 Secteur d'intervention.....	1
1.3 Organisation du rapport.....	4
2. MÉTHODOLOGIE	5
2.1 Inventaire archéologique	5
3. CADRE GÉOGRAPHIQUE	7
3.1 Environnement actuel	7
3.2 Paléoenvironnement	7
4. CADRE CULTUREL ANCIEN.....	11
5. CONTEXTE HISTORIQUE	14
6. ÉTAT DES CONNAISSANCES EN ARCHÉOLOGIE.....	25
6.1 Interventions archéologiques et découvertes antérieures	25
6.2 Potentiel archéologique du secteur d'intervention	28
7. INVENTAIRE ARCHÉOLOGIQUE.....	29
7.1 Résultats.....	29
7.1.1 Zone d'inventaire 1	29
7.1.2 Zone d'inventaire 2.....	34
7.1.3 Zone d'inventaire 3.....	41
7.1.4 Zone d'inventaire 4.....	46
7.1.5 Zone d'inventaire 5.....	50
7.1.6 Zone d'inventaire 6.....	67
7.1.7 Zone d'inventaire 7.....	77
8. CONCLUSION ET RECOMMANDATIONS.....	81
BIBLIOGRAPHIE.....	82
ANNEXE 1 : INVENTAIRE DES ARTÉFACTS	86
ANNEXE 2 : CATALOGUE DES PHOTOGRAPHIES ET PLANCHES-CONTACTS	96
ANNEXE 3 : AVIS ARCHÉOLOGIQUE DE M. GHISLAIN GAGNON DU MTMD (2022)	112

LISTE DES FIGURES

Figure 1.	Localisation générale du projet de reconstruction du pont P-01559 de la route 138, dans la municipalité de Batiscan (projet n° 154-99-0602).....	2
Figure 2.	Délimitation du secteur d'intervention	3
Figure 3.	Résumé des principaux événements géomorphologiques pour les régions de Québec, de la Basse-Mauricie et d'Asbestos-Valcourt (Figure tirée de Parent et Occhietti 1988 : 224).....	9
Figure 4.	Courbe d'émersion pour la région du lac Saint-Pierre (Figure tirée de Archéo-Cad 2014 : 19).....	10
Figure 5.	Carte de la seigneurie de Batiscan par le sieur Gédéon de Catalogne et datée de 1709 (Image tirée de Massicotte 1984: 23).....	15
Figure 6.	Plan cadastral daté 1725 avec un agrandi de l'embouchure de la rivière Batiscan (Bibliothèque et Archive Canada, cote ANC, ID4126800; image tirée de Gagnon 2022 : 5)	16
Figure 7.	Carte du colonel Bayfield datée de 1838 et illustrant le chemin de chaque côté de la rivière Batiscan (Bibliothèque et Archive Canada, cote ANC ID 3663604; image tirée de Gagnon 2022 : 6).....	17
Figure 8.	Carte du colonel Bayfield datée de 1860 et illustrant le pont traversant la rivière Batiscan (Bibliothèque et Archive Canada, cote ANC ID 3671827; image tirée de Gagnon 2022 : 7).....	18
Figure 9.	Premiers plans cadastraux datés de 1872 et de 1873 illustrant le pont de la rivière Batiscan après sa reconstruction (GAGQ, PL081_A, Image tirée de Gagnon 2022 : 8)	19
Figure 10.	Traverse du bac représentée sur un plan daté de 1910 mais modifié en 1915 (Bibliothèque et Archive du Canada, cote ANC ID 3671731; image tirée de Gagnon 2022 : 9).....	20
Figure 11.	Feuillet 3 du plan PO-1920-1-01559_PO_TC_003_1_01 montrant le chemin de la traverse sur le côté sud menant au quai du bac ainsi que le tracé de ce bac (Image tirée de Gagnon 2022 : 12)	21
Figure 12.	Extraits des plans de Goad datés de 1897 et de 1933 représentant des moulins à scie sur la berge sud de la rivière Batiscan (BAnQ, 3 027 482 et 328 131; image tirée de Gagnon 2022 : 13).....	22

Figure 13.	Carte topographique datée de 1931 sur laquelle les anciens quais du bac sont représentés (Plan PO-1920-1-01559_PO_TC_003_1_01; image tirée de Gagnon 2022 : 14)	23
Figure 14.	Photographie aérienne datée de 1964 et montrant le secteur d'intervention (Image tirée de Gagnon 2022 : 15)	24
Figure 15.	Localisation des zones d'information archéologique et des sites archéologiques inscrits à l'ISAQ et présents dans un rayon de 5 km ayant pour centre le secteur d'intervention	26
Figure 16.	Localisation des zones d'inventaire archéologique	30
Figure 17.	Localisation des sondages manuels réalisés dans les limites de la zone d'inventaire 1	31
Figure 18.	Croquis stratigraphique de la paroi ouest du sondage GPS-007	33
Figure 19.	Localisation des sondages manuels réalisés dans les limites de la zone d'inventaire 2	35
Figure 20.	Croquis stratigraphique de la paroi nord du sondage GPS-022	37
Figure 21.	Croquis stratigraphique de la paroi ouest du sondage GPS-034	40
Figure 22.	Localisation des sondages manuels réalisés dans les limites de la zone d'inventaire 3	42
Figure 23.	Croquis stratigraphique de la paroi ouest du sondage GPS-136	44
Figure 24.	Croquis stratigraphique de la paroi nord du sondage GPS-060	47
Figure 25.	Localisation des sondages manuels réalisés dans les limites de la zone d'inventaire 4	48
Figure 26.	Croquis stratigraphique de la paroi nord du sondage GPS-141	51
Figure 27.	Localisation des sondages manuels réalisés dans les limites de la zone d'inventaire 5	52
Figure 28.	Croquis stratigraphique de la paroi nord du sondage GPS-124	54
Figure 29.	Croquis stratigraphique de la paroi ouest du sondage GPS-093	57
Figure 30.	Croquis stratigraphique de la paroi nord du sondage GPS-084	61
Figure 31.	Croquis stratigraphique de la paroi nord du sondage GPS-138	65

Figure 32.	Croquis stratigraphique de la paroi ouest du sondage GPS-104.....	66
Figure 33.	Localisation des sondages manuels réalisés dans les limites de la zone d'inventaire 6	68
Figure 34.	Croquis stratigraphique de la paroi sud du sondage GPS-072.....	70
Figure 35.	Croquis stratigraphique de la paroi nord du sondage GPS-070.....	72
Figure 36.	Croquis stratigraphique de la paroi nord du sondage GPS-080.....	74
Figure 37.	Croquis stratigraphique de la paroi sud du sondage GPS-083.....	76
Figure 38.	Localisation des sondages manuels réalisés dans les limites de la zone d'inventaire 7	78
Figure 39.	Croquis stratigraphique de la paroi sud du sondage test GPS-048	79

LISTE DES TABLEAUX

Tableau 1.	Identification du projet de reconstruction du pont P-01559 situé sur la route 138, dans les limites de la municipalité de Batiscan.....	4
Tableau 2.	Sites archéologiques connus dans un rayon de cinq km ayant pour centre le secteur d'intervention.....	27

LISTE DES PHOTOGRAPHIES

Photo page couverture :	Vue générale de la zone d’inventaire 6, vers le nord (TCI-MTQ-BAT-23-100)	
Photo 1.	Vue générale de la zone 1, à l’intersection du rang Nord et de la route 138, vers l’est (TCI-MTQ-BAT-23-003).....	32
Photo 2.	Paroi nord du sondage GPS-004 réalisé dans les limites du lot 4 306 246, vers le nord (TCI-MTQ-BAT-23-008)	32
Photo 3.	Vue d’ensemble du terrain gazonné correspondant au lot 4 176 261, vers le nord (TCI-MTQ-BAT-23-008).....	36
Photo 4.	Objets de nature historique découverts dans les sondages GPS-018, GPS-021 et GPS-022 effectués dans la zone d’inventaire 2. <i>A- Tesson de faïence blanche de style de Moustiers (1679-1874); B et C- Tessons de terre cuite grossière de production locale (1760-1850); D- Tesson de terre cuite fine de type creamware (1762-1830)</i> (Photo : Dominic Drouin).....	38
Photo 5.	Parement nord du mur de soutènement d’un ancien chemin menant vers la maison. Ce chemin rejoignait la rampe d’accès au pont visible sur la gauche de la photo, vers le sud (TCI-MTQ-BAT-23-057).....	39
Photo 6.	Paroi ouest du sondage GPS-034, vers l’ouest (TCI-MTQ-BAT-23-064).....	39
Photo 7.	Objets de nature historique découverts dans le sondage GPS-033 effectué dans la zone d’inventaire 2. <i>A et B- Fragments de soucoupe et tasse en porcelaine fine orientale avec décor floral (à partir de 1887); C- Tessons de terre cuite fine blanche (à partir de 1820); D- Tesson de grès grossier nord-américain avec glaçure saline (XIX^e siècle)</i> (Photo : Dominic Drouin).....	41
Photo 8.	Paroi ouest du sondage GPS-136 réalisé dans la zone d’inventaire 3, vers l’ouest (TCI-MTQ-BAT-23-181).....	45
Photo 9.	Vue générale de l’environnement de la zone d’inventaire 3, du côté ouest de l’approche du pont en fer, vers le nord-est (TCI-MTQ-BAT-23-077).....	45
Photo 10.	Paroi nord du sondage GPS-060 réalisé dans la zone d’inventaire 3, vers le nord-ouest (TCI-MTQ-BAT-23-078)	46
Photo 11.	Objets de nature historique découverts dans les sondages GPS-061 et GPS-062 effectués dans la zone d’inventaire 4. <i>A- Bouteille à médicament en verre coloré brun (1928-1976); B- Fragment de bouteille à boisson alcoolisée en verre coloré vert (1928-1976); C- Électrode en graphite (1877 aux années 1950); D- Fragment de théière en terre cuite fine chamois (1850-1930); E et F- Tessons de terre cuite</i>	

	<i>fine blanche dont un avec un décor floral (à partir de 1820); G- Tesson de terre cuite grossière locale (1680-1890) (Photo : Dominic Drouin)</i>	49
Photo 12.	Extrémité nord de la zone d'inventaire 4, vers l'est (TCI-MTQ-BAT-23-203)	49
Photo 13.	Paroi nord du sondage GPS-141 réalisé dans la zone d'inventaire 4, vers le nord (TCI-MTQ-BAT-23-202).....	50
Photo 14.	Vue de l'emplacement du sondage GPS-124, à l'est de la résidence sise sur le lot 4 504 523, vers le sud (TCI-MTQ-BAT-23-167).....	53
Photo 15.	Paroi sud du sondage GPS-159 réalisé dans la zone d'inventaire 5, vers le sud-sud-est (TCI-MTQ-BAT-23-228)	55
Photo 16.	Objets de nature historique découverts dans les sondages GPS-124, GPS-159, GPS-155 et GPS-156 effectués dans la zone d'inventaire 5. A- <i>Tesson de terre cuite fine jaune avec décor imprimé (XIX^e siècle aux années 1930); B- Tesson de terre cuite fine de type creamware (1762-1830); C- Tesson de terre cuite grossière locale (1680-1890); D et E- Fragments de pipes à fumer dont un tuyau de la fabrique Henderson (1847-1876); F- Tessons de terre cuite fine blanche avec un décor imprimé en bleu (à partir de 1820); (Photo : Dominic Drouin)</i>	56
Photo 17.	Paroi ouest du sondage GPS-093 réalisé dans la zone d'inventaire 5, vers le nord-ouest (TCI-MTQ-BAT-23-131)	58
Photo 18.	Mur nord d'un bâtiment partiellement effondré et sa jonction avec le mur ouest, vers l'est (TCI-MTQ-BAT-23-190)	58
Photo 19.	Jonction des murs est et sud d'un bâtiment partiellement effondré, vers l'est (TCI-MTQ-BAT-23-193).....	59
Photo 20.	Seuil de porte visible dans le mur sud d'un bâtiment partiellement effondré, vers l'ouest (TCI-MTQ-BAT-23-195)	59
Photo 21.	Jonction des murs sud et ouest du bâtiment partiellement effondré, vers le sud (TCI-MTQ-BAT-23-198).....	60
Photo 22.	Ouverture de la structure de béton vue de l'extérieur, vers le nord (TCI-MTQ-BAT-23-136).....	62
Photo 23.	Vue de l'intérieur de la structure de béton, vers le nord (TCI-MTQ-BAT-23-143). À noter la présence d'une conduite traversant la structure.....	62
Photo 24.	Vue de l'intérieur de la structure de béton, vers l'ouest (TCI-MTQ-BAT-23-141). À noter la présence de plusieurs tuyaux en plastique dans le coin sud-ouest de la chambre.	63

Photo 25.	Vue générale de l'extrémité sud de la zone d'inventaire 5, vers le sud (TCI-MTQ-BAT-23-146).....	64
Photo 26.	Paroi nord du sondage GPS-084 réalisé dans la zone d'inventaire 6, vers le nord (TCI-MTQ-BAT-23-122).....	64
Photo 27.	Paroi ouest du sondage GPS-104 réalisé dans la zone d'inventaire 5, vers l'ouest (TCI-MTQ-BAT-23-148).....	67
Photo 28.	Vue générale de l'extrémité sud de la zone d'inventaire 6, vers le nord (TCI-MTQ-BAT-23-090).....	69
Photo 29.	Paroi sud du sondage GPS-072 réalisé dans la zone d'inventaire 6, vers le sud (TCI-MTQ-BAT-23-102).....	69
Photo 30.	Paroi nord du sondage GPS-064 réalisé dans la zone d'inventaire 6, vers le nord-ouest (TCI-MTQ-BAT-23-095)	71
Photo 31.	Médaille religieuse dédiée à Sainte-Anne (fin XIX ^e siècle) mise au jour dans le sondage GPS-063 (Photo Dominic Drouin).....	73
Photo 32.	Paroi nord du sondage GPS-080 réalisé dans la zone d'inventaire 6, vers le nord (TCI-MTQ-BAT-23-120).....	75
Photo 33.	Paroi sud du sondage GPS-083 réalisé dans la zone d'inventaire 6, vers le sud (TCI-MTQ-BAT-23-117).....	75
Photo 34.	Vue générale de la zone d'inventaire 7, vers le sud-est (TCI-MTQ-BAT-23-071).....	77
Photo 35.	Paroi nord du sondage test GPS-048 réalisé dans la zone d'inventaire 7, vers le nord (TCI-MTQ-BAT-23-073)	80

ÉQUIPE DE RÉALISATION

MINISTÈRE DES TRANSPORTS ET DE LA MOBILITÉ DURABLE

Direction de l'environnement

Direction générale de la gestion des projets routiers et de l'encadrement en exploitation

Ghislain Gagnon, archéologue

Direction des projets

Direction générale territoriale de la Mauricie – Centre-du-Québec

Sébastien Rheault, ingénieur chargé de projet

TRUELLE ET CIE INC.

Désirée-Emmanuelle Duchaine, archéologue, coordonnatrice

Antoine Guérette, responsable de terrain (inventaire et rédaction)

Myriam Chercuitte-LeBlanc, aide à la recherche et technicienne-archéologue

Dominic Drouin, technicien-archéologue et technicien de laboratoire

Ève-Marie Guénette, technicienne-archéologue

Julie Toupin, spécialiste en culture matérielle

ARCHÉO-CAD

Marie Fournier, cartographe

1. INTRODUCTION

1.1 Contexte et mandat

La firme Truelle et Cie Inc. a été mandatée afin d'effectuer des travaux d'inventaire archéologique dans le cadre du projet n° 154-99-0602 du ministère des Transports et de la Mobilité durable (MTMD) visant la reconstruction du pont P-01559 de la route 138 enjambant la rivière Batiscan, dans la municipalité de Batiscan, dans les limites de la Direction générale territoriale de la Mauricie – Centre-du-Québec (**figure 1**). Cette intervention archéologique s'inscrivait dans une démarche préventive devant permettre de documenter le secteur à l'étude, de valider les projections concernant le potentiel anticipé et de définir la valeur patrimoniale du secteur touché par les travaux. Cette démarche fait suite aux recommandations formulées dans un rapport synthétisant le potentiel archéologique du projet produit par le MTMD (**annexe 3**). Cette étude avait permis de délimiter plusieurs zones à potentiel ayant trait à la fois à l'occupation du territoire au cours de la paléohistoire et de la période historique antérieure au XXI^e siècle

En somme, le mandat accordé à la firme Truelle et Cie Inc. avait pour but d'identifier toutes les informations nécessaires à l'analyse des risques en lien avec le patrimoine archéologique et de proposer des mesures d'atténuation d'impacts appropriées. Cette intervention archéologique a été effectuée en deux phases de mobilisation entre le 31 juillet et le 6 septembre 2023, totalisant six jours de terrain, sous le permis de recherche archéologique 23-CIET-08. Ces travaux ont mobilisé une équipe constituée d'un archéologue responsable d'intervention et de deux à trois technicien(ne)s-archéologues.

1.2 Secteur d'intervention

Le secteur d'intervention correspondait à l'emprise de la route 138, de part et d'autre du pont de la rivière Batiscan, dans le secteur de la municipalité de Batiscan, dans la municipalité régionale de comté (MRC) Les Chenaux. Plus précisément, il s'agissait du tronçon routier 00138-05-080-000C localisé entre les chaînages 1+729 et 2+112, en plus d'une emprise représentant le tracé projeté du nouveau pont. L'emprise du projet s'étendait sur une longueur approximative de 383 m dans les limites de laquelle les zones à expertiser couvraient une superficie globale de 97 058 m² (**figure 2; tableau 1**).

Afin de faciliter les enregistrements sur le terrain et la présentation des données dans le présent rapport, le secteur d'intervention a été divisé en sept zones d'inventaire. Chacune de ces zones présentait des caractéristiques qui lui étaient propres sur le plan géographique, environnemental et stratigraphique. Ces caractéristiques sont énumérées et qualifiées dans la section présentant les résultats de l'inventaire archéologique (voir la **section 7**).

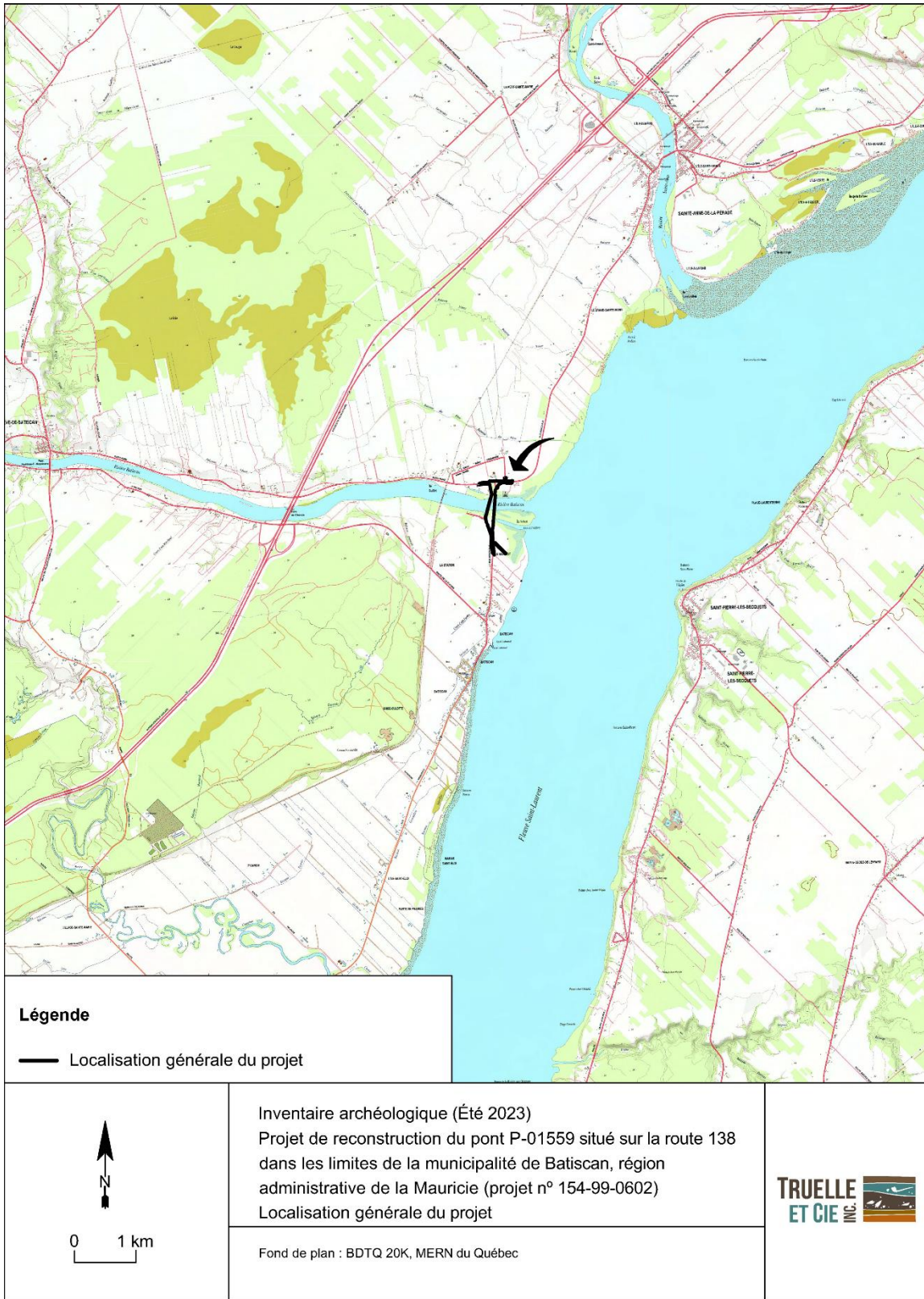


Figure 1. Localisation générale du projet de reconstruction du pont P-01559 de la route 138, dans la municipalité de Batiscan (projet n° 154-99-0602)



Figure 2. Délimitation du secteur d'intervention

Tableau 1. Identification du projet de reconstruction du pont P-01559 situé sur la route 138, dans les limites de la municipalité de Batiscan

N° de projet	Localisation et description	Date de réalisation	Nombre de sondages/ Tranchées	Résultats
154-99-0602	Projet de reconstruction du pont de la route 138 sur la rivière Batiscan, municipalité de Batiscan, MRC Les Chenaux	En deux phases du 31 juillet au 6 septembre 2023	Inspection visuelle et 160 sondages manuels	Découverte de zones de rejet (dépotoirs) associées au début du XX ^e siècle en bordure de la rivière Batiscan. Découverte d'artéfacts datant des XVIII ^e et XIX ^e siècles dans quelques sondages. Découverte des vestiges d'un bâtiment fait de blocs de ciment et d'une structure à fonction indéterminée en béton.

1.3 Organisation du rapport

Le présent rapport est constitué de huit parties distinctes incluant la présente introduction qui décrit le mandat octroyé à la firme Truelle et Cie Inc. et qui définit également le secteur global d'intervention. Il est d'abord question de la méthodologie employée pour la réalisation des travaux d'inventaire archéologique. Les sections suivantes font respectivement état des cadres géographique et culturel ancien ainsi que du contexte historique et des connaissances archéologiques acquises jusqu'à maintenant concernant le secteur d'intervention. Par la suite, les résultats des travaux d'inventaire réalisés sont présentés. Enfin, la dernière partie du rapport porte sur les conclusions et les recommandations découlant de ceux-ci.

2. MÉTHODOLOGIE

2.1 Inventaire archéologique

La méthodologie employée est conforme à celle prescrite par le MTMD :

- Effectuer, préalablement à la réalisation de toute expertise archéologique, les recherches documentaires ayant trait à la réalisation et à la localisation d'inventaires archéologiques, à la présence de sites archéologiques préhistoriques et historiques connus à proximité et dans l'emprise d'un projet de construction devant être inventoriée;
- Effectuer, préalablement à la réalisation d'une expertise archéologique, les recherches documentaires ayant trait à la période historique, tant euro-québécoise qu'autochtone, aux fins de compréhension d'éventuelles mises au jour de vestiges d'occupation humaine et d'intégration du contexte culturel devant être inclus dans un rapport de recherche archéologique;
- Effectuer, préalablement à la réalisation d'une expertise archéologique, les recherches documentaires permettant la reconstitution théorique de la paléogéographie pertinente à la compréhension de l'occupation humaine ancienne du contexte du projet de construction devant être inventorié
- Effectuer un ou des inventaires archéologiques visant à vérifier la présence ou l'absence de sites préhistoriques et historiques autochtones ainsi qu'historiques euro-québécois;
- Toute expertise archéologique comprend la réalisation d'une inspection visuelle systématique de l'aire d'intervention dans la mesure où celle-ci soit accessible de façon sécuritaire. Cette inspection a pour objectif de permettre l'identification d'éventuels biens archéologiques visibles en surface;
- Les secteurs dont les sols sont irrémédiablement perturbés par des activités anthropiques ou des bouleversements divers, les secteurs en fortes pentes, les milieux humides et les affleurements rocheux doivent systématiquement faire l'objet d'une inspection visuelle;
- Toutes les superficies propices doivent faire l'objet de sondages disposés systématiquement en quinconce et espacés entre eux d'une distance approximative de 15 m ou selon les stipulations du Ministère. Chaque sondage doit avoir une dimension minimale de 30 cm sur 30 cm (surface de 900 cm²). Tous les sondages doivent être localisés à l'aide d'un appareil GPS, nonobstant la marge d'erreur de l'appareil employé. Un avertissement à cet égard doit être fait au rapport de recherche archéologique. Le contenu excavé dans chaque sondage doit être vérifié minutieusement à la truelle et le couvert végétal et organique superficiel, déstructuré lorsqu'il est susceptible de renfermer des biens ou des sites archéologiques. Lorsque les excavations sont réalisées dans un secteur ayant fait l'objet d'un aménagement paysager (ex. : halte routière, parterre de fleurs, propriété à usage résidentiel, etc.), le couvert végétal doit être prélevé de manière à permettre la remise en état des lieux et le terrain doit être nettoyé une fois les sols remis en place. Lorsque le contexte le permet, le Ministère recommande l'usage de bâches disposées de manière à isoler les déblais d'excavation des aménagements à préserver;

- Des sondages tests mesurant 50 cm sur 50 cm doivent être réalisés et atteindre la profondeur prescrite. Toutes les informations pertinentes pour chacun d'eux doivent être consignées. De plus, un croquis stratigraphique doit être produit, et les coordonnées géographiques, la marge d'erreur de l'appareil GPS ainsi que l'altitude (NMM) de chaque sondage test doivent être notées. Lorsqu'un mandat se déroule dans les limites d'un projet ne comprenant aucun aménagement routier existant, les sondages tests doivent être réalisés à tous les 500 m le long du centre-ligne du projet et chaque fois qu'une différence significative est observée au niveau des sols ou de l'environnement physique. Lorsqu'un mandat se déroule dans les limites d'un aménagement routier existant, un sondage test doit être effectué pour chaque secteur archéologique identifié et chaque fois qu'une différence significative au niveau des sols et du terrain est observée;
- Lorsqu'un site archéologique est découvert ou identifié au cours d'un inventaire archéologique, celui-ci doit être localisé, délimité, puis qualitativement et quantitativement évalué;
- Lorsque des biens archéologiques sont mis au jour lors de sondages ou observés en surface, des sondages supplémentaires doivent être réalisés en périphérie à une distance maximale de 5 m les uns des autres afin de déterminer la superficie du site identifié et de procéder à son évaluation;
- Les sondages réalisés en périphérie d'un sondage positif doivent être de 50 cm sur 50 cm;
- Les biens archéologiques identifiés dans les sondages doivent être localisés par rapport au niveau de sol de référence;
- Toutes les mesures, plans et relevés stratigraphiques et photographiques nécessaires à la compréhension des biens archéologiques doivent être prises;
- Tous les sondages positifs doivent être précisément localisés en fonction de l'arpentage existant ou sinon arpentés sur le terrain à partir d'un point de référence identifiable et tous les sondages effectués doivent être comptabilisés; sondages archéologiques positifs et négatifs différenciés;
- Dans le cas de l'implantation d'un quadrillage ou d'alignements de sondages, un plan de référence doit être préparé et joint au rapport;
- Tous les sondages archéologiques doivent être obligatoirement remblayés;
- Tout aménagement, structure ou organisation de l'espace, de nature anthropique, à l'état de vestige autre qu'archéologique, doit être l'objet d'une description détaillée, d'un relevé cartographique à l'échelle du plan de construction, d'un croquis et d'un relevé photographique;
- Chaque site archéologique identifié doit être évalué en tenant compte de son intégralité physique et une description de son contexte environnemental doit être complétée;
- Le cas échéant, le prestataire doit proposer des mesures de protection, de sauvetage, de fouille et de mise en valeur du patrimoine archéologique identifié dans l'emprise d'un projet de construction, en fonction des caractéristiques des sites archéologiques éventuellement identifiés ainsi que de la menace appréhendée par la réalisation des travaux devant être effectués par le Ministère ou pour le compte de celui-ci.

3. CADRE GÉOGRAPHIQUE

3.1 Environnement actuel

Le secteur d'intervention se trouve dans l'unité de paysage régional de Trois-Rivières, dans la région écologique de la Plaine du Saint-Laurent. Il se situe dans le sous-domaine bioclimatique de l'Érablière à tilleul de l'Est (Ministère des Ressources naturelles et Forêts 2016). Les limites du secteur d'intervention se trouvent cependant en milieu agricole et résidentiel, ceinturant un axe de circulation important qu'est la route 138.

Le socle rocheux est de nature sédimentaire, formé de shale gris et de mudstone à interlits de grès lithique, de siltstone, de calcarénite et de dolarénite. Ces roches appartiennent toutes à la formation de Nicolet, datant de l'Ordovicien. Plus largement, cette formation compose la plate-forme du Saint-Laurent (SIGEOM 2024).

Les sols du secteur sont associés à trois unités pédologiques distinctes, dépendamment s'ils se trouvent au nord ou au sud de la rivière Batiscan. Dans la portion du secteur d'intervention située au sud de la rivière, les sols appartiennent à la série de Batiscan, et sont décrits comme des loams reposant sur une couche de limon sableux. Au nord de la rivière Batiscan, on y retrouve plutôt un mélange de deux unités pédologiques loameuses, soit les séries Dupas et de la Pérade. La série de la Pérade se différencie par sa forte teneur en limon alors que la série Dupas est formée d'un mince dépôt d'alluvions limoneux reposant sur des sables marins (Godbout 1967).

Sur le plan hydrographique, le secteur d'intervention est évidemment marqué par la présence de la rivière Batiscan. Ce cours d'eau de grande importance possède un bassin de 4 688 km² prenant racine au lac Édouard, situé à 177 km en amont. Historiquement, la rivière Batiscan a été au cœur du développement de l'industrie forestière et minière en amont du village de Batiscan (SAMBBA 2015).

3.2 Paléoenvironnement

Déglaciation et régression marine

Il y a 21 000 ans, l'Amérique du Nord subit son dernier maximum glaciaire alors que l'entièreté du Québec se trouve sous plusieurs kilomètres de glace. Le complexe de calotte glaciaire Nord-américain du Wisconsinien supérieur (*Late Wisconsinan North American ice sheet complex*), centré sur le Bouclier canadien, s'étire alors du pôle Nord jusqu'au sud des Grands-Lacs (Dyke 2004). Cette ère glaciaire entre toutefois dans une phase de régression définitive qui, sur plus de 15 000 ans, libèrera progressivement les territoires que nous connaissons aujourd'hui tout en les façonnant.

La marge méridionale de l'Inlandsis laurentidien, une calotte glaciaire centrée sur la péninsule du Québec-Labrador, débute ainsi son retrait vers le nord et aux alentours de 13 500 ans AA, se trouve à la frontière sud du Québec. L'estuaire du Saint-Laurent est, pour sa part, déjà déglacé et est occupé par la mer pro-glaciaire de Goldthwait. Celle-ci se rend jusqu'à la hauteur de l'île d'Orléans où la présence du glacier l'empêche de pénétrer plus haut dans la vallée du Saint-Laurent.

En amont de la vallée du Saint-Laurent, le retrait du glacier est suivi par la formation d'imposants lacs pro-glaciaires qui occupent les vallées. Le lac Candona, formé par la fusion des lacs Vermont et Iroquois, occupera les basses terres du Saint-Laurent jusque vers 13 000 ans AA, moment où le bouchon glaciaire, qui restreignait jusqu'alors l'entrée des eaux marines à la hauteur de Québec, se rompt. L'eau douce du lac Candona se vidange alors dans la mer de Goldthwait tandis que cette dernière pénètre dans les basses terres du Saint-Laurent, donnant ainsi naissance à la mer de Champlain. Celle-ci atteint une altitude maximale de 197,5 m NMM dans le secteur de Notre-Dame-de-Mont-Carmel, situé à une trentaine de kilomètres à l'ouest du secteur d'intervention (Occhietti 1980 : 117). Plus localement, le niveau marin aurait atteint environ 125 m NMM (Godbout 1967). Vers 11 000 ans AA, le glacier se situe à la hauteur des premiers contreforts des Laurentides. Une phase de refroidissement stabilisera la marge glaciaire au niveau du village de Saint-Narcisse situé en bordure de la rivière Batiscan. La stratigraphie locale du complexe de Saint-Narcisse, formé notamment d'une imposante moraine glaciaire traversant une partie du Québec sur environ 550 km, contribuera grandement à documenter ce phénomène qui se verra attribuer le nom d'épisode Saint-Narcisse. Ce stade glaciaire correspond à une réactivation de la glace, avec écoulement en compression et chevauchement local de dépôts marins et glacio-marins antérieurs. Cet épisode durera environ deux siècles et prendra fin vers 10 800 ans AA (**figure 3**).

Vers 11 000 ans AA, la mer de Champlain s'est progressivement désalinisée et fait place au lac à Lampsilis. On associe plusieurs niveaux de paléo-rivages à ce dernier, soit celui de 60-65 m, de 30 m et de 15 m NMM. Cette suite de rivages se formera en raison du relèvement isostatique drainant progressivement l'eau du lac à Lampsilis vers l'estuaire du Saint-Laurent. La courbe d'émersion pour la région fait état d'un rythme de relèvement de 10 cm/an entre la fin de l'épisode Saint-Narcisse vers 10 800 ± 200 AA et le retrait de la mer de Champlain vers 9 800 ± 200 AA (Occhietti 1980 : 118).

Entre environ 6 000 et 4 500 ans AA, une transgression marine fera remonter le niveau de l'eau à environ 19 m NMM dans le secteur du lac Saint-Pierre (**figure 4**). Durant les trois derniers millénaires, le niveau marin relatif s'est progressivement stabilisé au niveau actuel, tout en démontrant quelques signes de faibles transgressions et régressions. Ces dernières fluctuations ont façonné les lignes de paléo-rivages qui sont toujours visibles aujourd'hui entre les lignes d'élévation de 20 m et de 5 m.

Le secteur d'intervention se trouvant à l'embouchure de la rivière Batiscan, entre 8 m et 4 m NMM et à moins de 1 km du fleuve Saint-Laurent, le terrain concerné n'a été complètement émergé que très tardivement. Comme le démontre la courbe d'émersion connue pour le secteur du lac Saint-Pierre (**figure 4**), les terrains présents dans l'emprise n'auraient émergé et n'auraient été habitables qu'à partir d'environ 1 500 ans AA.

B) GEOLOGIC EVENTS AND CHRONOLOGY

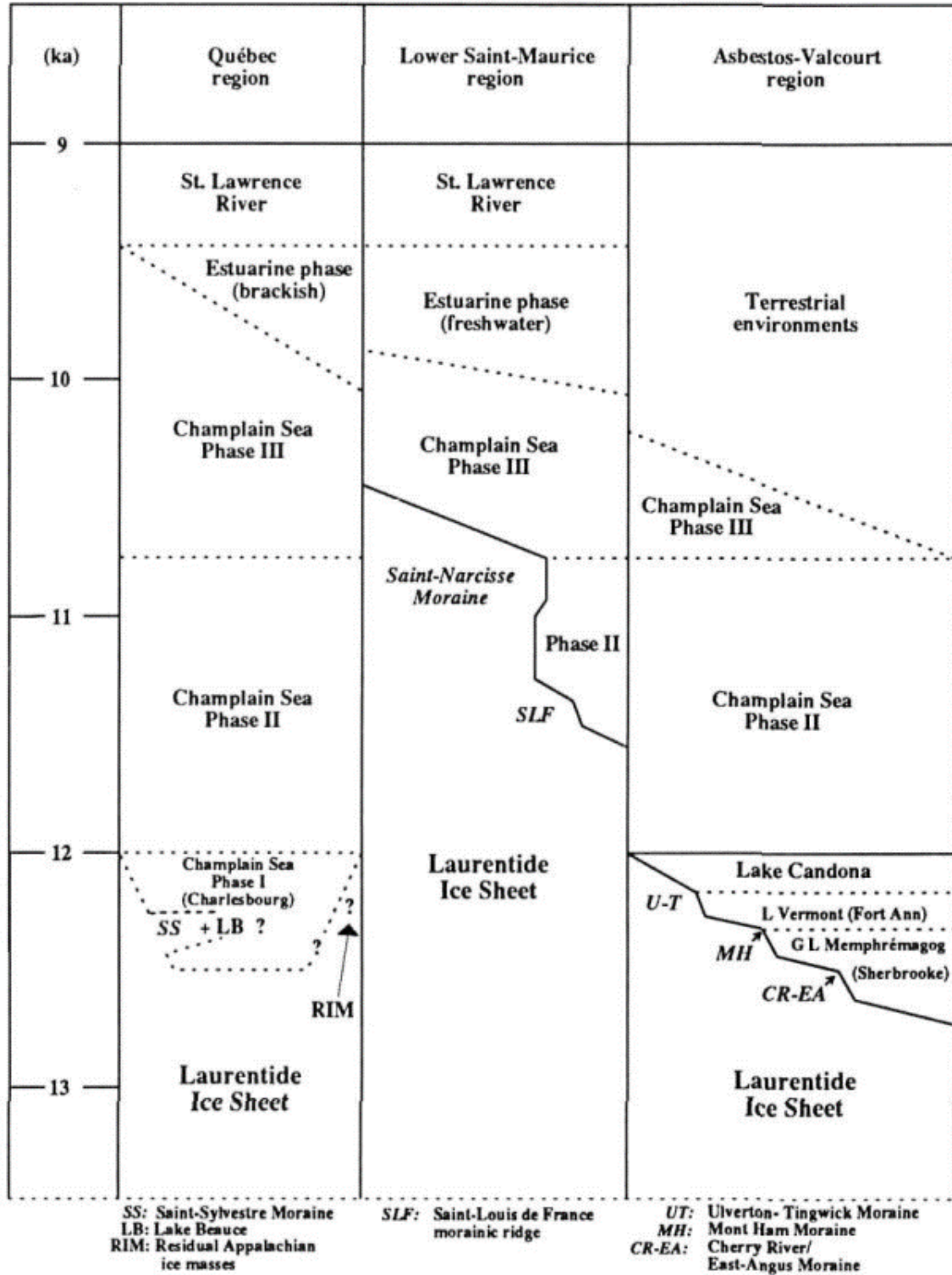


Figure 3. Résumé des principaux événements géomorphologiques pour les régions de Québec, de la Basse-Mauricie et d'Asbestos-Valcourt (Figure tirée de Parent et Occhietti 1988 : 224)

Changements du niveau de l'eau au droit du lac Saint-Pierre suite à la fonte des glaciers

par Pierre J. H. Richard, paléogéographe

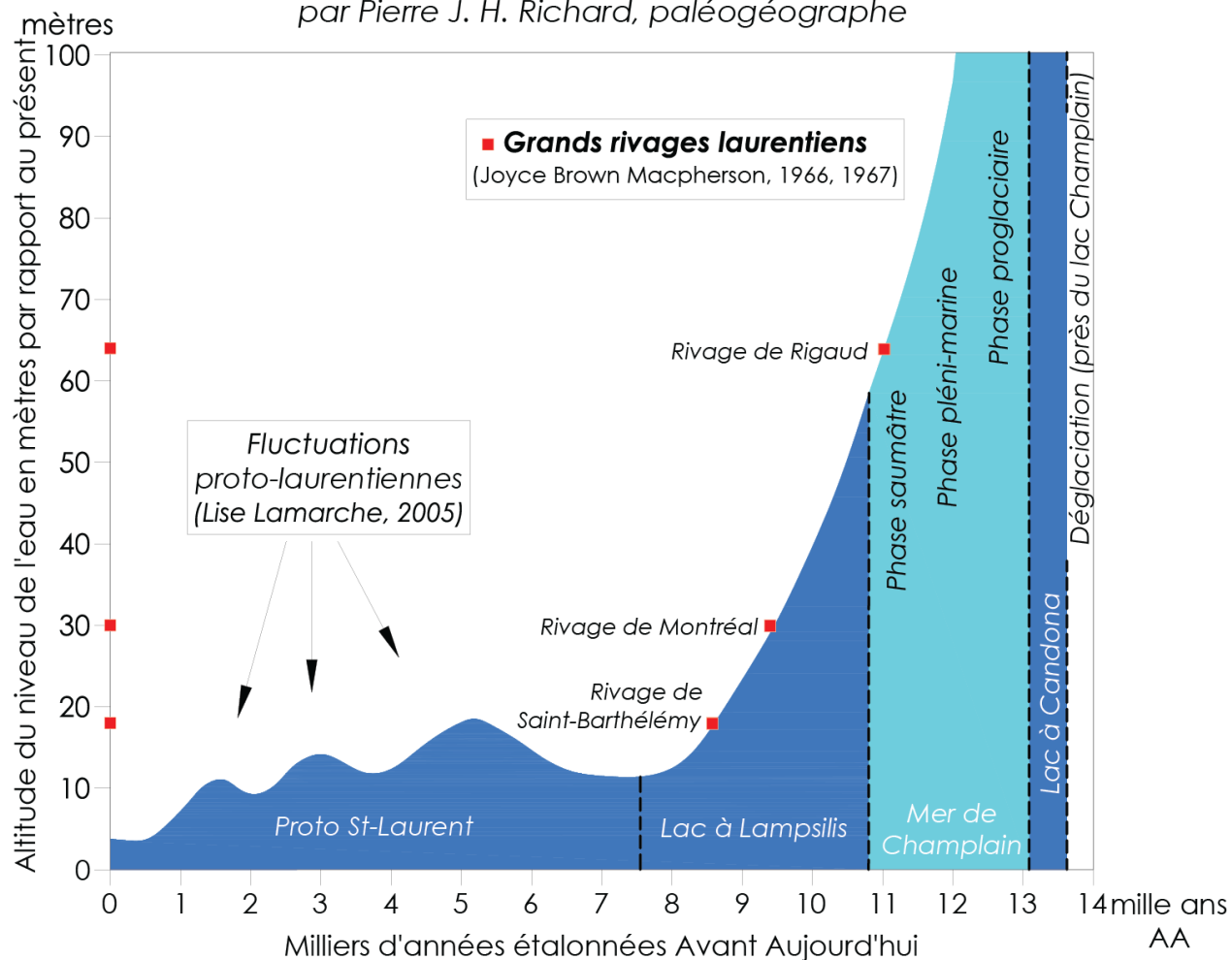


Figure 4. Courbe d'émersion pour la région du lac Saint-Pierre (Figure tirée de Archéo-Cad 2014 : 19)

4. CADRE CULTUREL ANCIEN

La situation géographique du village de Batiscan, situé en bordure du fleuve Saint-Laurent et à l'embouchure d'une rivière importante, en fait un emplacement qui a pu attirer la présence humaine au cours de la paléohistoire mais uniquement à partir d'environ 1 500 ans AA, soit durant la période du Sylvicole. C'est pour cette raison que les données exposées dans cette section concerneront uniquement cette période ainsi que la subséquente, soit la période historique autochtone.

Le Sylvicole (3 000 à 450 ans AA)

Le début de la période Sylvicole est marqué par la consolidation d'un réseau d'échanges mis en place vers la fin de l'Archaïque et par lequel circulaient déjà des biens et des croyances en provenance de la région des Grands-Lacs. Au Sylvicole inférieur (3 000 à 2 400 ans AA), on observe dans l'axe du fleuve Saint-Laurent la diffusion d'un complexe rituel que l'on nomme le Meadowood. Ce dernier s'exprime archéologiquement par la présence de sépultures accompagnées d'offrandes rituelles en quantités démesurées. Les offrandes les plus communes sont des bifaces finement taillés en chert Onondaga¹, que l'on retrouve parfois par centaines sur les sites d'influence Meadowood, notamment dans le secteur de Lévis (Chrétien 1995) et de la rivière Batiscan (site CcFb-1) (Lévesque *et al.* 1964 et Taché 2011). Les groupes occupant la région au début du Sylvicole semblent s'installer de manière de plus en plus prolongée durant la période estivale pour en exploiter les ressources saisonnières. Cela est visible en archéologie par la réutilisation fréquente des sites localisés aux endroits stratégiques durant le Sylvicole inférieur et au cours du Sylvicole moyen (2 400 à 1 000 ans AA). Durant cette période médiane, les groupes humains développent la technologie céramique qui était apparue de manière timide et expérimentale au cours de la période précédente. On ajoute des décors sur les poteries et celles-ci semblent remplacer le rôle hégémonisant que l'industrie lithique arborait au Sylvicole inférieur. Un autre complexe culturel à connotation rituelle remplace les manifestations Meadowood. Le complexe culturel Middlesex, originaire des cultures Adena et Hopewell de la vallée du Mississippi, rayonnera au sein des réseaux d'échanges élargis du Sylvicole moyen. Cela résultera en la présence de constructions funéraires impressionnantes dans certains lieux éloignés, notamment sur la Côte-Nord (Somcynsky 1992), et plus proche du secteur d'intervention, soit sur le boulevard Champlain à Québec (Clermont 1976). Ces inhumations sont accompagnées de grandes pièces lithiques en matériaux exotiques, de perles de cuivre, de pipes tubulaires en calcaire poli et de diverses offrandes de grande valeur.

Vers la fin du Sylvicole moyen récent (1 500 à 1 000 ans AA) et au début du Sylvicole supérieur (1 000 à 450 ans AA), les communautés proto-iroquoiennes occupant la vallée du Saint-Laurent tendent à se sédentariser de plus en plus. Étirant leur période de rassemblement estival, ils expérimentent l'horticulture et transitent progressivement d'une économie de chasseurs-pêcheurs-cueilleurs vers une subsistance basée au moins en partie sur la production de cultigènes. Vers la fin du Sylvicole supérieur, les groupes iroquoiens se rassemblent sous une même organisation politique que l'on reconnaît comme les Iroquoiens du Saint-Laurent. Ces derniers cohabitent et guerroient avec d'autres nations sédentarisées de souche iroquoise occupant le nord-est des États-Unis et la région des Grands-Lacs, mais également avec des nations algonquiennes présentes de part et d'autre

¹ Matière première lithique de très bonne qualité dont la source se trouve dans la région du lac Érié et dans le nord de l'État de New York.

de la vallée du Saint-Laurent. Ce climat politique complexe modifiera drastiquement les schèmes d'établissement des Iroquoiens qui, dans les derniers siècles de la paléohistoire, s'installent dans des villages palissadés à l'écart des grandes voies de déplacement comme le fleuve. C'est notamment le cas dans la région de Montréal, sur les complexes de sites de Saint-Anicet dans le Haut Saint-Laurent et de Hochelaga au pied du Mont-Royal (Archéo-Cad 2014 : 34). La région de Québec n'a livré que des traces timides de la présence iroquoise sédentaire. En contrepartie, les sites de campements axés sur l'exploitation saisonnière de ressources en aval du fleuve Saint-Laurent et dans l'estuaire sont relativement fréquents, indiquant que les expéditions de chasse demeuraient sans doute très importantes dans le mode de subsistance des groupes iroquoiens dans la région (Chapdelaine 1993).

La période autochtone historique (1500 à 1899 de notre ère)

La région à l'étude se trouve à la limite méridionale du territoire atikamekw. Les Atikamekw Nehirowisiwok occupaient traditionnellement le bassin versant de la rivière Tapiskwan Sipi (Saint-Maurice), et sont aujourd'hui regroupés sur des terres en réserve au sein de trois communautés (Opitciwan, Wemotaci et Manawan). Au début de la période historique, le fleuve Saint-Laurent représentant un axe de circulation et un territoire partagé, plusieurs nations autochtones ont pu fréquenter le territoire à l'étude, notamment les Anichinabés (Algonquins), les W8banakiak (Abénaquis) et les Hurons-Wendats. Très tôt durant la colonisation européenne, la rivière Saint-Maurice a attiré l'attention des explorateurs et des marchands comme une voie de passage vers l'intérieur des terres et les richesses qu'elles produisaient, en l'occurrence les fourrures. Trois-Rivières, fondée en 1634, devient rapidement un pôle commercial important dans l'histoire de la Nouvelle-France. La première mention du nom atikamekw (Attikamegouckhi ou Attikamègues) remonte à 1636 dans les écrits du père jésuite Paul Le Jeune. Cette appellation proviendrait d'un exonyme donné par les Anichinabés, alors alliés politiques des Français. Ce terme aurait désigné dans leur langue le « peuple du poisson blanc », pour désigner l'ensemble des groupes de chasse occupant les territoires du bassin versant de la rivière Tapiskwan Sipi. Une mention intéressante de Champlain datant de 1608 fait état d'une rencontre qu'il aurait fait avec 300 guerriers huron-wendats et algonquins sur l'île Saint-Éloi (Champlain 2018 : 199). Cette île, aujourd'hui disparue, se serait liée à la terre ferme au lieu-dit portant toujours le nom d'île Saint-Éloi, environ à 2,5 km au sud-ouest du village de Batiscan.

Dans la seconde moitié du XVII^e siècle, les sources écrites perdent en quelque sorte la trace des Atikamekw et l'ethnonyme se modifie pour les « Gens des terres » ou les « Têtes de boule ». Malgré l'établissement de plusieurs postes de traite sur le territoire de la Haute-Mauricie à partir de la seconde moitié du XVIII^e siècle, les informations à leur sujet demeurent très ténues. Or, selon la tradition orale conservée dans la mémoire des membres de la nation Atikamekw Nehirowisiw, leurs ancêtres auraient à l'époque simplement cessé de fréquenter le comptoir de Metaperotin (Trois-Rivières) et les environs pour échapper à la menace des épidémies et des raids iroquois. Ils auraient recentré leurs activités de subsistance en amont de la rivière Tapiskwan Sipi (Poirier *et al.* 2014).

À partir d'environ 1650, la présence huronne-wendate dans la région de Québec devient très importante. La tradition orale, les sources historiques et cartographiques indiquent toutes une utilisation soutenue d'un territoire incluant notamment le haut du bassin hydrographique de la rivière Batiscan. En langue wendate, la rivière Batiscan porte le toponyme Teönontoyenhndeh, et

constitue un axe de circulation important pour la nation. Le territoire traditionnel des Hurons-Wendats, le Nionwentsïo, englobe sur la rive nord du Saint-Laurent, les terres situées entre la rivière Saguenay et la rivière Saint-Maurice, incluant donc la région de Batiscan. La reconnaissance de ces droits a été officialisée lors du traité Huron-Britannique de 1760 (Bureau du Nionwentsïo 2022).

En 1829, un important conseil des Premières Nations est tenu à Trois-Rivières, durant lequel des représentants hurons-wendats, anichinabés et w8banakiak discutent d'enjeux entourant leurs territoires de chasse. Durant cette rencontre, Michel Sioui Tehashendaye, adjoint du Grand Chef, a rappelé une entente adoptée entre sa nation et les Algonquins de Trois-Rivières au XVII^e siècle. « Selon ces conditions, les Wendat et les Algonquins feraient « toujours la chasse ensemble ». Si, cependant, des problèmes survenaient, nos « endroits de chasse » allaient être limités ainsi : nous serions bornés au nord-est par la rivière Saguenay et au sud-ouest par le milieu de la rivière Saint-Maurice, rejoignant le territoire algonquin. » (Bureau du Nionwentsïo 2022 : 42).

L'origine du nom de la rivière Batiscan pourrait provenir d'une langue algique utilisée notamment par les W8banakiak, qui désignent la rivière sous le nom de Patisk8², signifiant « camp Batiste ». La première mention écrite de la rivière Batiscan remonte à 1603 et est attribuable à Champlain. Ce même personnage indiquera également en 1613 l'existence d'un chef Anichinabé du nom de Batiscan

² Le « 8 » se prononce *aon*, un mélange des sons *an* et *on* (Commission de Toponymie du Québec 2012)

5. CONTEXTE HISTORIQUE

La seigneurie de Batiscan est officiellement créée en 1662 (Massicotte 1984 : 15). L'une des premières cartes montrant une occupation à l'embouchure de la rivière Batiscan remonte cependant à 1709 (**figure 5**). Bien qu'aucun bâtiment n'y soit représenté, on y retrouve le nom des censitaires ainsi que les limites de leur terre. À partir du début du XVIII^e siècle, des structures seraient tranquillement apparues à proximité de l'embouchure de la rivière Batiscan. En effet, sur un plan de 1725, un moulin à vent est représenté dans ce secteur tout comme une route (**figure 6**). Cette dernière était coupée par la rivière au-dessus de laquelle aucun pont n'est dessiné. De ce fait, à cette époque, les gens devaient la traverser en canot. C'est vers 1734 qu'ils commencèrent à utiliser les services de transport en bac pour changer de rive (Marchand 1984 : 218). Ce transport fut offert au moins jusqu'en 1839 selon le contrat émis en 1835 par Louis Guillet, père de deux conducteurs du bac³. Il est toutefois possible qu'il ait été actif jusqu'à l'inauguration du premier pont en 1844. Ce chemin coupé par la rivière est également visible sur une carte de Bayfield datée de 1838 (**figure 7**).

En 1844, le premier pont est construit par Louis Normand, maître charpentier. Un premier contrat est signé le 8 juillet 1844 pour l'implantation du pont mentionnant son emplacement et certaines de ses dimensions⁴. Le 13 janvier 1846, un autre contrat est émis par le notaire Louis Guillet. Il fait mention de la vente d'une partie d'une terre à la sortie sud « pour faciliter le passage dudit pont ⁵ ». Ce pont est alors construit entièrement en bois. Sa première représentation sur une carte remonte à 1860 (**figure 8**). Ce pont se situe dans les environs de la traverse en bac. Quelques bâtiments sont également représentés près de chaque extrémité de ce dernier.

En 1869, soit 25 ans après sa construction, le conseil municipal de la paroisse de Batiscan publie une demande de soumission pour la réparation ou bien la reconstruction du pont⁶. Finalement, un marché est conclu le 13 décembre 1869 avec Thélesphore L'Heureux pour la reconstruction de ce dernier⁷. Celui-ci est bâti entre les années 1870 et 1872, puisque le 16 décembre 1872, une quittance mutuelle entre le maire Napoléon Fugère et le frère de feu Thélesphore L'Heureux est signée et mentionne que les travaux sont terminés⁸. Ce nouveau pont est représenté sur le plan de 1872 du Greffe de l'arpenteur général du Québec (GAGQ) (**figure 9**). Aucun bâtiment n'y est toutefois représenté. Toutefois, ce nouveau pont est jugé non sécuritaire 15 ans plus tard, soit en 1885, et est dès lors fermé de manière définitive (Marchand 1984 : 225). Le bac est alors mis de nouveau en opération et ce, jusqu'à la construction du troisième et actuel pont. Sur la carte de navigation de 1910 mise à jour en 1915, le tracé du bac y est illustré (**figure 10**). Un bâtiment est également représenté « sur la berge à l'est de cette approche » (Gagnon 2022).

³ Louis Guillet, 1809-1863, BAnQ Trois-Rivières, Fonds Cour Supérieure. District judiciaire de Trois-Rivières. Greffes de notaires, (04T, CN401, S45).

⁴ Louis Guillet, 1809-1863, BAnQ Trois-Rivières, Fonds Cour Supérieure. District judiciaire de Trois-Rivières. Greffes de notaires, (04T, CN401, S45).

⁵ Louis Guillet, 1809-1863, BAnQ Trois-Rivières, Fonds Cour Supérieure. District judiciaire de Trois-Rivières. Greffes de notaires, (04T, CN401, S45).

⁶ Le Constitutionnel, 1869-09-17, Collections de BAnQ.

⁷ Louis Guillet, 1809-1863, BAnQ Trois-Rivières, Fonds Cour Supérieure. District judiciaire de Trois-Rivières. Greffes de notaires, (04T, CN401, S45).

⁸ Louis Guillet, 1809-1863, BAnQ Trois-Rivières, Fonds Cour Supérieure. District judiciaire de Trois-Rivières. Greffes de notaires, (04T, CN401, S45).

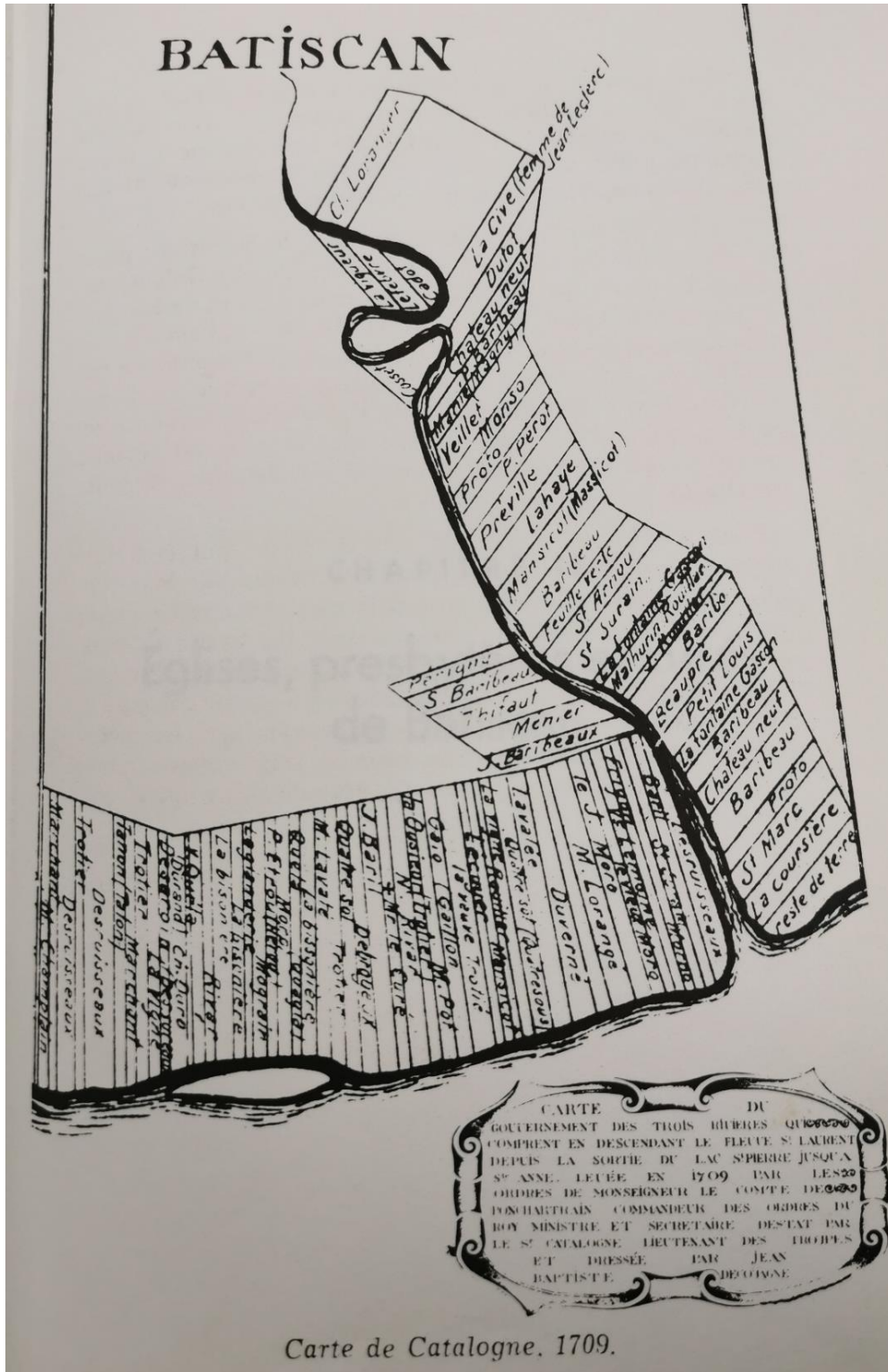


Figure 5. Carte de la seigneurie de Batiscan par le sieur Gédéon de Catalogne et datée de 1709 (Image tirée de Massicotte 1984: 23)

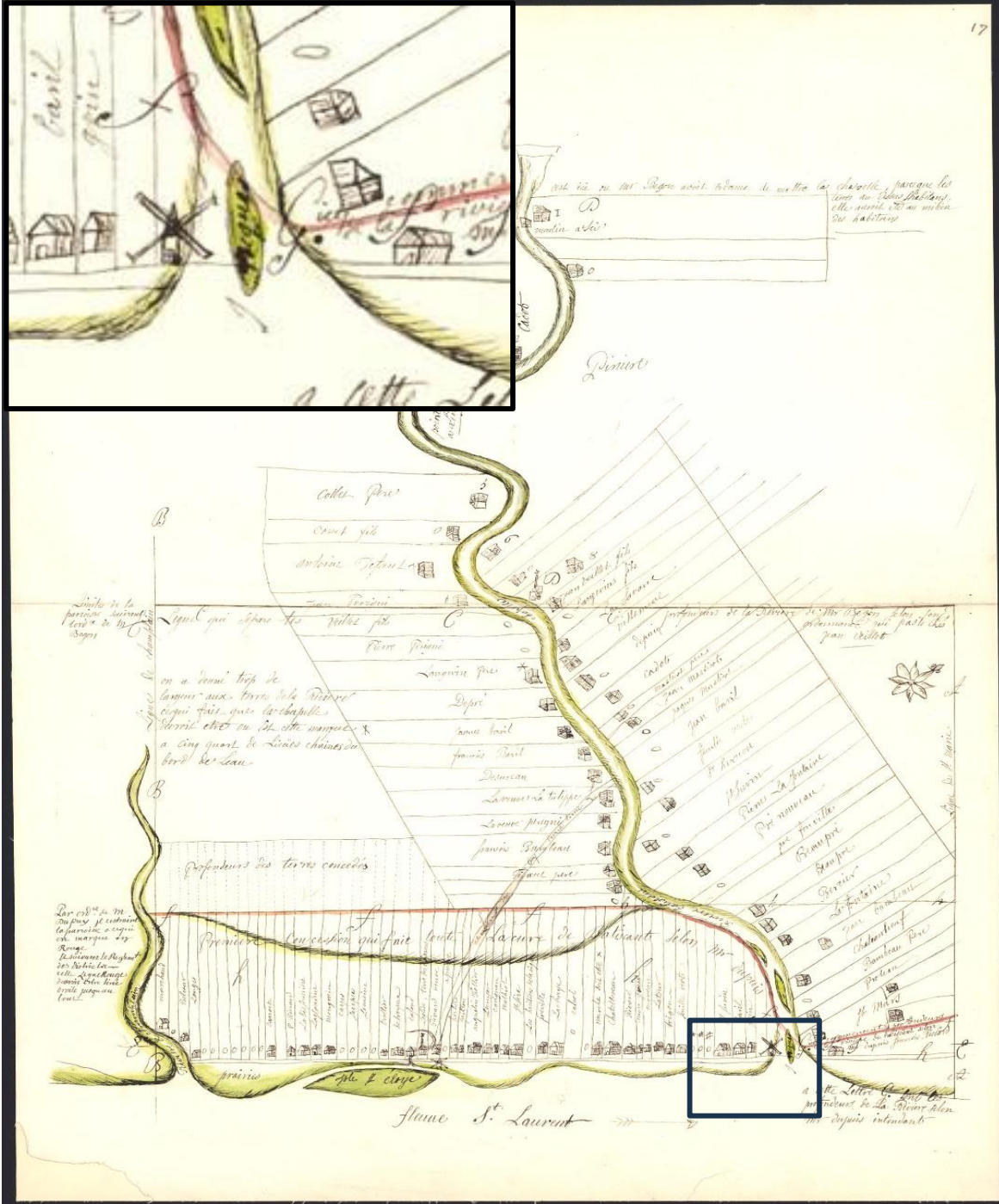


Figure 6. Plan cadastral daté 1725 avec un agrandi de l'embouchure de la rivière Batiscan (Bibliothèque et Archive Canada, cote ANC, ID4126800; image tirée de Gagnon 2022 : 5)



Figure 7. Carte du colonel Bayfield datée de 1838 et illustrant le chemin de chaque côté de la rivière Batiscan (Bibliothèque et Archive Canada, cote ANC ID 3663604; image tirée de Gagnon 2022 : 6)



Figure 8. Carte du colonel Bayfield datée de 1860 et illustrant le pont traversant la rivière Batiscan (Bibliothèque et Archive Canada, cote ANC ID 3671827; image tirée de Gagnon 2022 : 7)

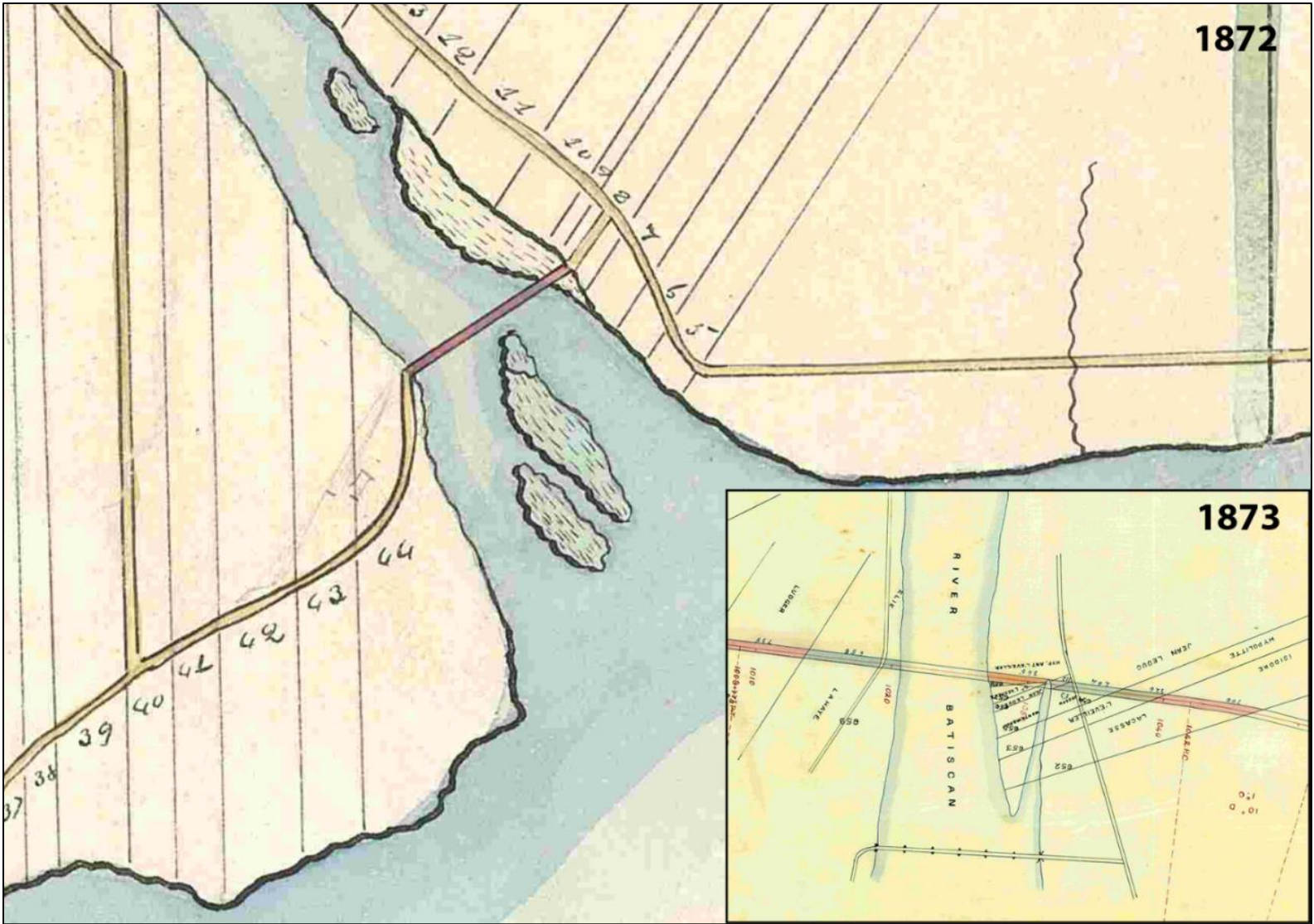


Figure 9. Premiers plans cadastraux datés de 1872 et de 1873 illustrant le pont de la rivière Batiscan après sa reconstruction (GAGQ, PL081_A, Image tirée de Gagnon 2022 : 8)

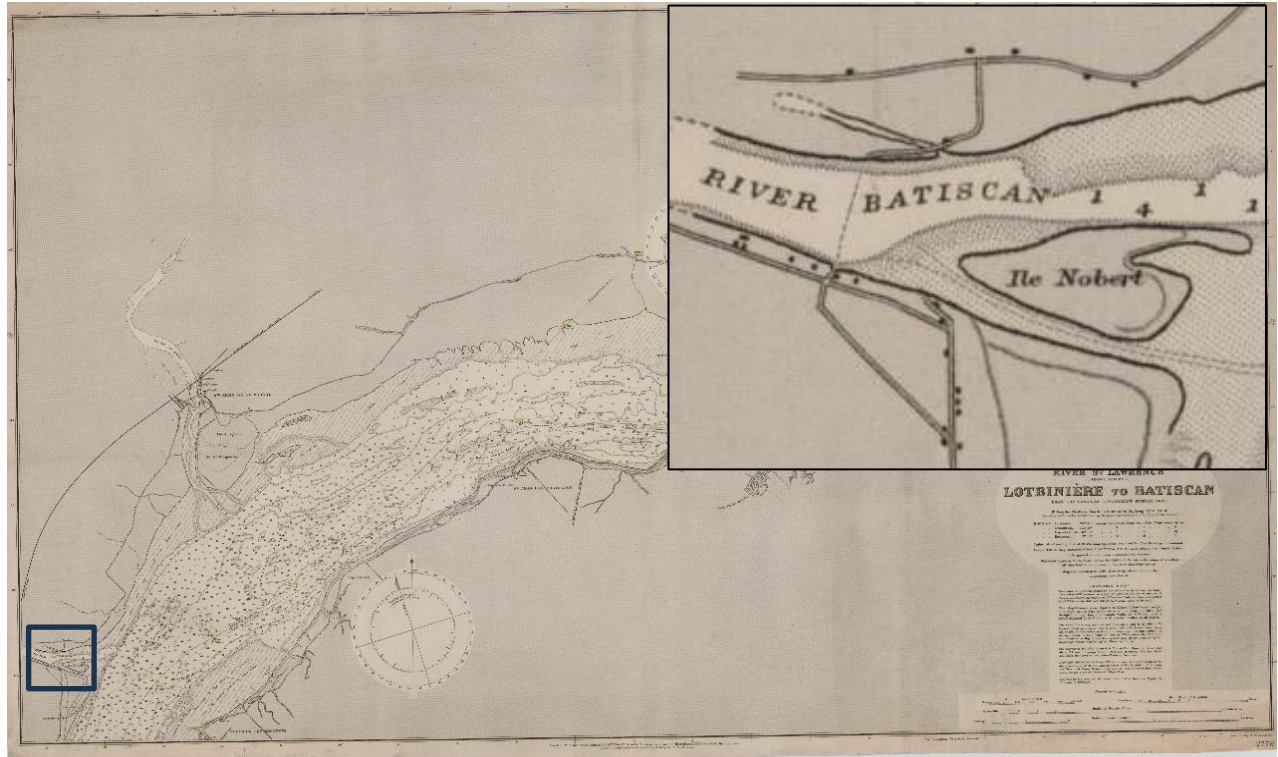


Figure 10. Traverse du bac représentée sur un plan daté de 1910 mais modifié en 1915 (Bibliothèque et Archive du Canada, cote ANC ID 3671731; image tirée de Gagnon 2022 : 9)

Le dernier et actuel pont est inauguré en 1922. Il est construit au même endroit que les ponts précédents. Cette fois-ci, il est bâti tout en fer (Marchand 1984 : 227). Sur le feuillet 3 des plans de ce nouveau pont, à l'ouest de chacune de ses approches, une route appelée « chemin à la traverse » ainsi que le tracé du trajet en bac avec ses quais viennent confirmer l'accès à ce dernier par rapport aux anciens ponts (**figure 11**). Des chemins aujourd'hui abandonnés sont également représentés. Sur ce plan, la berge nord semble naturelle tandis que la berge sud-est semble aménagée de façon linéaire. Cet aménagement est peut-être lié à la présence d'anciens moulins à scie de ce côté de la rivière telle qu'illustrée sur le plan d'assurance-incendie de Goad en 1897 et mis à jour en 1933 (**figure 12**). Un autre élément intéressant représenté sur ce plan est la croissance démographique de la population de Batiscan inscrite sur les deux plans qui passe de 500 à 1 190 habitants, donc qui a plus que doublé. Cette croissance a pu contribuer à accélérer la construction du pont actuel. *Le Nouvelliste* en 1920 fait même mention de la popularité du bac où : « il fallait attendre parfois deux ou trois heures avant que son tour vienne de prendre le bac » (cité dans Marchand 1984 : 221).

Les quais ayant servi pour le bac semblent toujours présents en 1931 selon la carte topographique produite cette année-là (**figure 13**). Quelques bâtiments se trouvent également près des sorties des ponts. Enfin, une photographie aérienne prise en 1964 des deux rives de la rivière Batiscan, près de son embouchure, montre quelques bâtiments présents dans les limites du secteur d'intervention (**figure 14**). Certains de ces bâtiments semblent de faibles dimensions tandis que deux autres bâtiments un peu plus imposants, et qui étaient situés sur la rive sud de la rivière Batiscan, ne sont plus présents sur les images récentes.

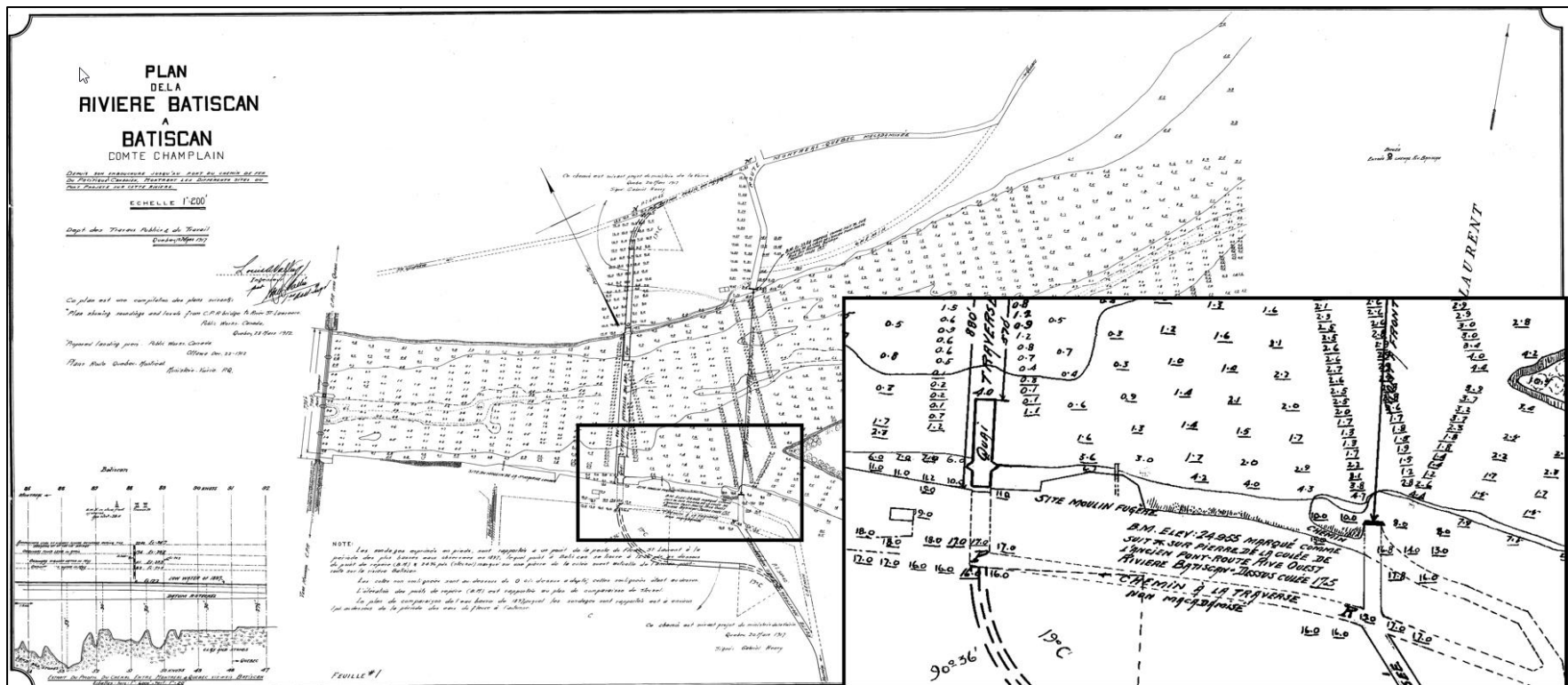
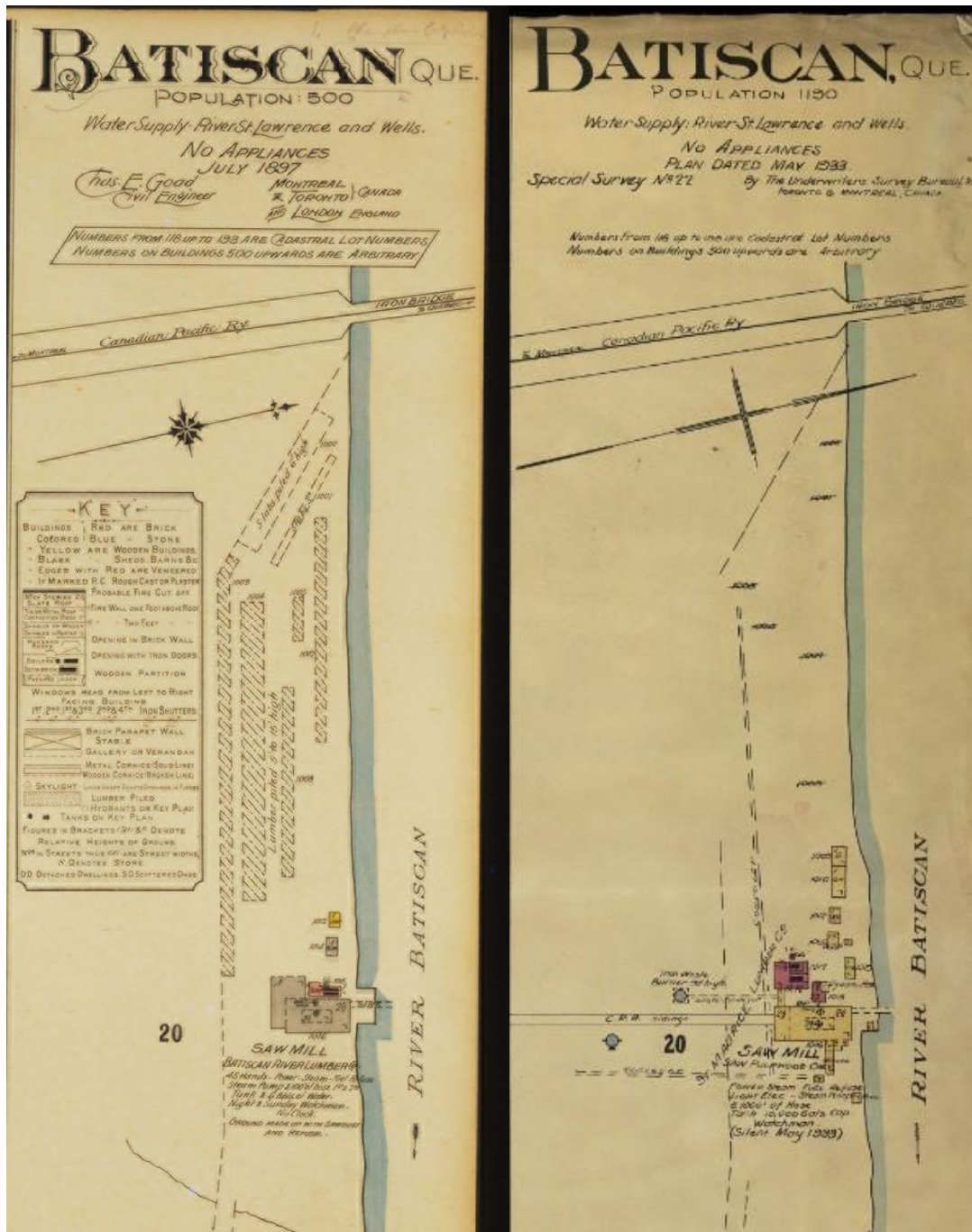


Figure 11. Feuillet 3 du plan PO-1920-1-01559_PO_TC_003_1_01 montrant le chemin de la traverse sur le côté sud menant au quai du bac ainsi que le tracé de ce bac (Image tirée de Gagnon 2022 : 12)



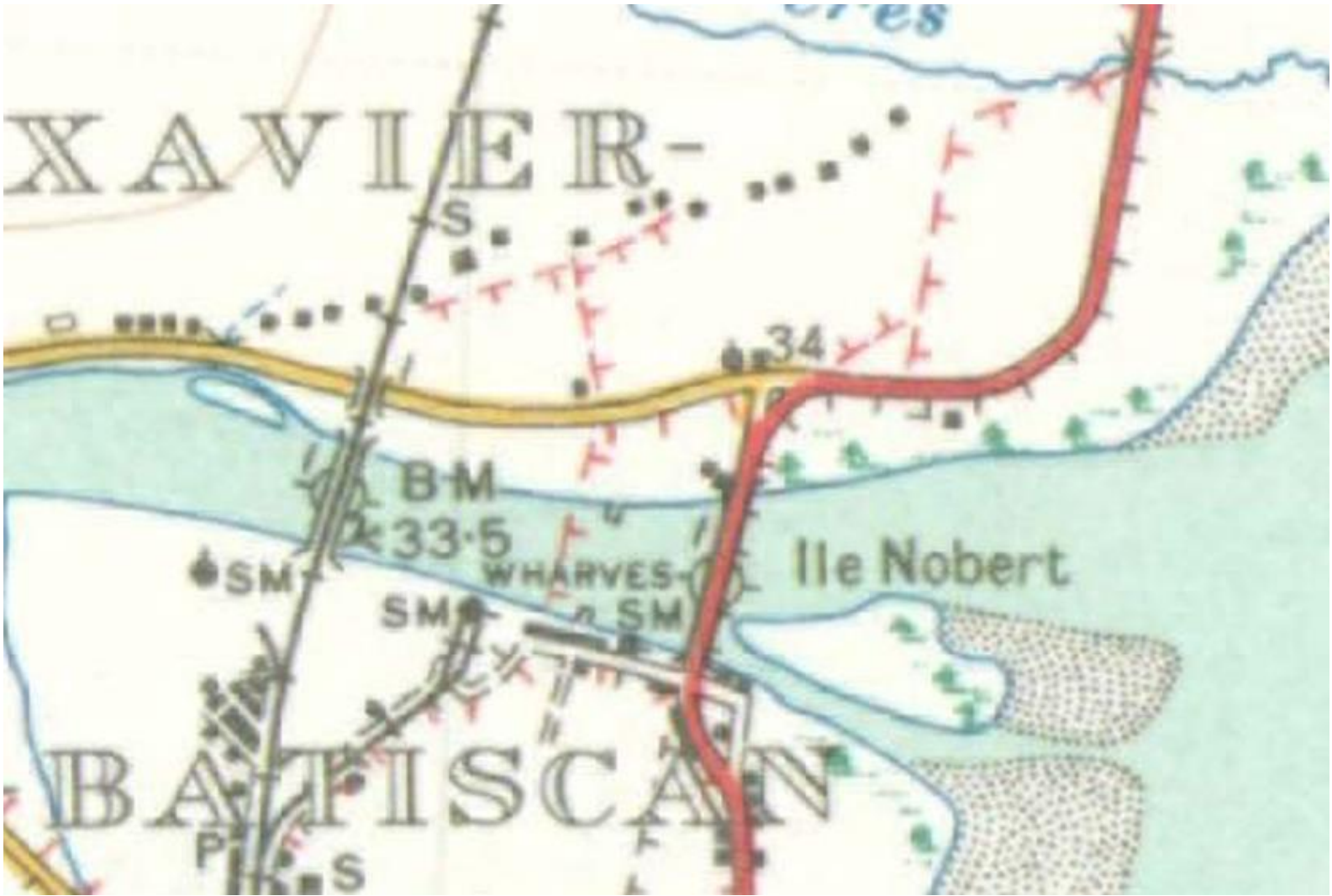


Figure 13. Carte topographique datée de 1931 sur laquelle les anciens quais du bac sont représentés (Plan PO-1920-1-01559_PO_TC_003_1_01; image tirée de Gagnon 2022 : 14)



Figure 14. Photographie aérienne datée de 1964 et montrant le secteur d'intervention (Image tirée de Gagnon 2022 : 15)

6. ÉTAT DES CONNAISSANCES EN ARCHÉOLOGIE

6.1 Interventions archéologiques et découvertes antérieures

Selon le portail du ministère de la Sécurité publique du Québec, il existe sept sites archéologiques connus dans un rayon de cinq kilomètres autour de l'emprise du projet (**figure 15; tableau 2**). Trois de ces sites (CcFb-1, CdFb-1 et CdFb-12) sont associés à la période paléohistorique et les quatre autres à la période historique.

Le site CcFb-1 (Batiscan) correspond à un important site paléohistorique localisé en bordure du chemin de fer appartenant à la *Canadian Pacific*, sur une terrasse de 20 m d'altitude. Le site a fait l'objet de plusieurs interventions à partir des années 1920 (Wintemberg 1927, Gaumont 1965, Lévesque *et al.* 1964, Martijn 1971, Groison 1980, Dumais 1982, Burke et Taché 2011), mais les fouilles de l'abbé René Lévesque et de la société d'archéologie de Sherbrooke menées en 1964 demeurent les travaux les plus extensifs réalisés sur le site. À partir des éléments diagnostiques présents dans le matériel lithique et céramique recueilli, il a été possible d'associer l'occupation principale de ce site au Sylvicole inférieur (3 000 à 2 400 ans AA). Le site Batiscan demeure à ce jour l'une des manifestations les plus expressives de l'occupation humaine durant cette période au Québec.

Le site CcFb-4 (site patrimonial du Vieux-Presbytère-de-Batiscan), se trouve à l'ouest du village actuel de Batiscan, au 340, rue Principale. Le site a d'abord été investigué par Michel Gaumont (1990) qui y a pratiqué des tests à l'aide d'une sonde métallique (sans excavation) afin d'y repérer les vestiges de l'ancienne église construite vers 1667. Ce dernier désigna d'ailleurs un secteur propice à livrer des vestiges. Ce potentiel a été testé l'année suivante par Richard Fiset (Fiset 1992), en utilisant une méthode d'inventaire combinée à des relevés géophysiques. Les travaux de Fiset ont permis d'identifier des tranchées possiblement associées à la première église, mais également de localiser des sépultures.

Le site CcFb-5 (Moulin à vent de Batiscan), localisé à quelques 400 m au sud-est du site patrimonial du Vieux-Presbytère-de-Batiscan, a fait l'objet d'une intervention par Michel Gaumont en 1990. Ce dernier avait d'abord identifié un monticule circulaire correspondant aux vestiges d'un moulin à vent construit vers 1671. Il a pu confirmer la présence de maçonneries à l'aide d'une sonde métallique. En 1993, Philippe Picard est retourné sur le site afin de valider les hypothèses quant à la localisation du moulin, et y effectuer une fouille ciblée. Cette intervention a permis d'acquérir des connaissances sur l'architecture d'un des premiers moulins à vent de la colonie française, en plus de localiser une habitation qui aurait servi de résidence aux meuniers sous le Régime français et au début du Régime anglais (Picard 1994 : 59)

Le site CdFb-1 (rivière Batiscan 1), localisé en bordure d'un banc d'emprunt, a été découvert en 1982 par l'archéologue Pierre Dumais. Un seul artefact, soit un fragment de pièce bifaciale en chert, y a été prélevé et le site a été jugé par l'archéologue comme étant entièrement détruit (Dumais 1982 : 30-31).

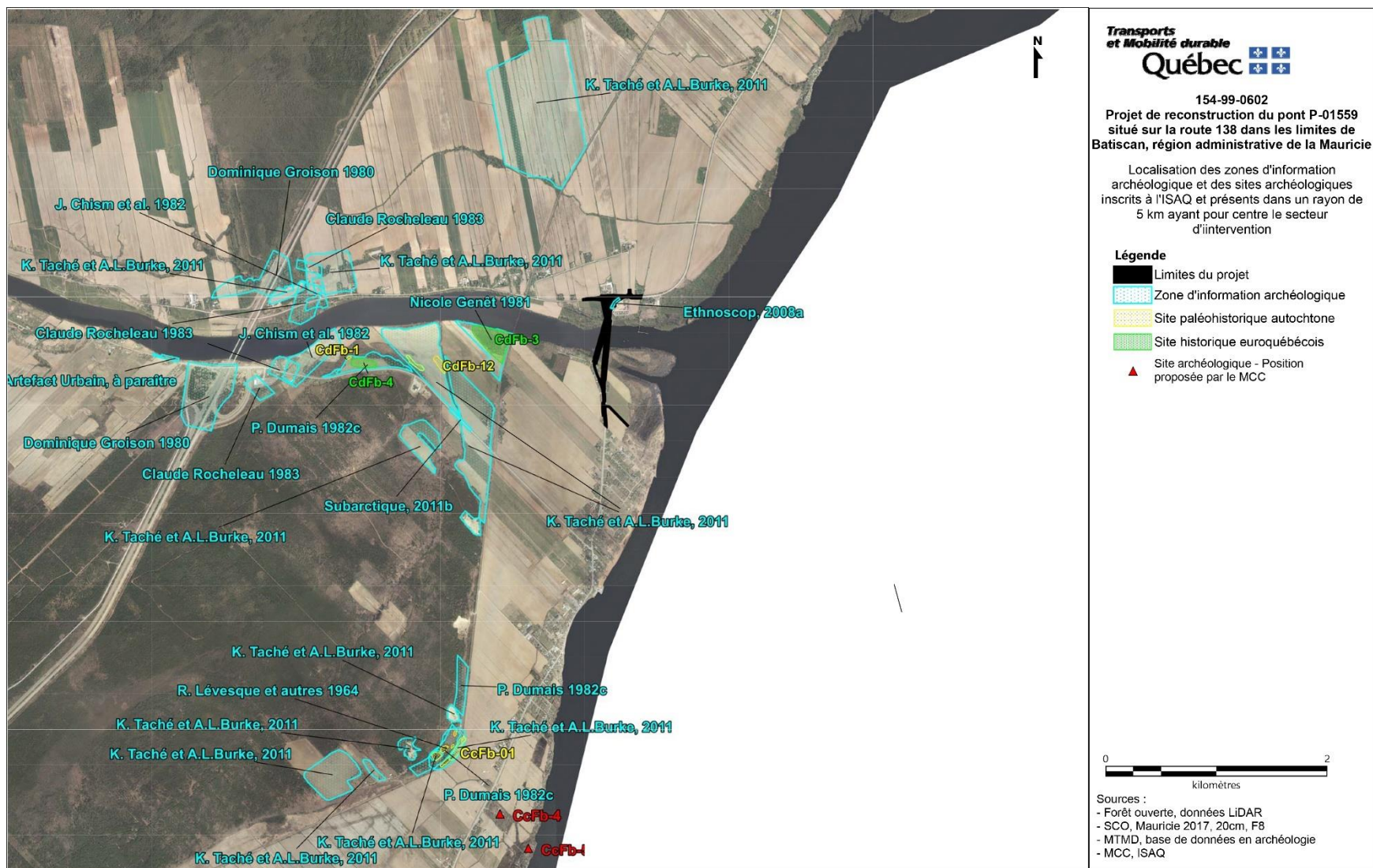


Figure 15. Localisation des zones d'information archéologique et des sites archéologiques inscrits à l'ISAQ et présents dans un rayon de 5 km ayant pour centre le secteur d'intervention

Le site CdFb-3 (Moulin de Batiscan) se situe sur la rive sud de la rivière Batiscan, à environ 500 m à l'est du ruisseau Duplessis. Il est associé aux vestiges d'un ou de deux moulins en activité jusqu'en 1927. Ce site n'a jamais fait l'objet de recherches archéologiques, mais il est mentionné dans une étude historique réalisée par Nicole Genêt en 1981 (Genêt 1981). Celle-ci mentionne d'autre part, sur la base de témoignages de résidents, qu'un petit hameau se serait trouvé à l'époque dans le secteur des anciens moulins.

Le site CdFb-4 (rivière Batiscan 2) a été identifié par Pierre Dumais en 1982 dans le cadre d'un inventaire préalable à l'agrandissement d'un banc d'emprunt. Le site correspond à une concentration d'artéfacts et d'éléments laissant croire en la présence d'un bâtiment secondaire qui aurait été détruit lors d'un incendie. Le matériel récolté en surface ainsi que dans les sondages suggère une occupation associée à la seconde moitié du XIX^e siècle (Dumais 1982 : 31-33).

Le site CdFb-12 (Tschanz) a été découvert lors des travaux d'inventaire menés par Adrian Burke et Karine Taché entre 2009 et 2011. Situé sur une terrasse sableuse de 10 m NMM bordant le ruisseau Duplessis et la rive droite de la rivière Batiscan, ce site a été découvert en raison de la présence de pierres rougies et d'artéfacts en surface d'un champ cultivé. Une récolte de surface et des sondages y ont été réalisés, ce qui a permis la récolte d'éclats, d'un nucléus et d'un fragment de polissoir (Burke et Taché 2011 : 26-29).

Tableau 2. Sites archéologiques connus dans un rayon de cinq km ayant pour centre le secteur d'intervention

Site	Nom du site	Sources
CcFb-1	Batiscan	Wintemberg 1927, Gaumont 1965, Lévesque <i>et al.</i> 1964, Martijn 1971, Groison 1980, Dumais 1982, Burke et Taché 2011
CcFb-4	Site patrimonial du Vieux-Presbytère-de-Batiscan	Gaumont 1990, Fiset 1992
CcFb-5	Moulin à vent de Batiscan	Gaumont 1990, Picard 1994
CdFb-1	Rivière Batiscan 1	Dumais 1982
CdFb-3	Moulin de Batiscan	Genêt 1981
CdFb-4	Rivière Batiscan 2	Dumais 1982
CdFb-12	Site Tschanz	Burke et Taché 2011

En plus des sites archéologiques connus, le secteur compte plus d'une trentaine de zones d'information archéologique (ZIA) dans un rayon de 5 km autour de l'emprise des travaux (**figure 15**). Ces zones correspondent à onze interventions distinctes.

Deux de ces ZIA se trouvent dans l'emprise même du projet, sur la route 138, entre la culée nord du pont de la rivière Batiscan et la jonction des routes 138 et 361. Ces deux zones d'intervention semblent être associées à une même intervention menée en 2006 par la firme Ethnoscop. Cette intervention a consisté en un inventaire archéologique qui s'est limité à une inspection visuelle en raison de la présence de fossés en bordure de la route.

Les autres ZIA se trouvent toutes à une certaine distance du secteur d'intervention (minimalement 1 km), plus en amont de la rivière Batiscan. Elles correspondent à cinq interventions distinctes qui ont eu lieu dans la région de Batiscan (Groison 1980, Dumais 1982, Rocheleau 1983, Burke et Taché 2011, Subarctique 2011), en plus de deux autres interventions (Ribes 1977, Archéo-Cad 2015) dans le secteur de Saint-Pierre-les-Becquets, situé en face de Batiscan du côté sud du fleuve. À cela s'ajoute l'intervention menée en 2023 par la firme Artefact Urbain le long de la route 361, juste à l'ouest de l'autoroute 40 (Artefact Urbain).

6.2 Potentiel archéologique du secteur d'intervention

Le potentiel archéologique identifié dans l'emprise du projet a été déterminé dans le cadre d'un avis archéologique réalisé au préalable de cette intervention par le MTMD. Cette étude, présentée en annexe du présent rapport (**annexe 3**), démontre que le secteur comporte un potentiel archéologique tant autochtone qu'euroquébécois.

Un potentiel paléohistorique est identifié dans l'axe d'une servitude projetée, et sur les berges du côté sud de la rivière, notamment sur l'île Norbert, mais uniquement à partir d'environ 1 500 ans AA, soit durant la période du Sylvicole récent.

L'embouchure de la Batiscan dans le secteur du pont actuel comporte un potentiel historique jugé bon. Les données concernant les aménagements sont mieux connues au XX^e siècle. Toutefois, la circulation humaine dans ce secteur pendant la période historique est attestée depuis au moins 1734. Quelques bâtiments sont aussi représentés sur des cartes anciennes. Il manque tout de même à connaître l'emplacement exact des quais pour le bac avant 1844 ainsi que les différentes routes y menant. En bref, le secteur ciblé autour du pont de la rivière Batiscan pourrait comporter des traces témoignant de l'occupation historique au cours des trois derniers siècles.

7. INVENTAIRE ARCHÉOLOGIQUE

7.1 Résultats

Les travaux d'inventaire archéologique ont été effectués au moyen d'inspections visuelles et de sondages manuels effectués dans l'emprise globale des travaux qui a été divisée en sept zones distinctes (zones 1 à 7) (**figure 16**). Ces sondages ont été réalisés entre le 31 juillet et le 3 août ainsi que les 8 et 9 septembre 2023. L'emprise du projet couvrait une superficie globale d'environ 97 058 m². Celle-ci correspondait au tronçon routier 00138-05-080-000C localisé entre les chaînages 1+729 et 2+112 de la route 138, en plus de l'emprise du tracé projeté pour le nouveau pont.

Au total, 160 sondages ont été réalisés principalement au sein de zones à potentiel identifiées dans un avis de potentiel archéologique qui avait été préalablement produit en 2022 par l'archéologue du MTMD Ghislain Gagnon (**annexe 3**). Toutefois, comme ces zones à potentiel se sont révélées peu concluantes, et par souci de simplifier la présentation des données, les résultats ont été divisés dans le présent rapport par zone d'inventaire correspondant chacune à une portion du tronçon routier touché par les futurs travaux. Ces zones ont été créées en fonction de leurs caractéristiques géographiques et topographiques et serviront de cadre pour présenter les résultats de l'inventaire archéologique, ce qui inclut les découvertes archéologiques qui y ont été faites et les séquences stratigraphiques des sols qui y ont été observées. Les zones 1 et 2 se trouvaient du côté nord de la rivière Batiscan tandis que les zones 3 à 7 étaient situées du côté sud.

7.1.1 Zone d'inventaire 1

La zone d'inventaire 1 correspondait à l'extrémité nord de l'emprise, comprenant une partie du rang Nord (lot 4 176 520) et son intersection avec la route 138 (lot 4 176 521 et 4 176 519), jusqu'à une distance de 100 m à l'est du rang Cinq-Mars (lot 4 176 533), ainsi que les terrains adjacents (lots 4 176 246, 4 176 247, 6 292 775, 4 176 249, 4 176 248, 4 176 260, 4 306 246, 4 176 256, 5 831 634, 4 306 241, 4 176 250 et 4 176 255) (**figures 16 et 17**). Cette zone présentait une superficie d'environ 27 500 m² et était caractérisée par la présence des routes actuelles, de leurs talus et fossés, de même que de terrains gazonnés ou en culture en bordure de celles-ci. La topographie de ce secteur était somme toute assez plane, bien que le réseau routier se trouvait généralement surélevé par rapport au niveau du terrain naturel.

Trente sondages manuels ont été réalisés sur les lots 4 176 256, 4 176 248, 4 176 260 et 4 306 246, localisés dans l'emprise des travaux. Ceux-ci ont révélé des contextes stratigraphiques relativement simples, caractérisés par la présence d'un sol de labour superposé directement au sol naturel. En général, on retrouvait deux à trois couches dans l'ensemble des sondages réalisés dans cette zone. La première était formée d'un limon sableux brun pâle, meuble et organique, composant la surface gazonnée des lieux sondés par endroits. Mesurant entre 0,06 m et 0,19 m d'épaisseur, cette couche reposait sur un limon sableux brun-beige à orangé, meuble, contenant des taches de charbons de bois (1%) (0,09-0,42 m d'épaisseur) (**photo 2; figure 18**). Des artefacts (n=11) ont été récoltés de manière éparse dans cette couche de labour dans cinq sondages effectués sur le lot 4 176 246.

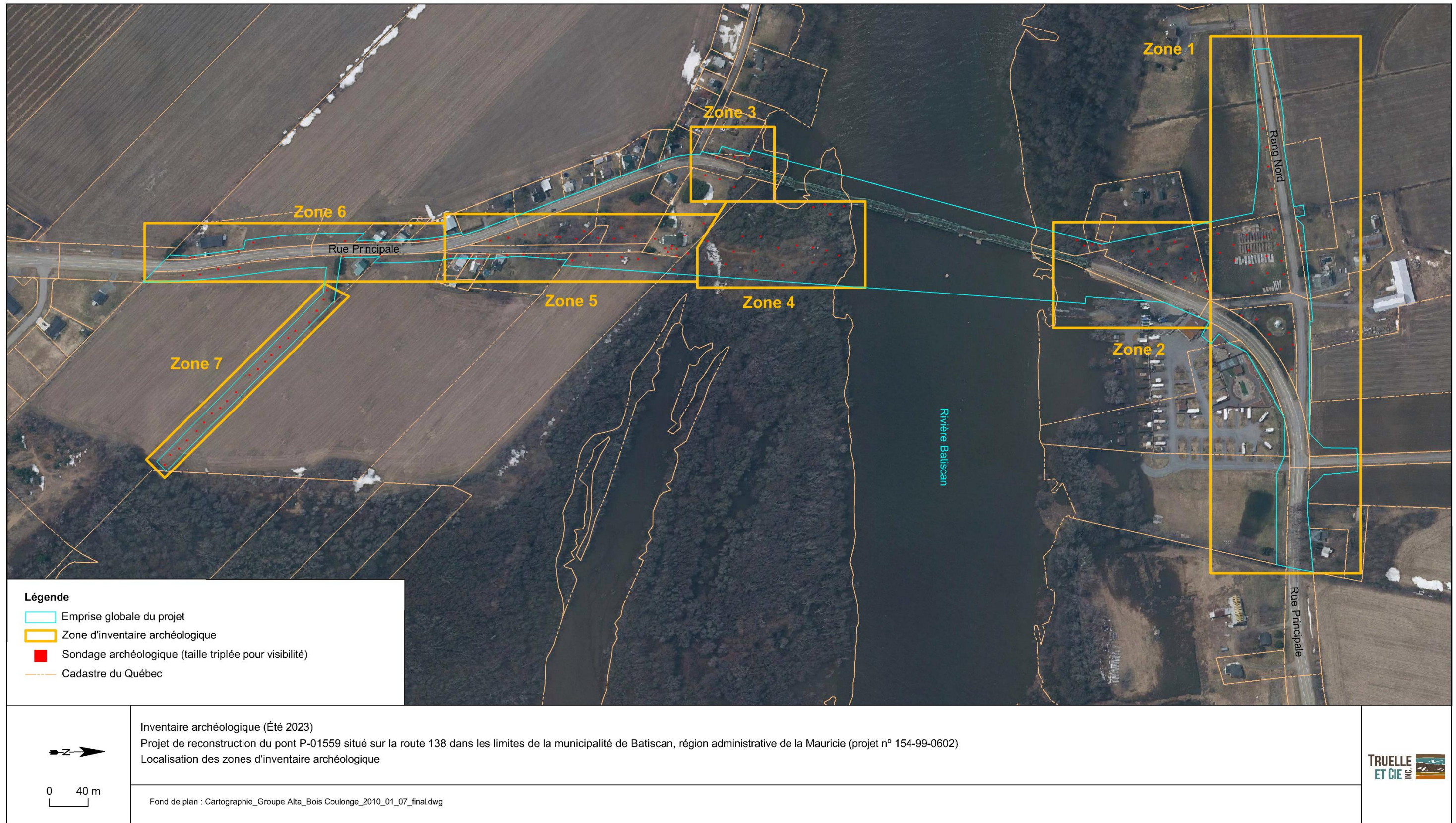


Figure 16. Localisation des zones d'inventaire archéologique

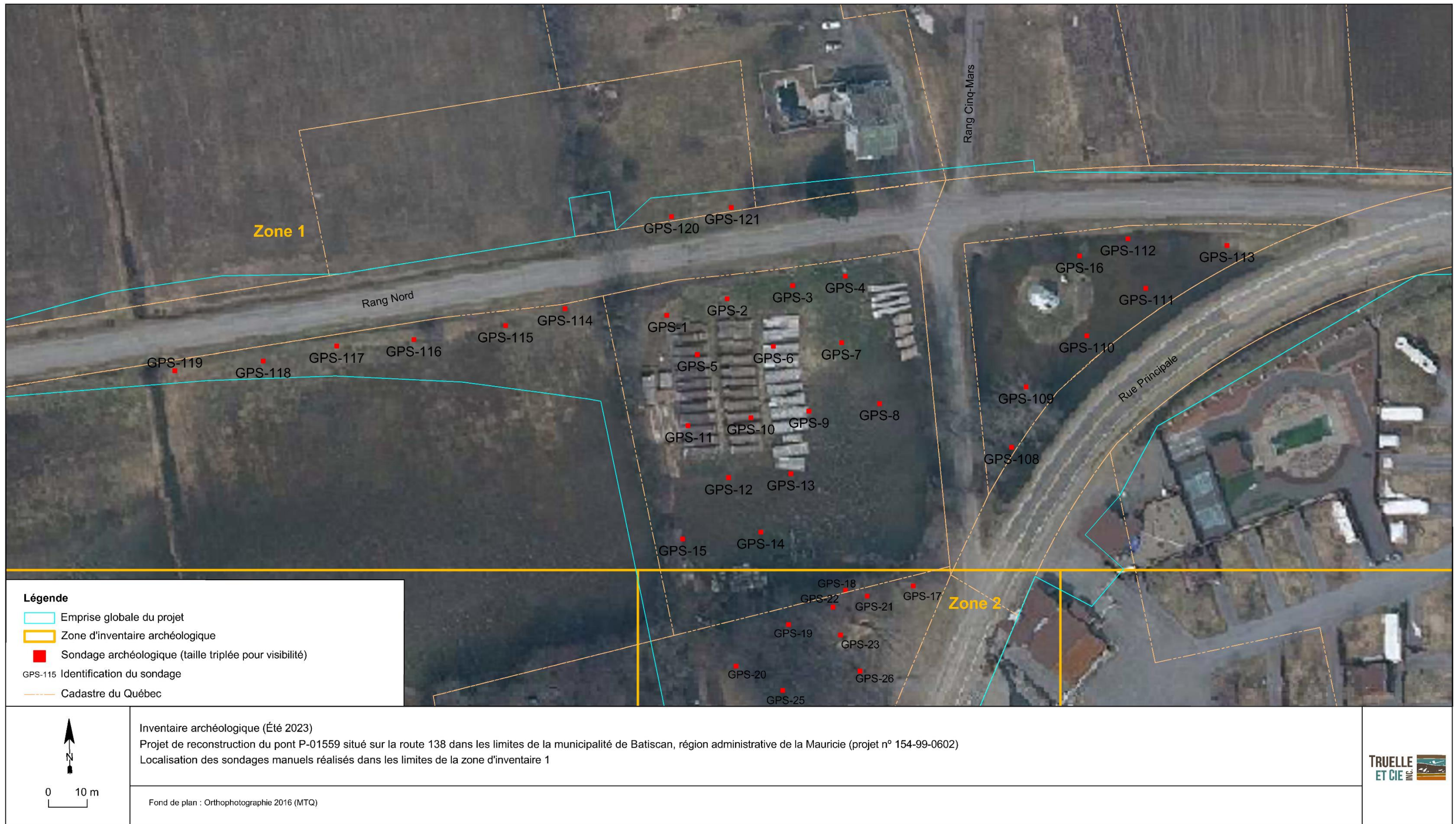


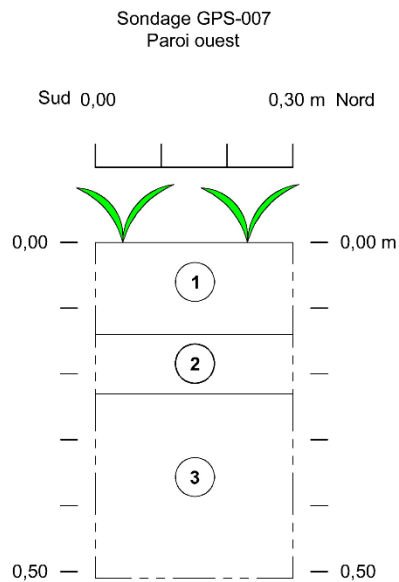
Figure 17. Localisation des sondages manuels réalisés dans les limites de la zone d'inventaire 1



Photo 1. Vue générale de la zone 1, à l'intersection du rang Nord et de la route 138, vers l'est (TCI-MTQ-BAT-23-003)



Photo 2. Paroi nord du sondage GPS-004 réalisé dans les limites du lot 4 306 246, vers le nord (TCI-MTQ-BAT-23-008)



Légende

- 1 Tourbe et humus: limon sableux brun foncé, meuble, contenant des charbons de bois (<1%).
- 2 Limon sableux brun pâle marbré orangé, moyennement compact, contenant des charbons de bois (<1%).
- 3 Limon sableux gris-bleu marbré orangé.
- Limite du croquis

Inventaire archéologique (Été 2023)

Projet de reconstruction du pont P-01559 situé sur la route 138 dans les limites de la municipalité de Batiscan, région administrative de la Mauricie (projet n° 154-99-0602)

Croquis stratigraphique de la paroi ouest du sondage GPS-007

Échelle 1 : 10

Figure 18. Croquis stratigraphique de la paroi ouest du sondage GPS-007

Il s'agissait surtout de fragments de contenants en céramique et en verre ainsi que d'un fragment de fourneau de pipe en terre cuite fine argileuse blanche. Les types céramiques présents correspondaient principalement à de la terre cuite grossière de production locale (environ 1760 à 1850), du grès grossier de type Bristol (environ 1835 au début du XX^e siècle), de la terre cuite fine de type *creamware* (environ 1762 à 1830) et de la terre cuite fine blanche vitrifiée (environ 1840 à aujourd'hui). La troisième couche observée correspondait à un sol naturel stérile formé de limon sableux gris bleuté, homogène, présentant des marbrures orangées. Cette couche a été fouillée sur une profondeur maximale de 0,34 m.

Bien qu'aucun vestige ou couche d'occupation n'ait été observé dans la zone d'inventaire 1 en association avec ces artefacts, ceux-ci témoigneraient de l'occupation domestique des lieux environnants au cours de la période historique, soit principalement au XIX^e siècle.

En somme, l'ensemble de la zone d'inventaire 1, notamment les fossés et les talus routiers ainsi que la surface des champs labourés bordant le rang Cinq-Mars, a été inspecté visuellement en vue d'y déceler des traces d'aménagement ou des vestiges perceptibles en surface. Certains secteurs se sont toutefois révélés impossibles à sonder en raison de bouleversements trop importants (remblais routiers, fossés, surfaces pavées, etc.) ou en raison de la présence d'eau en surface du sol (particulièrement à l'extrémité nord-est de la zone 1, au sud de la route 138).

7.1.2 Zone d'inventaire 2

La zone d'inventaire 2 était localisée du côté nord de la rivière Batiscan. Cette zone concernait principalement la route 138 (lot 4 176 516) et les terrains bordant son côté ouest (lots 4 176 260 et 4 176 261) (**figures 16 et 19**). Cette zone présentait une superficie de 12 238 m² et était caractérisée par la présence de la route 138 et de la rampe d'accès au pont de fer. Du côté ouest de la route, les terrains situés en contrebas du remblai routier étaient gazonnés et parsemés de grands arbres matures. Quelques perturbations y étaient visibles, notamment des puits de forage, un aqueduc et un chemin en gravier. Dans ce secteur, le terrain se présentait de manière relativement plane ou légèrement descendant vers la rivière. Le bord de la rivière a été inspecté dans l'emprise de la zone 2 pour y détecter la présence d'aménagements et de structures en surface mais cette inspection s'est révélée peu concluante.

Vingt sondages manuels ont été réalisés dans les secteurs propices à être sondés et présents dans la zone d'inventaire 2. Les contextes stratigraphiques observés peuvent être synthétisés en deux profils types distincts.

Le premier de ces profils types témoignait des sols observés sur le terrain gazonné correspondant au lot 4 176 261 (**photo 3**). Dans ce secteur, la stratigraphie était composée de deux couches. La première était formée d'un limon sableux brun foncé, organique et meuble, mesurant 0,12 m à 0,29 m d'épaisseur. Dans cette couche se trouvaient principalement des charbons de bois (1%). Elle était suivie d'un niveau de sable limoneux gris-brun marbré orange, meuble, fouillé sur une profondeur variant de 0,18 m à 0,53 m. Par endroits, cette stratigraphie était précédée d'un dépôt moderne formée de graviers et de fragments d'asphalte d'une épaisseur maximale de 0,10 m (**figure 20**).



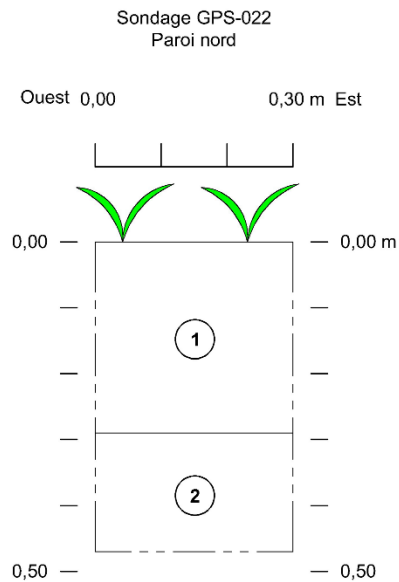
Figure 19. Localisation des sondages manuels réalisés dans les limites de la zone d'inventaire 2



Photo 3. Vue d'ensemble du terrain gazonné correspondant au lot 4 176 261, vers le nord (TCI-MTQ-BAT-23-008)

Quelques artefacts (n=10) ont été récoltés dans la zone d'inventaire 2 (**annexe 1**). Le sondage GPS-018 a livré trois artefacts provenant de la couche 1, soit un tesson de terre cuite grossière de production locale (ca 1760-1850), un tesson de faïence blanche de style de Moustiers (1679-1874) et un fragment de bouteille en verre teinté vert foncé. Deux sondages additionnels ont été fouillés en périphérie du sondage GPS-018 afin de vérifier l'existence d'une couche d'occupation ou d'un autre contexte archéologique en place. Les sondages GPS-021 et GPS-022, localisés à 5 m de distance du sondage positif, respectivement au sud-ouest et au sud-est, ont permis la découverte d'autres artefacts dans la même couche de sol que le sondage GPS-018 sans pour autant mener à l'identification d'un contexte archéologique particulier. Les objets récoltés dans les sondages supplémentaires correspondaient à deux tessons de terre cuite fine de type *creamware* (ca 1762-1830) et un tesson de terre cuite grossière de production locale (ca 1760-1850) (**photo 4**).

Par ailleurs, un ancien chemin, reliant l'approche du pont vers un quai qui desservait la traverse par bac en amont sur la rivière, était présent dans la zone d'inventaire 2. Cet embranchement de la route, à partir de la route 138, apparaît d'ailleurs sur les plans de construction du pont de 1922 (**annexe 3**). Le côté nord de ce chemin était soutenu à l'aide d'un empilement de pierres calcaires brutes (**photo 5**). Une canalisation en ciment traversait le remblai du chemin de manière à drainer l'excédent d'eau de surface provenant du terrain gazonné.



Légende

- 1 Tourbe et humus: limon sableux brun foncé, meuble et organique, contenant des charbons de bois (<1%).
- 2 Sable brun orangé jaunâtre, meuble et homogène.
- Limite du croquis

Inventaire archéologique (Été 2023)

Projet de reconstruction du pont P-01559 situé sur la route 138 dans les limites de la municipalité de Batiscan, région administrative de la Mauricie (projet n° 154-99-0602)

Croquis stratigraphique de la paroi nord du sondage GPS-022

Échelle 1 : 10

Figure 20. Croquis stratigraphique de la paroi nord du sondage GPS-022

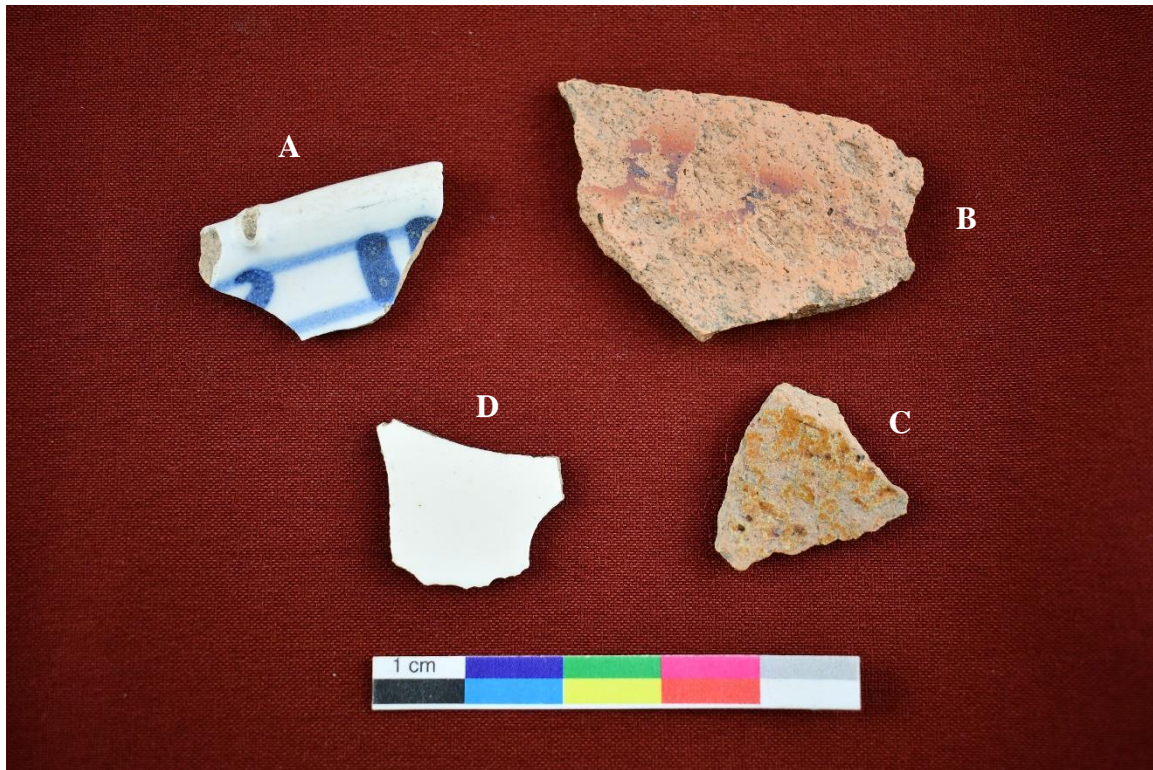


Photo 4. Objets de nature historique découverts dans les sondages GPS-018, GPS-021 et GPS-022 effectués dans la zone d’inventaire 2. A- Tesson de faïence blanche de style de Moustiers (1679-1874); B et C- Tessons de terre cuite grossière de production locale (1760-1850); D- Tesson de terre cuite fine de type creamware (1762-1830) (Photo : Dominic Drouin)

Du côté sud de cet ancien chemin, le terrain descendait en direction de la rivière et la topographie y était beaucoup plus accidentée. Quatre sondages ont été réalisés dans ce secteur, plus précisément dans un étroit corridor correspondant à l’emprise du projet. La stratigraphie des sols observée dans ce dernier était formée de trois à quatre couches (**photo 6**). La première consistait en un niveau organique de limon sableux brun foncé, meuble, mesurant entre 0,07 m et 0,14 m d’épaisseur. Elle était suivie, dans les sondages GPS-034 et GPS-035, d’une couche de sable beige jaunâtre, homogène et friable, mesurant entre 0,12 m et 0,23 m d’épaisseur. S’ensuivait un niveau de limon plus ou moins sableux brun à gris, meuble, contenant des pierres anguleuses (0,10 m de diamètre en moyenne). Cette couche mesurait entre 0,04 m et 0,25 m d’épaisseur. Enfin, on retrouvait, au fond des sondages de ce secteur, un sable grisâtre à brun, meuble et généralement très humide. Cette couche a été fouillée sur une profondeur maximale de 0,44 m (**figure 21**).

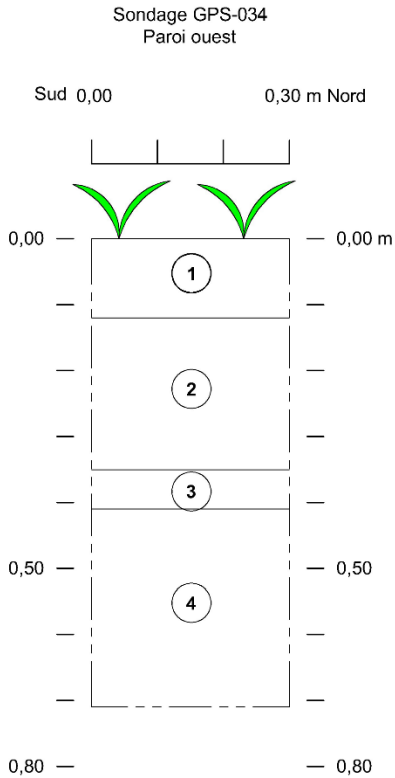
Des artefacts (n=28) ont été récoltés au sein de la couche 3 dans les sondages GPS-033 et GPS-034. En raison de leur quantité, il semble que l’emplacement investigué par ces sondages ait été utilisé comme une aire de rejet, possiblement un petit dépotoir situé en contrebas de l’ancien chemin d’accès vers la maison et en bordure de la rivière.



Photo 5. Parement nord du mur de soutènement d'un ancien chemin menant vers la maison. Ce chemin rejoignait la rampe d'accès au pont visible sur la gauche de la photo, vers le sud (TCI-MTQ-BAT-23-057)



Photo 6. Paroi ouest du sondage GPS-034, vers l'ouest (TCI-MTQ-BAT-23-064)



Légende

- 1 Tourbe et humus: limon sableux brun foncé et meuble.
- 2 Sable beige jaunâtre et homogène.
- 3 Limon sableux brun foncé, meuble, contenant des pierres anguleuses.
- 4 Sable grisâtre et homogène.
- — — Limite du croquis

Inventaire archéologique (Été 2023)

Projet de reconstruction du pont P-01559 situé sur la route 138 dans les limites de la municipalité de Batiscan, région administrative de la Mauricie (projet n° 154-99-0602)

Croquis stratigraphique de la paroi ouest du sondage GPS-034

Échelle 1 : 10

Figure 21. Croquis stratigraphique de la paroi ouest du sondage GPS-034

Les artefacts récoltés correspondaient principalement à des céramiques de types variés : terre cuite fine blanche (ca 1820 à aujourd'hui), grès grossier à glaçure saline (XIX^e siècle), porcelaine dure orientale (1887 à aujourd'hui) et terre cuite grossière. Un clou forgé, un couvercle en fer, des fragments de bouteilles en verre teinté vert et teinté rose et une bouteille à médicament complète en verre transparent portant une marque de fabricant (1875 à 1901) complétaient l'assemblage (**annexe 1**). En somme, la culture matérielle récoltée dans les sondages GPS-033 et GPS-034 reflète un contexte domestique associé à la fin du XIX^e et au début du XX^e siècle (**photo 7**). Il est possible que cette aire de rejet ait été générée par les occupants du terrain bordant la rivière, à un moment où l'ancien chemin d'accès était utilisé.



Photo 7. Objets de nature historique découverts dans le sondage GPS-033 effectué dans la zone d'inventaire 2. *A et B- Fragments de soucoupe et tasse en porcelaine fine orientale avec décor floral (à partir de 1887); C- Tessons de terre cuite fine blanche (à partir de 1820); D- Tesson de grès grossier nord-américain avec glaçure saline (XIX^e siècle)* (Photo : Dominic Drouin)

7.1.3 Zone d'inventaire 3

La zone d'inventaire 3 se situait du côté sud de la rivière Batiscan, de part et d'autre de l'approche sud du pont en fer (**figures 16 et 22**). Cette zone couvrait les lots et 4 504 523, 4 505 236 et 4 505 271. Le lot 4 505 236 correspondait à la route 138, qui était caractérisée à cet endroit par un imposant remblai. Au total, sept sondages manuels ont été réalisés sur les lots 4 504 523 et 4 505 271, de chaque côté du talus de la route.



Figure 22. Localisation des sondages manuels réalisés dans les limites de la zone d'inventaire 3

Du côté est de la route 138, la zone inventoriée consistait en un terrain gazonné relativement plat. Trois sondages ont été réalisés de ce côté de la route, sur le lot 4 504 523. Ceux-ci présentaient un profil stratigraphique composé de quatre couches reflétant des aménagements ayant marqué ce secteur (**figure 23; photo 8**). La première était formée d'un sable limoneux brun pâle orangé, organique et meuble, mesurant 0,14 m d'épaisseur. Elle était suivie d'un sable limoneux brun pâle, meuble et homogène, d'une épaisseur de 0,14 m également. S'ensuivait une couche de sable marbré brun jaunâtre à brun foncé contenant des éclats de grès, des fragments de bois, des charbons de bois et des clous tréfilés (0,22 m d'épaisseur). Elle reposait enfin sur un niveau de sable brun jaunâtre, friable et homogène, dont l'origine semblait anthropique (0,28 m d'épaisseur). La présence de ce sable de construction au fond du sondage semblait indiquer que des excavations avaient déjà eu lieu dans cette zone et que le sol naturel n'y était plus présent.

Du côté ouest de la route 138, quatre sondages ont été réalisés sur le lot 4 505 271, au pied du talus menant à l'approche du pont en fer. Ce secteur était généralement boisé tandis qu'une zone humide bordait le lit de la rivière Batiscan (**photo 9**). Un petit dépotoir formant un buton au pied du talus du pont était visible en surface du sol. La couche de déchets était recouverte vers le nord de la zone par un niveau d'alluvions déposé par la rivière. Le sondage GPS-061 a permis de documenter ce phénomène et de récolter 18 artefacts dans une couche de sable brun hétérogène mesurant 0,41 m d'épaisseur. Les sondages GPS-060 et GPS-062, localisés sur le buton plus au sud, ont démontré la présence de plusieurs niveaux d'aménagement possiblement associés à la construction du pont, en plus d'une couche de dépotoir riche en matériel (n=36) (**photo 10**).

La stratigraphie de ce secteur peut être décrite de la façon suivante. La première couche, seulement visible dans le sondage GPS-062, était formée d'un humus composé d'un limon sableux brun foncé et organique (0,16 m d'épaisseur). Elle était suivie d'un limon plus ou moins sableux brun foncé à gris-brun, hétérogène et meuble, contenant de nombreux artefacts et inclusions diverses (0,28-0,41 m d'épaisseur). Ce possible niveau de dépotoir reposait sur une mince couche de pierres et d'éclats de grès gris anguleux mêlés à du mortier en poussière et en nodules (10-50 %). D'une épaisseur variant de 0,08 m à 0,12 m, ce niveau reposait sur divers niveaux sableux plus ou moins homogènes et qui pourraient témoigner d'un événement de construction. Dans le sondage GPS-060, on observait une couche de sable brun-gris, moyennement compact, mesurant 0,06 m d'épaisseur et qui était suivie d'une couche de sable brun orangé, meuble et homogène, contenant des fragments de briques (0,10 m d'épaisseur). Enfin, le sol naturel identifié dans ces deux sondages était formé d'un sable brun orangé, homogène et meuble (0,12-0,14 m d'épaisseur), suivi d'un sable limoneux gris verdâtre, meuble et homogène (0,14 m d'épaisseur) (**figure 24**).

La culture matérielle recueillie dans la couche 2 des sondages GPS-061 et 062 appartenait à un même contexte de déposition qui semblait refléter le début du XX^e siècle. Les objets étaient variés mais reflétaient tous un contexte de consommation associé à la sphère domestique. On y retrouvait principalement des fragments de bouteille en verre, des os de boucherie, des coquilles d'huître, quelques pièces d'objets électriques et de rares fragments de plastique (**annexe 1**). Quant aux artefacts permettant une interprétation de la datation du contexte, ils correspondaient à des bouteilles à médicament et à parfum portant des marques de fabricants, soit celle de la *Dominion Glass Company* (1928 à 1976) et de la *Consumers Glass Company* (1917 à 2002). Les méthodes de fabrication de ces bouteilles permettent de dater leur production avant les années 1940 ou 1950. Parmi les types céramiques, on note la présence de terre cuite fine chamois de type Rockingham (début du XIX^e siècle aux années 1930) et de terre cuite fine blanche (ca 1820 à aujourd'hui).



Photo 8. Paroi ouest du sondage GPS-136 réalisé dans la zone d'inventaire 3, vers l'ouest (TCI-MTQ-BAT-23-181)



Photo 9. Vue générale de l'environnement de la zone d'inventaire 3, du côté ouest de l'approche du pont en fer, vers le nord-est (TCI-MTQ-BAT-23-077)



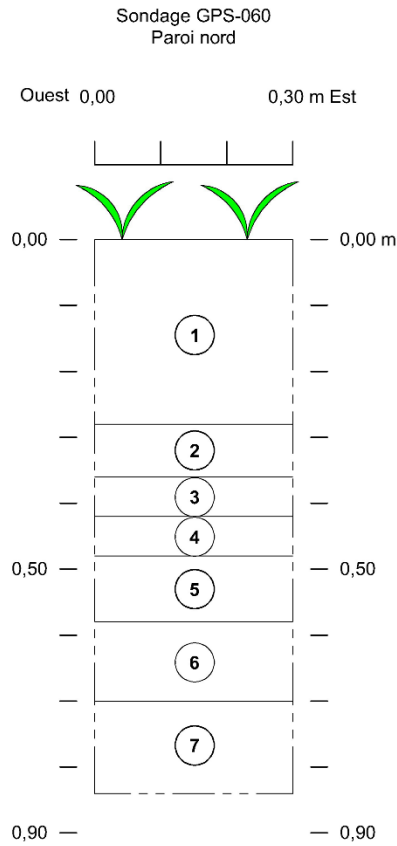
Photo 10. Paroi nord du sondage GPS-060 réalisé dans la zone d'inventaire 3, vers le nord-ouest (TCI-MTQ-BAT-23-078)

Il semble donc que ce dépotoir ait été en usage principalement au début du XX^e siècle. La présence de matières plastiques permet de proposer une période d'utilisation s'étalant des années 1920 aux années 1950 (**photo 11**).

Quant à la présence de mortier et d'éclats de pierres de grès gris dans un niveau reposant sur celui associé à l'utilisation du lieu comme dépotoir, ces traces pourraient correspondre à la construction du second pont inauguré en 1922. En effet, le remblai de l'approche du pont à cet endroit était renforcé à l'aide d'une maçonnerie faite de gros blocs de grès, ce qui est d'ailleurs indiqué sur son plan de construction (**annexe 3**). Il est probable que la couche d'éclats de grès ait été formée lors de la taille des blocs nécessaires à l'érection de ce mur.

7.1.4 Zone d'inventaire 4

La zone d'inventaire 4 correspondait à une portion de terrain boisé située sur la pointe nord-ouest de l'île Norbert (lot 4 504 531) (**figures 16 et 25**). Cette zone recouvrait la branche ouest de l'emprise des travaux, située à cet endroit sous le pont en fer, en zone inondable, ainsi que la branche est de l'emprise où une déviation était projetée. L'environnement était formé de grands arbres, d'arbustes et de fougères. Vers l'extrémité nord de la zone, la surface du sol était régulièrement érodée et parsemée de branches et d'objets flottés par les débordements de la rivière (**photo 12**). Vingt-et-un sondages manuels ont été réalisés dans ce secteur.



Légende

- 1 Tourbe et humus: limon sableux brun foncé, meuble, contenant des déchets modernes.
- 2 Couche de pierres anguleuses de grès et de nodules de mortier.
- 3 Sable brun-gris et moyennement compact.
- 4 Limon sableux gris bleuté (Sol naturel remanié).
- 5 Sable brun orangé, meuble et homogène, contenant des fragments de briques (1%).
- 6 Sable limoneux brun orangé et homogène.
- 7 Sable limoneux gris verdâtre, meuble et homogène.
- Limite du croquis

Inventaire archéologique (Été 2023)

Projet de reconstruction du pont P-01559 situé sur la route 138 dans les limites de la municipalité de Batiscan, région administrative de la Mauricie (projet n° 154-99-0602)

Croquis stratigraphique de la paroi nord du sondage GPS-060

Échelle 1 : 10

Figure 24. Croquis stratigraphique de la paroi nord du sondage GPS-060

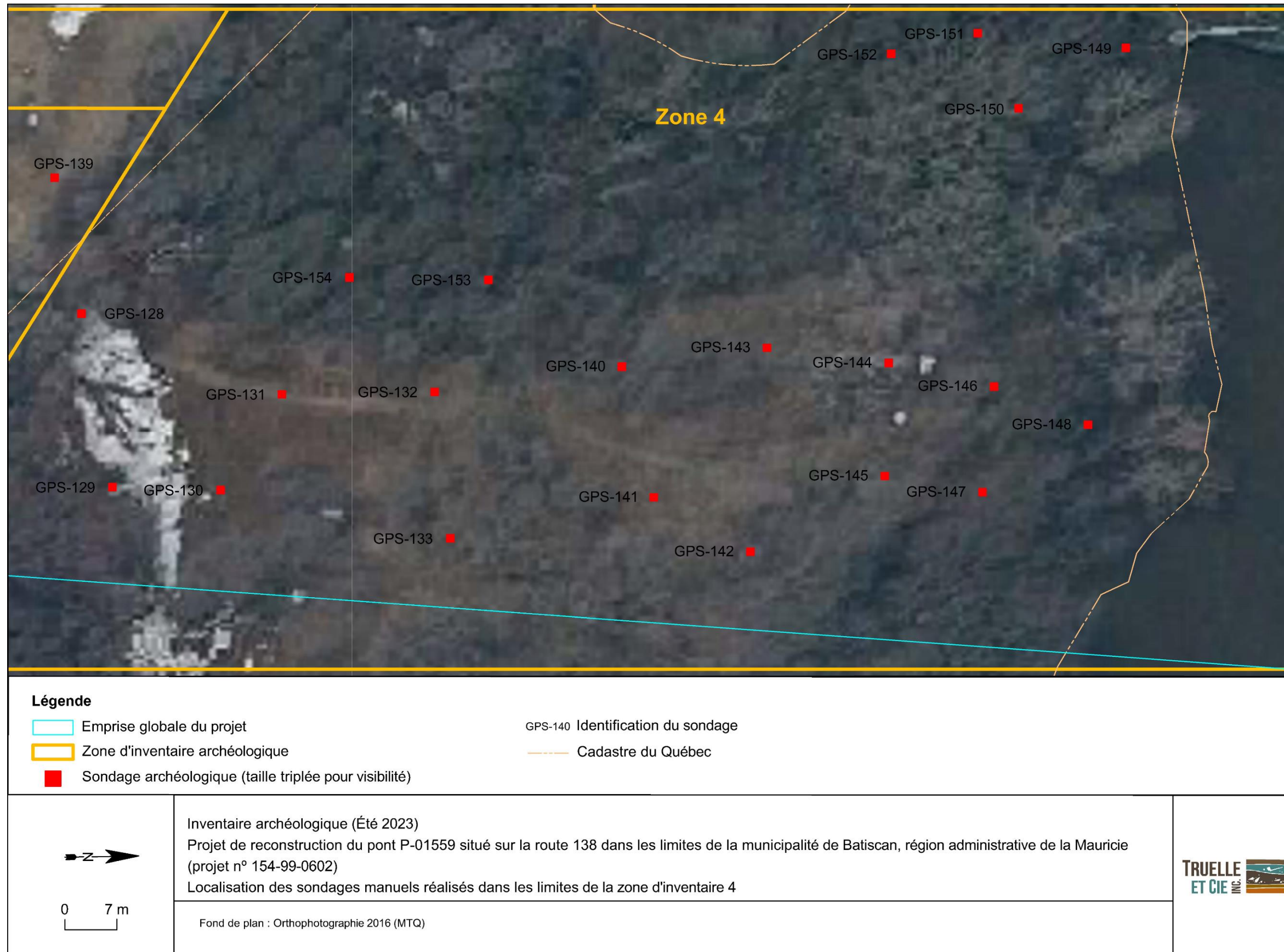


Figure 25. Localisation des sondages manuels réalisés dans les limites de la zone d'inventaire 4



Photo 11. Objets de nature historique découverts dans les sondages GPS-061 et GPS-062 effectués dans la zone d'inventaire 4. A- Bouteille à médicament en verre coloré brun (1928-1976); B- Fragment de bouteille à boisson alcoolisée en verre coloré vert (1928-1976); C- Électrode en graphite (1877 aux années 1950); D- Fragment de théière en terre cuite fine chamois (1850-1930); E et F- Tessons de terre cuite fine blanche dont un avec un décor floral (à partir de 1820); G- Tesson de terre cuite grossière locale (1680-1890) (Photo : Dominic Drouin)



Photo 12. Extrémité nord de la zone d'inventaire 4, vers l'est (TCI-MTQ-BAT-23-203)

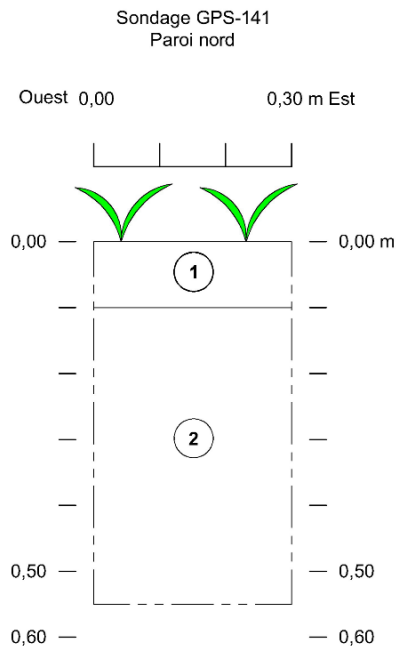
La stratigraphie générale du secteur s'exprimait par une séquence simple formée d'une ou deux couches, dépendamment de l'emplacement du sondage (**photo 13; figure 26**). En général, les profils exposaient la présence d'un dépôt d'argile limoneuse gris bleuté à brun grisâtre, homogène et meuble. Cette couche a été creusée sur une cinquantaine de centimètres sans qu'un changement notable puisse être observé. Dans la portion centrale de la zone d'inventaire 4 cependant, un niveau additionnel s'ajoutait en surface de ce dépôt naturel. Ce dernier se décrivait comme une argile limoneuse brun grisâtre, moyennement compacte, contenant des cailloux et des déchets modernes. Cette couche mesurait en moyenne 0,10 m d'épaisseur et semblait être associée à un ancien chemin. Aucun vestige ni artefact n'ont été découverts dans les limites de la zone d'inventaire 4.



Photo 13. Paroi nord du sondage GPS-141 réalisé dans la zone d'inventaire 4, vers le nord (TCI-MTQ-BAT-23-202)

7.1.5 Zone d'inventaire 5

La zone d'inventaire 5 couvrait la branche est de l'emprise des travaux au sud de la rivière, jusqu'à sa jonction avec la route 138 (**figures 16 et 27**). Elle était caractérisée par la présence de terrains résidentiels, d'une portion boisée et par un terrain gazonné situé en bordure de la route 138 (**photo 14**). L'inventaire archéologique a été mené sur les lots 4 504 522, 4 504 523, 4 504 524, 4 504 525, 4 504 526, 4 504 532, 4 504 533, 4 504 534, 4 504 535 et 4 505 237. Trente-huit sondages manuels ont été réalisés dans cette zone qui a été divisée en trois sous-secteurs.



Légende

- 1 Tourbe et humus: argile limoneuse brun grisâtre, meuble, contenant des cailloux et des déchets modernes.
- 2 Argile limoneuse gris bleuté, moyennement compacte, contenant des lentilles sableuses.
- Limite du croquis

Inventaire archéologique (Été 2023)
Projet de reconstruction du pont P-01559 situé sur la route 138 dans les limites de la municipalité de Batiscan, région administrative de la Mauricie (projet n° 154-99-0602)
Croquis stratigraphique de la paroi nord du sondage GPS-141

Échelle 1 : 10

Figure 26. Croquis stratigraphique de la paroi nord du sondage GPS-141

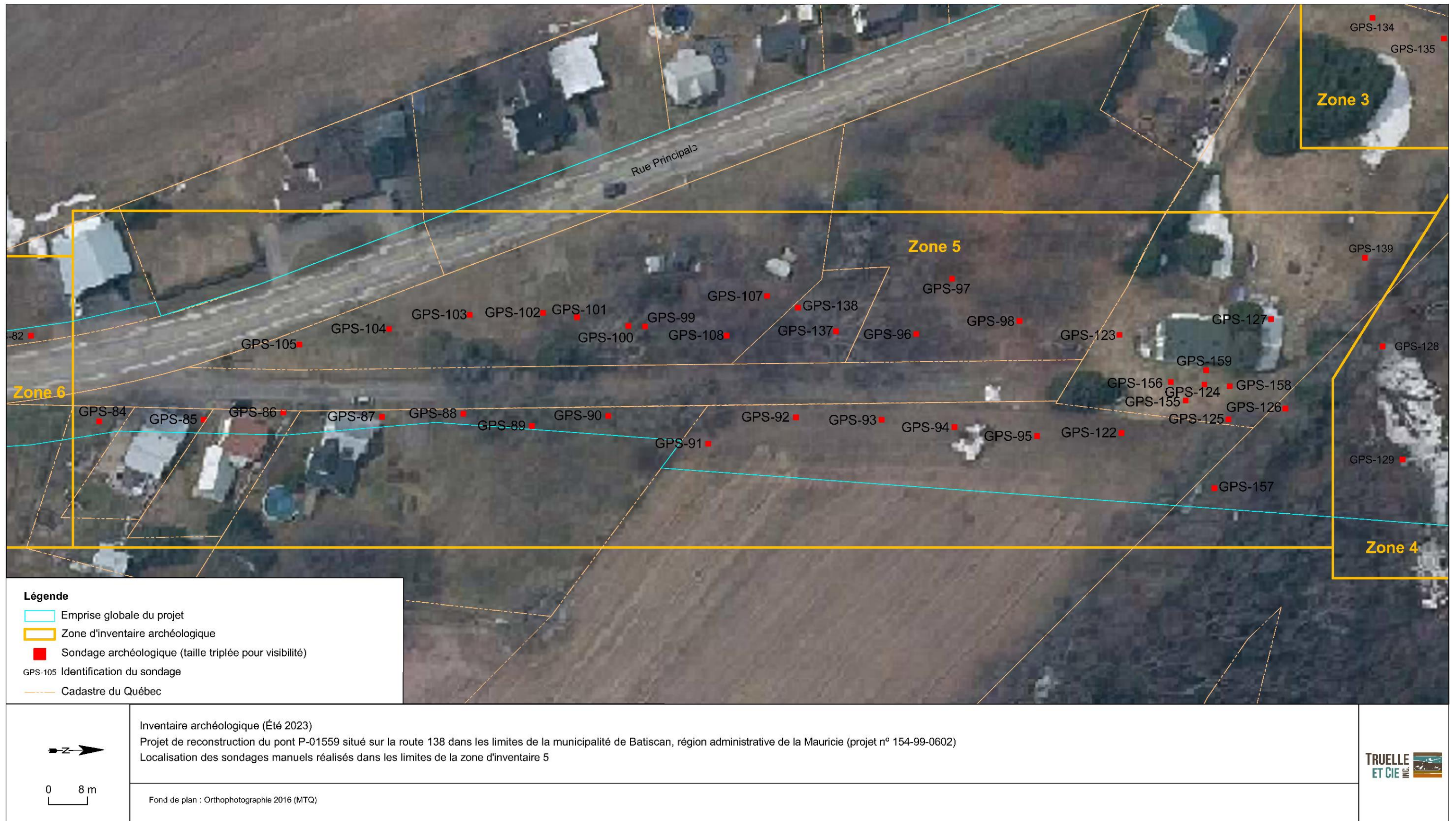
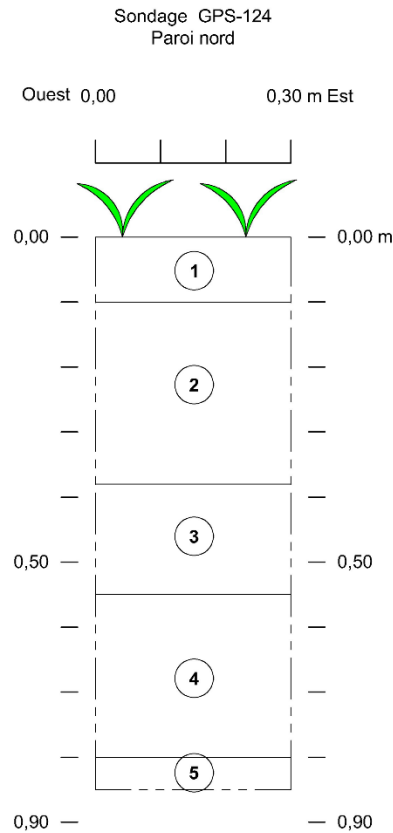


Figure 27. Localisation des sondages manuels réalisés dans les limites de la zone d'inventaire 5



Photo 14. Vue de l'emplacement du sondage GPS-124, à l'est de la résidence sise sur le lot 4 504 523, vers le sud (TCI-MTQ-BAT-23-167)

Le premier de ces sous-secteurs, concernant les lots 4 504 523 et 4 504 534, correspondait à un terrain aménagé sur lequel se trouvait une résidence. Des sondages ont été réalisés en périphérie de ce bâtiment et sur le terrain adjacent. Directement à l'est de la maison, des sondages ont révélé la présence d'une séquence stratigraphique complexe associée à des artefacts datant du XIX^e siècle et des inclusions anthropiques. Dans les sondages GPS-124, GPS-158 et GPS-159, quatre couches de sol étaient présentes (**figure 28; photo 15**). On retrouvait d'abord un niveau organique de surface formé d'un sable limoneux brun foncé et meuble (0,09-0,10 m d'épaisseur). S'ensuivait une couche de sable limoneux brun pâle, meuble, contenant des fragments de briques (1%) et du mortier (1%) (0,12-0,28 m d'épaisseur). Une pierre granitique sur laquelle se trouvait un résidu de mortier a été prélevée de cette couche dans le sondage GPS-159. Cette couche était suivie d'un dépôt de sable brun jaunâtre à grisâtre, friable, contenant des lentilles de sable noir et des fragments de briques (1%) (0,17-0,23 m d'épaisseur). Enfin, on retrouvait une couche formée d'un sable limoneux brun foncé, meuble, contenant des fragments de briques (1%), de mortier (1%), de bois ainsi que des charbons de bois (1%). Le fond de cette couche n'a pas été atteint dans les sondages GPS-124, GPS-158 et GPS-159 malgré le fait qu'elle ait été fouillée sur une profondeur d'au moins 0,28 m. Le sol naturel a par ailleurs été observé dans d'autres sondages localisés à proximité et se présentait comme un sable fin brun orangé, meuble et homogène. Des artefacts et écofactes ont été récoltés dans la couche 4 des sondages GPS-124 et GPS-159 ainsi que dans la couche 2 des sondages GPS-155 et GPS-156, équivalentes en termes de position stratigraphique. Ces objets correspondaient à des fragments d'os de mammifères portant des traces de découpe, des clous forgés, découpés et tréfilés, des fragments de verre à vitre et de bouteilles, des fragments de pipes en terre cuite fine argileuse blanche ainsi qu'à des tessons de céramique (**annexe 1**).



Légende

- 1 Tourbe humus: sable limoneux brun et meuble.
 - 2 Sable limoneux brun pâle, meuble, contenant des fragments de briques et du mortier (<1%).
 - 3 Sable brun jaunâtre, friable, contenant des fragments de briques (<1%).
 - 4 Limon sableux brun foncé, moyennement compact, contenant des charbons de bois (1%) et des fragments de briques (1%).
 - 5 Limon sableux brun foncé à gris pâle, meuble, contenant des fragments de bois et des charbons de bois (1%).
- Limite du croquis

Inventaire archéologique (Été 2023)

Projet de reconstruction du pont P-01559 situé sur la route 138 dans les limites de la municipalité de Batiscan, région administrative de la Mauricie (projet n° 154-99-0602)

Croquis stratigraphique de la paroi nord du sondage GPS-124

Échelle 1 : 10

Figure 28. Croquis stratigraphique de la paroi nord du sondage GPS-124



Photo 15. Paroi sud du sondage GPS-159 réalisé dans la zone d'inventaire 5, vers le sud-sud-est (TCI-MTQ-BAT-23-228)

Parmi les types céramiques identifiés, il y avait de la terre cuite fine blanche (ca 1820 à aujourd'hui), de la terre cuite fine jaune (ca 1836 à 1930), de la terre cuite fine de type *creamware* (environ 1762 à 1830) et de la terre cuite grossière de production locale (environ 1760 à 1850). Les deux fragments de pipe à fumer présentaient des marques de fabricants permettant de dater l'une d'elles à une date postérieure à 1840 et l'autre à la période allant de 1847 à 1876 (**photo 16**).

Si ce n'était de la présence de clous tréfilés, dont la production de masse débute vers 1890, cet assemblage pourrait refléter un contexte plus ancien, possiblement du milieu du XIX^e siècle. La nature du niveau stratigraphique, où ces artefacts ont été prélevés, et des inclusions qu'il contenait, laisse cependant croire à un épisode d'aménagement du terrain. En effet, la présence de matériaux de construction dans la couche (pierres, mortier et briques) pourrait indiquer qu'un bâtiment ait été détruit et que les sols associés à son occupation aient été perturbés et utilisés comme remblais. Cet événement pourrait avoir eu lieu lors de la construction de la résidence actuelle.

Le second sous-secteur de la zone d'inventaire 5 concernait un terrain boisé situé entre la route 138 et un chemin privé se rendant à la résidence mentionnée plus haut. Dix sondages ont été effectués dans cette zone. Sept sondages compris dans ce même sous-secteur ont, pour leur part, été réalisés du côté est du chemin, à l'extrémité d'un champ cultivé. La stratigraphie observée dans ces derniers était formée de deux couches (**figure 29; photo 17**). On retrouvait d'abord un sable limoneux brun pâle, meuble et homogène, correspondant à un labour (0,18 m d'épaisseur). Cette couche reposait sur un dépôt naturel de sable gris pâle présentant des marbrures orangées et qui a été fouillé sur une profondeur de 0,32 m.



Photo 16. Objets de nature historique découverts dans les sondages GPS-124, GPS-159, GPS-155 et GPS-156 effectués dans la zone d'inventaire 5. *A- Tesson de terre cuite fine jaune avec décor imprimé (XIX^e siècle aux années 1930); B- Tesson de terre cuite fine de type creamware (1762-1830); C- Tesson de terre cuite grossière locale (1680-1890); D et E- Fragments de pipes à fumer dont un tuyau de la fabrique Henderson (1847-1876); F- Tessons de terre cuite fine blanche avec un décor imprimé en bleu (à partir de 1820);* (Photo : Dominic Drouin)

Dans la portion boisée de ce sous-secteur, les sondages ont révélé des stratigraphies plutôt simples formées d'une ou deux couches. Le sondage GPS-97 a permis d'observer une couche de limon sableux brun pâle, meuble et homogène, sur plus de 0,48 m d'épaisseur. Un mince niveau d'humus s'additionnait parfois en surface de cette couche.

Des vestiges d'origine relativement récente ont été observés dans cette portion boisée de la zone d'inventaire 5. Le premier d'entre eux correspondait à la fondation d'un bâtiment de forme plus ou moins carrée et mesurant 7,50 m sur 6,90 m. Ces fondations étaient préservées sur les côtés est, ouest et sud du bâtiment, alors que le mur nord était effondré vers l'intérieur de la structure (**photo 18**). Le mur est, pour sa part était en grande partie enterré. Les murs de ce bâtiment, d'une largeur de 0,30 m et d'une hauteur maximale de 0,80 m, étaient faits de blocs de ciment liés au moyen d'un mortier gris-blanc (**photo 19**). Un seuil de porte semblait s'être trouvé au centre du mur sud (**photo 20**). L'intérieur du bâtiment était comblé par des déchets modernes et des résidus issus de sa démolition. On y retrouvait, entre autres des fragments de tôle et de tuyaux, des pièces électriques ainsi que des madriers en bois (**photo 21**).



Photo 17. Paroi ouest du sondage GPS-093 réalisé dans la zone d'inventaire 5, vers le nord-ouest (TCI-MTQ-BAT-23-131)



Photo 18. Mur nord d'un bâtiment partiellement effondré et sa jonction avec le mur ouest, vers l'est (TCI-MTQ-BAT-23-190)



Photo 19. Jonction des murs est et sud d'un bâtiment partiellement effondré, vers l'est (TCI-MTQ-BAT-23-193)



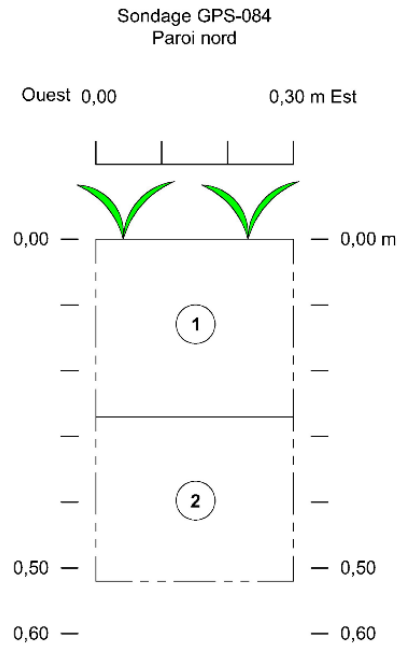
Photo 20. Seuil de porte visible dans le mur sud d'un bâtiment partiellement effondré, vers l'ouest (TCI-MTQ-BAT-23-195)



Photo 21. Jonction des murs sud et ouest du bâtiment partiellement effondré, vers le sud (TCI-MTQ-BAT-23-198)

Deux sondages ont été creusés autour de la structure afin d'identifier la présence de sols d'occupation en place. Ces sondages ont livré une stratigraphie formée de deux couches et aucun artefact n'y a été récolté. La première consistait en un limon sableux brun foncé, organique et meuble, mesurant environ 0,15 m d'épaisseur. Il reposait sur une couche de limon sableux brun orangé, meuble et homogène, d'apparence naturelle et fouillée sur une épaisseur de plus de 0,40 m (**figure 30**). L'absence d'artefacts en association avec la structure semble indiquer que cette dernière ait pu avoir une fonction de bâtiment secondaire tel un hangar ou un bâtiment agricole. L'utilisation des blocs de ciment industriels semble indiquer une construction plutôt récente, probablement autour du milieu du XX^e siècle.

Une seconde structure a été observée dans le même secteur de la zone d'inventaire 5. Il s'agissait d'une dalle de béton recouvrant une chambre construite en blocs de ciment. La surface de la dalle était enfouie sous un remblai de sable graveleux brun-gris formant une petite butte, mais une ouverture permettait d'observer à bras tendu l'intérieur de la cavité à l'aide d'une caméra (**photo 22**). À l'intérieur, on observait la présence de quatre murs de blocs de ciment bien dressés formant une chambre mesurant environ 3,00 m sur 2,00 m. Une conduite de métal d'un diamètre de 0,25 m ainsi que plusieurs plus petits tuyaux de plastique traversaient cette dernière (**photos 23 et 24**). Bien que sa fonction reste indéterminée, cette structure semble être de construction récente et ne présente pas d'intérêt archéologique. Le sondage GPS-100, effectué directement au sud de la structure, a démontré l'absence de sols stratifiés et la présence d'un remblai formé d'un sable graveleux brun-gris contenant des galets et des fragments de ciment sur plus de 0,70 m de profondeur. Cette couche de sol représenterait le remplissage de l'excavation associée à la construction de la structure.



Légende

- 1 Tourbe et humus: limon sableux brun foncé, meuble et homogène.
- 2 Limon sableux brun orangé pâle, meuble et homogène.
- Limite du croquis

Inventaire archéologique (Été 2023)

Projet de reconstruction du pont P-01559 situé sur la route 138 dans les limites de la municipalité de Batiscan, région administrative de la Mauricie (projet n° 154-99-0602)

Croquis stratigraphique de la paroi nord du sondage GPS-084

Échelle 1 : 10

Figure 30. Croquis stratigraphique de la paroi nord du sondage GPS-084



Photo 22. Ouverture de la structure de béton vue de l'extérieur, vers le nord (TCI-MTQ-BAT-23-136)



Photo 23. Vue de l'intérieur de la structure de béton, vers le nord (TCI-MTQ-BAT-23-143). À noter la présence d'une conduite traversant la structure.



Photo 24. Vue de l'intérieur de la structure de béton, vers l'ouest (TCI-MTQ-BAT-23-141). À noter la présence de plusieurs tuyaux en plastique dans le coin sud-ouest de la chambre.

Selon l'avis archéologique produit par le MTMD, ces deux bâtiments sont visibles sur des photographies aériennes datant de 1955 (**annexe 3**).

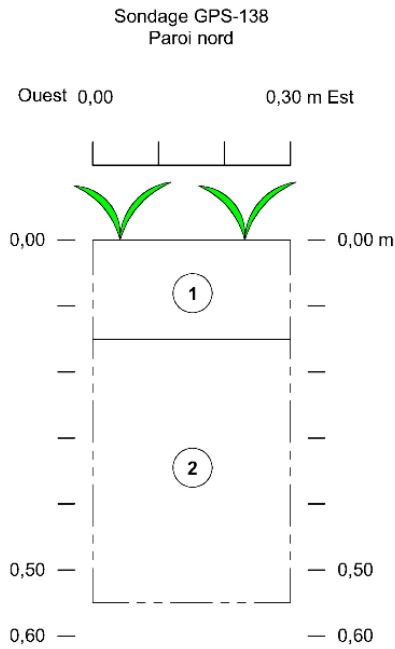
Enfin, l'extrémité sud de la zone d'inventaire 5 était caractérisée par des terrains résidentiels (lots 4 504 524, 4 504 525, 4 504 526 et 4 504 535) et par un terrain gazonné séparant une rue de la route 138 (lot 4 504 533) (**photo 25**). Il s'agissait de terrains présentant plusieurs traces d'aménagement. Onze sondages ont été réalisés dans ce sous-secteur. Les sols observés dans les limites de celui-ci étaient composés en général de deux couches (**photo 26; figure 31**). La première était formée d'un limon sableux brun foncé, meuble et homogène, dont l'épaisseur variait de 0,17 m à 0,27 m. Cette couche était suivie d'un limon sableux brun orangé à brun pâle, meuble et homogène, fouillé sur une profondeur de 0,35 m. Les sondages réalisés dans la bande de terrain longeant la route 138 (lot 4 504 533) présentaient des niveaux supplémentaires reposant sur cette séquence. Dans le sondage GPS-104, la stratigraphie était formée de cinq couches (**figure 32; photo 27**). La première, correspondant au niveau de gazon, était formée d'un sable limoneux brun foncé mesurant 0,10 m d'épaisseur. S'ensuivait une couche de remblai routier composé d'un sable graveleux brun-gris (0,11 m d'épaisseur). On retrouvait ensuite une mince couche friable de gravier et d'antracite (0,01 m d'épaisseur). Celle-ci reposait sur un sable graveleux brun-beige, friable, s'apparentant également à une couche de remblai (0,07 m d'épaisseur). Enfin, la dernière couche, fouillée sur une profondeur de 0,22 m, correspondait au sol naturel formé d'un limon sableux brun orangé et meuble.



Photo 25. Vue générale de l'extrémité sud de la zone d'inventaire 5, vers le sud (TCI-MTQ-BAT-23-146)



Photo 26. Paroi nord du sondage GPS-084 réalisé dans la zone d'inventaire 6, vers le nord (TCI-MTQ-BAT-23-122)



Légende

- 1 Tourbe et humus: limon sableux organique brun foncé et meuble.
- 2 Limon sableux brun orangé, meuble et homogène.
- Limite du croquis

Inventaire archéologique (Été 2023)

Projet de reconstruction du pont P-01559 situé sur la route 138 dans les limites de la municipalité de Batiscan, région administrative de la Mauricie (projet n° 154-99-0602)

Croquis stratigraphique de la paroi nord du sondage GPS-138

Échelle 1 : 10

Figure 31. Croquis stratigraphique de la paroi nord du sondage GPS-138



Photo 27. Paroi ouest du sondage GPS-104 réalisé dans la zone d'inventaire 5, vers l'ouest (TCI-MTQ-BAT-23-148)

7.1.6 Zone d'inventaire 6

La zone d'inventaire 6 se trouvait le long de la route 138, à l'extrémité sud de l'emprise des travaux (**figures 16 et 33**). Elle correspondait à l'emprise de la route en soit (lots 4 505 232 et 4 505 235) ainsi qu'à plusieurs terrains bordant cette dernière à l'est et à l'ouest (lots 4 504 435, 4 504 436, 4 504 443, 4 504 445, 4 504 962, 5 283 059, 5 283 060 et 5 283 061). Cette zone était caractérisée par la présence de la route 138, de ses talus et de ses fossés, d'entrées asphaltées ou en gravier menant à des résidences, de terrains gazonnés et de champs agricoles (**photo 28**). L'ensemble de la zone d'inventaire 6 a été inspectée, mais c'est dans ces deux dernières catégories de terrain que des sondages manuels ont été réalisés au nombre de 21.

D'abord, les sondages réalisés à l'extrémité de champs agricoles (sondages GPS-065, 067, 068, 069, 071, 072, 073, 074 et 075) ont tous livré des contextes stratigraphiques semblables formés de deux couches, soit typiquement d'un niveau de labour reposant sur un sol naturel stérile (**photo 29**). La première couche était en général formée d'un limon sableux brun pâle à brun foncé, meuble et homogène. D'une épaisseur moyenne autour de 0,25 m, celle-ci reposait sur une couche de sable limoneux gris bleuté marbré orangé, qui a été fouillée sur une trentaine de centimètres de profondeur (**figure 34**).



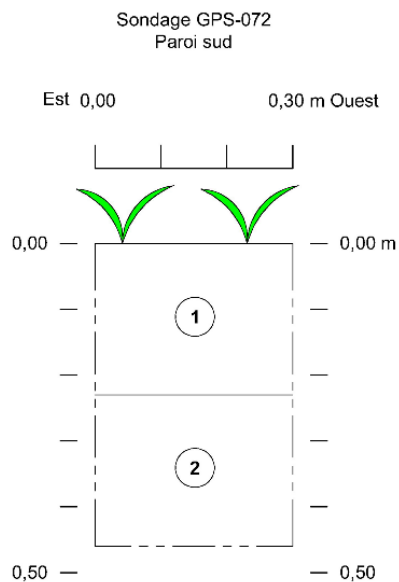
Figure 33. Localisation des sondages manuels réalisés dans les limites de la zone d'inventaire 6



Photo 28. Vue générale de l'extrémité sud de la zone d'inventaire 6, vers le nord (TCI-MTQ-BAT-23-090)



Photo 29. Paroi sud du sondage GPS-072 réalisé dans la zone d'inventaire 6, vers le sud (TCI-MTQ-BAT-23-102)



Légende

- 1 Labour correspondant à un sable limoneux brun foncé.
- 2 Sable gris bleuté, meuble et homogène.
- Limite du croquis

Inventaire archéologique (Été 2023)

Projet de reconstruction du pont P-01559 situé sur la route 138 dans les limites de la municipalité de Batiscan, région administrative de la Mauricie (projet n° 154-99-0602)

Croquis stratigraphique de la paroi sud du sondage GPS-072

Échelle 1 : 10

Figure 34. Croquis stratigraphique de la paroi sud du sondage GPS-072

L'inventaire manuel mené sur le lot 4 504 445 a permis d'identifier un événement qui semble être associé à la démolition récente d'un bâtiment à proximité. Dans le sondage GPS-064, cinq couches ont été identifiées dans le profil stratigraphique (**photo 30**). On retrouvait d'abord un niveau de surface gazonnée formé d'un sable limoneux brun pâle, meuble, mesurant 0,10 m d'épaisseur. S'ensuivait une couche de remblai formé d'une succession de minces niveaux sableux contenant du mortier (1 à 5%) ainsi que des fragments de béton, de bois, de plastique et de tôle (1%). Cette couche mesurait 0,12 m d'épaisseur. D'une épaisseur de 0,06 m, la couche suivante était formée d'un limon sableux gris contenant du bois décomposé (10%) de même que des fragments de plastique et de papier d'aluminium. Celle-ci reposait sur un niveau de sable limoneux brun-gris foncé, meuble et homogène, mesurant 0,16 m d'épaisseur. Enfin, la couche 5 était formée d'un sable limoneux brun orangé, meuble et homogène, interprétée comme un sol naturel qui a été fouillé sur une profondeur de 0,17 m.



Photo 30. Paroi nord du sondage GPS-064 réalisé dans la zone d'inventaire 6, vers le nord-ouest (TCI-MTQ-BAT-23-095)

Des artefacts ont été récoltés dans la couche 4, localisée sous les traces laissées par la démolition probable d'un bâtiment (couches 2 et 3). Un sondage additionnel (GPS-070) a été fouillé au sud du sondage GPS-064, afin de vérifier la présence de vestiges en place. Les couches de démolition n'y ont pas été notées, mais un artefact supplémentaire a été récolté dans une couche équivalente à la couche 4 du sondage GPS-064 (**figure 35**). L'assemblage artefactuel comprenait neuf objets soit six fragments d'os d'oiseaux, un clou découpé, un crampon en fer et une médaille religieuse en métal cuivreux (**annexe 1**) (**photo 31**).

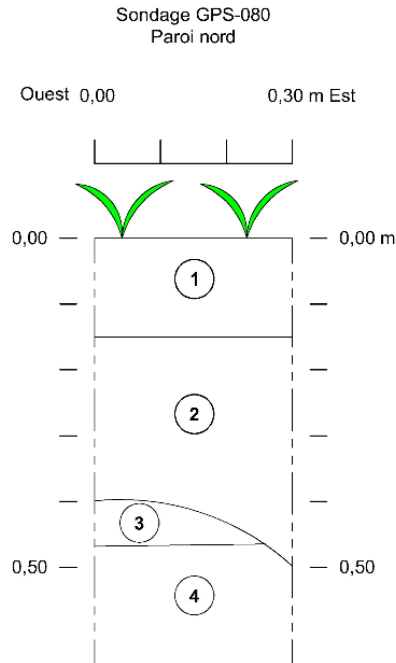
Sur la face supérieure de ce pendentif, on y observe Sainte-Anne assise sur une chaise avec un livre sur les genoux et faisant la lecture à sa fille Marie qui se tient debout devant sa mère. Sur son pourtour, on peut lire l'inscription: " STE ANNE MERE DE MARIE P. P. N ". Cette médaille pourrait être un souvenir de la Basilique Sainte-Anne-de-Beaupré consacrée en 1878 (**photo 31**).



Photo 31. Médaille religieuse dédiée à Sainte-Anne (fin XIX^e siècle) mise au jour dans le sondage GPS-063 (Photo Dominic Drouin)

Des traces d'aménagement ont été décelées dans la stratigraphie de certains sondages effectués dans la portion nord de la zone d'inventaire 6. Le sondage GPS-080, localisé directement devant la maison située sur le lot 4 504 436, a permis d'identifier les restes d'une canalisation en grès perturbée lors du passage ou l'élargissement de la route 138 (**figure 36; photo 32**).

Un peu plus au nord, sur le lot 4 504 435, le sondage GPS-083 a, pour sa part, permis d'observer des traces de combustion qui stratigraphiquement pourraient s'avérer être plus ou moins anciennes. Par ailleurs, six couches ont été identifiées dans le sondage GPS-083 (**photo 33**). On retrouvait d'abord un niveau d'humus formé d'un sable limoneux brun foncé, meuble. D'une épaisseur de 0,07 m, ce dernier reposait sur une couche de remblai hétérogène formé de minces niveaux de sable graveleux brun à gris. Cette couche a été observé sur une épaisseur de 0,15 m. Elle était suivie d'un sable limoneux gris foncé, moyennement compact, contenant des graviers et mesurant 0,09 m d'épaisseur. S'ensuivait un sable limoneux brun, meuble, contenant des taches de charbon de bois, de mortier et de brique (1%). Cette couche présentait l'apparence d'un niveau de labour ou d'un remblai d'origine ancienne, et mesurait 0,09 m d'épaisseur. Il était suivi d'une mince couche formée d'une concentration d'anthracite (0,05 m d'épaisseur). Enfin, on retrouvait un sol naturel formé d'un sable limoneux brun orangé, meuble, fouillé sur une profondeur de 0,15 m (**figure 37**). Un seul artefact a été récolté dans le sondage GPS-083, plus précisément dans la couche 5 formée d'anthracite. Il s'agissait d'un petit tube de forme ogivale en fer émaillé qui semblait correspondre à un rouge à lèvres (**annexe 1**). Ce dernier pourrait dater de la première moitié du XX^e siècle.



Légende

- 1 Tourbe et humus: sable graveleux brun-gris et moyennement compact (Remblai).
- 2 Sable brun jaunâtre, hétérogène, contenant des lentilles de limon gris-bleu et des fragments de conduite en terre cuite commune.
- 3 Sable limoneux brun foncé et meuble.
- 4 Sable limoneux brun orangé et meuble.
- Limite du croquis

Inventaire archéologique (Été 2023)

Projet de reconstruction du pont P-01559 situé sur la route 138 dans les limites de la municipalité de Batiscan, région administrative de la Mauricie (projet n° 154-99-0602)

Croquis stratigraphique de la paroi nord du sondage GPS-080

Échelle 1 : 10

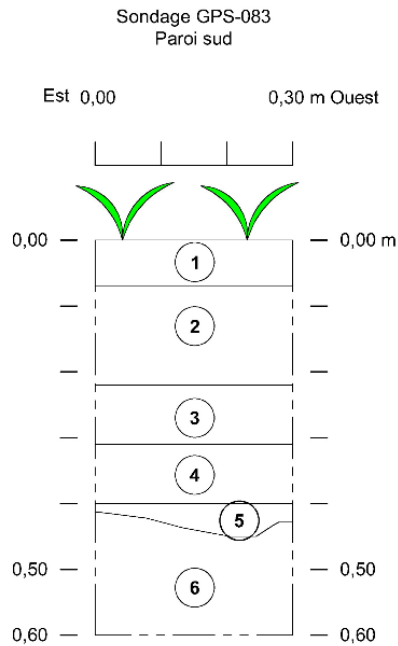
Figure 36. Croquis stratigraphique de la paroi nord du sondage GPS-080



Photo 32. Paroi nord du sondage GPS-080 réalisé dans la zone d'inventaire 6, vers le nord (TCI-MTQ-BAT-23-120)



Photo 33. Paroi sud du sondage GPS-083 réalisé dans la zone d'inventaire 6, vers le sud (TCI-MTQ-BAT-23-117)



Légende

- 1 Tourbe et humus: sable limoneux brun foncé et meuble.
 - 2 Remblai hétérogène fait de gravier et de sable.
 - 3 Sable limoneux gris foncé, moyennement compact, contenant des graviers.
 - 4 Sable limoneux brun, meuble, contenant des taches de charbons de bois, du mortier et des fragments de briques (<1%)
 - 5 Concentration d'anthracite.
 - 6 Sable limoneux brun orangé.
- Limite du croquis

Inventaire archéologique (Été 2023)

Projet de reconstruction du pont P-01559 situé sur la route 138 dans les limites de la municipalité de Batiscan, région administrative de la Mauricie (projet n° 154-99-0602)

Croquis stratigraphique de la paroi sud du sondage GPS-083

Échelle 1 : 10

Figure 37. Croquis stratigraphique de la paroi sud du sondage GPS-083

En somme, bien que des traces d'aménagement aient été repérées dans les sols en bordure de la route, la zone d'inventaire 6 n'a pas mené à la découverte de contextes archéologiques ni de vestiges justifiant d'étendre l'expertise plus loin.

7.1.7 Zone d'inventaire 7

La zone d'inventaire 7 correspondait à une servitude formant une bande de 15 m de largeur sur 275 m de longueur (**figures 16 et 38**). Celle-ci se distançait de l'emprise principale des travaux en direction sud-est sur le lot 5 283 060. Cette zone était occupée par un champ agricole dans lequel poussait de l'orge au moment de notre passage (**photo 34**). La topographie y était généralement plane. Vingt-deux sondages ont été réalisés dans ce secteur.



Photo 34. Vue générale de la zone d'inventaire 7, vers le sud-est (TCI-MTQ-BAT-23-071)

Une seule séquence stratigraphique des sols a été observée dans l'ensemble de la zone d'inventaire 7. Celle-ci était caractérisée par la présence de deux couches se traduisant par un niveau de labour reposant sur un sol naturel stérile (**figure 39; photo 35**). La première couche était formée d'un limon argileux brun pâle, homogène et moyennement compact (0,28 m). Elle était suivie d'un sable plus ou moins limoneux gris pâle légèrement bleuté avec des marbrures orangées. Cette couche a été fouillée sur 0,52 m de profondeur sans qu'il fût possible d'observer des changements notables. Aucun artefact ni vestige n'ont été découverts dans la zone d'inventaire 7.

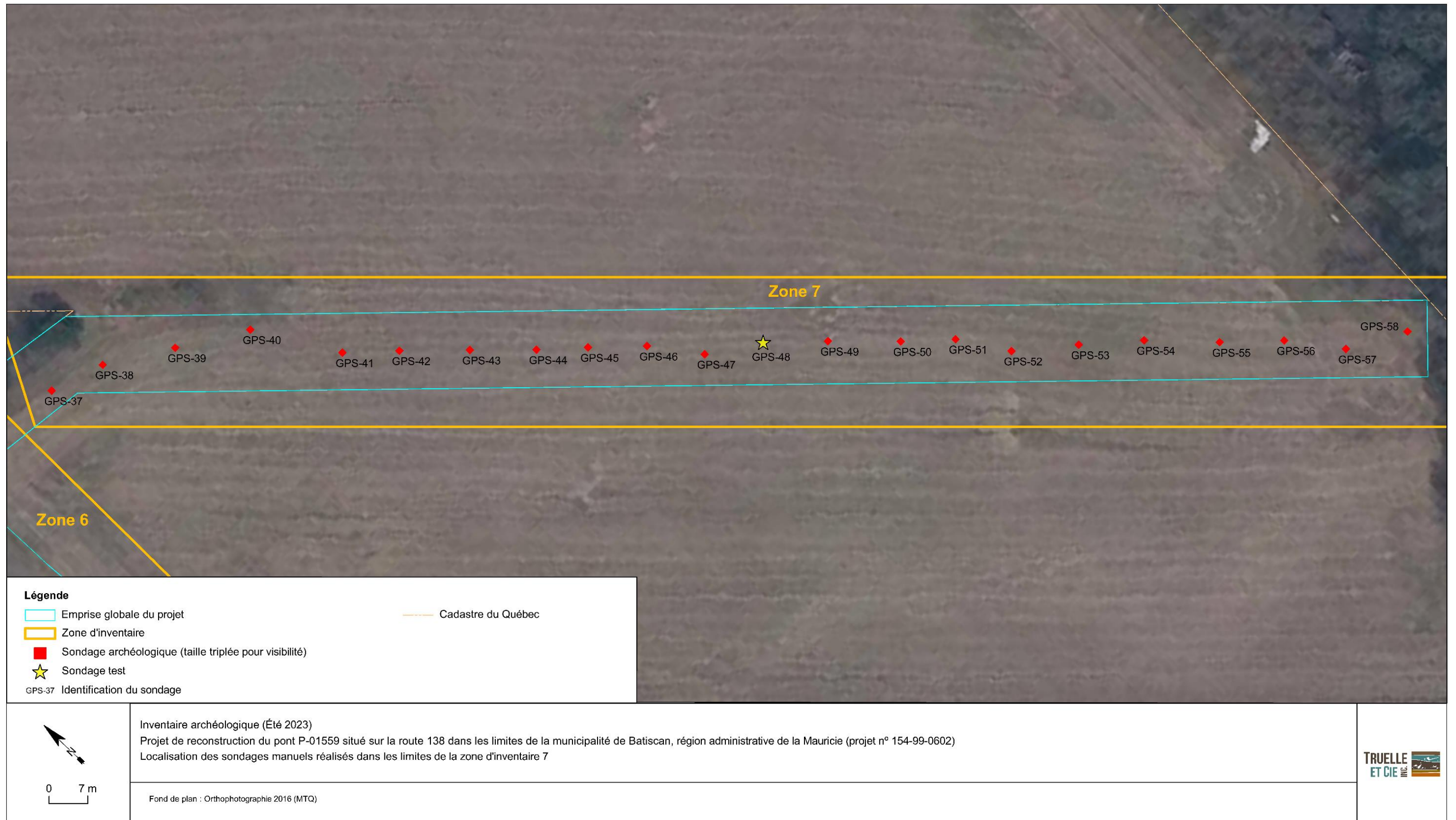


Figure 38. Localisation des sondages manuels réalisés dans les limites de la zone d'inventaire 7



Photo 35. Paroi nord du sondage test GPS-048 réalisé dans la zone d'inventaire 7, vers le nord (TCI-MTQ-BAT-23-073)

8. CONCLUSION ET RECOMMANDATIONS

Des travaux d'inventaire archéologique ont été effectués entre le 31 juillet et le 6 septembre 2023 dans le cadre du projet n° 154-99-0602 du MTMD visant la reconstruction du pont P-01559 de la route 138, dans la municipalité de Batiscan, dans les limites de la Direction générale territoriale de la Mauricie – Centre-du-Québec. Cet inventaire a consisté en une inspection visuelle complète de l'emprise des travaux ainsi qu'à la réalisation de 160 sondages manuels.

Cette intervention faisait suite aux recommandations formulées dans un avis archéologique réalisé par M. Ghislain Gagnon, archéologue à l'emploi du MTMD (**annexe 3**), dans lequel des zones à potentiel avaient été identifiées. Le mandat accordé à la firme Truelle et Cie Inc. avait pour but d'identifier toutes les informations nécessaires à l'analyse des risques en lien avec le patrimoine archéologique et à la mise en place de mesures d'atténuation d'impacts appropriées.

En somme, l'inventaire archéologique a permis de faire des découvertes mineures n'impactant pas les travaux prévus. En effet, les contextes archéologiques mis au jour concernaient soit des événements peu anciens (début au milieu du XX^e siècle) ou perturbés et ne présentant donc pas de potentiel de recherche supplémentaire. Les secteurs ayant livré des traces de potentielles occupations anciennes correspondent à la zone d'inventaire 2 et à la portion nord de la zone d'inventaire 5. Les sondages GPS-018, GPS-021 et GPS-022 réalisés dans la zone d'inventaire 2 ont livré un assemblage artefactuel pouvant remonter au XVIII^e siècle sans pour autant exposer la présence d'une couche d'occupation ou d'un vestige en place témoignant de cette époque. Il est possible que ces artefacts se soient retrouvés à cet endroit à la suite de perturbations liées à des aménagements sur le terrain. Dans la zone d'inventaire 5, des sondages localisés directement à l'est d'une maison existante ont exposé une stratigraphie profonde dans laquelle on décelait des indices témoignant de la démolition d'un bâtiment ainsi qu'une couche contenant de la culture matérielle datant du XIX^e siècle. L'inventaire n'a cependant pas permis de mettre au jour des vestiges associés à cette occupation, et nous estimons qu'il est possible que la maison actuelle ait été construite à l'emplacement même d'une construction plus ancienne. Enfin, deux vestiges apparents se trouvaient dans la zone d'inventaire 5, plus précisément sur les lots 4 534 532 et 4 534 533. L'un d'eux correspondait à la fondation d'un bâtiment secondaire construit en blocs de ciment alors que l'autre représentait une chambre souterraine également construite en blocs de ciment et recouverte d'une dalle de béton. Leur fonction demeure inconnue mais ces deux constructions, qui étaient présentes sur les photographies aériennes de 1955, pourraient être contemporaines (**annexe 3**).

À la lumière des résultats des travaux d'inventaire archéologique effectués dans l'emprise du projet de reconstruction du pont de la route 138 enjambant la rivière Batiscan, les travaux prévus dans le cadre de ce projet peuvent être réalisés sans qu'il n'y ait de contraintes sur les ressources archéologiques du territoire à l'étude. De plus, le secteur d'intervention ne comporte aucun potentiel de mise en valeur en regard des découvertes découlant de l'intervention faisant l'objet du présent rapport.

BIBLIOGRAPHIE

Archéo-Cad. 2014. *Étude de potentiel archéologique dans le cadre des travaux d'assainissement des eaux, village de Saint-Pierre-les-Becquets*. Municipalité de Saint-Pierre-les-Becquets.

Archéo-Cad. 2015. *Inventaire archéologique dans le cadre des travaux d'assainissement des eaux, Municipalité de Saint-Pierre-les-Becquets. Rapport d'intervention*. Municipalité de Saint-Pierre-les-Becquets.

Bernier, Maggy. 2003. Caractérisation typologique, microscopique et chimique des faïences du XVIII^e siècle. Cahiers d'archéologie du CELAT, n° 14, Série archéométrie n° 4, Université Laval, Québec, 2003.

Brassard, Michel et Myriam Leclerc. 2001. *Identifier la céramique et le verre anciens au Québec*. Cahiers d'archéologie du CELAT, No12, Université Laval, Québec.

Bureau du Nionwentsio. 2022. *A'kwatatia' Nous parlons. Le territoire de la Nation Huronne-Wendat : Des origines aux luttes contemporaines*. Conseil de la Nation Huronne-Wendat.

Burke, Adrian et Karine Taché. 2011. *Prospection et sondages archéologiques dans les régions de la Mauricie et du Centre-du-Québec*. Département d'anthropologie, Université de Montréal.

Champlain, Samuel de. 2018. *Récits de voyages en Nouvelle-France 1603-1632*. Réédition intégrale en français moderne, introduction et notes par Mathieu d'Avignon, Les Presses de l'Université Laval.

Chapdelaine, Claude. 1993. « La transhumance et les Iroquoiens du Saint-Laurent ». *Recherches Amérindiennes au Québec*, vol. 23, n° 4, pp. 23-38.

Chrétien, Yves. 1995. *Le Sylvicole inférieur dans la région de Québec et le dynamisme culturel en périphérie de la sphère d'interaction Meadowood*. Thèse de doctorat, Département d'anthropologie, Université de Montréal.

Clermont, Norman. 1976. « Un site du Sylvicole inférieur à Sillery ». *Recherches Amérindiennes au Québec*, Vol. 6, n° 1, pp. 37-44.

Drouin, Pierre et Mario Savard. 1990. *Les pipes à fumer de Place-Royale*. Collection Patrimoines, Dossiers 67, Les Publications du Québec, 1990.

Dumais, Pierre. 1982. *Inventaire archéologique des bancs d'emprunt 032-002 et 032-004, autoroute 40*. Ethnoscop, Direction des Expertises et Normes, Service de l'Environnement, Division des Études d'Impact.

Dunning, Phil. 2001. *Couverts de table composites de 1700 à 1930*. Études en culture matérielle, Ottawa, Parcs Canada.

- Dyke, A. S. 2004. « An outline of North American deglaciation with emphasis on central and northern Canada ». dans J. Ehlers et P. L. Gibbard (éds.), *Quaternary Glaciations-Extent and Chronology, Part II: North America*, pp. 373-424.
- Fiset, Richard. 1992. *Sondages archéologiques sur le site du Vieux Presbytère de Batiscan en 1991*. La Fondation des Amis du Vieux Presbytère de Batiscan.
- Gagnon, Ghislain. 2022. *Remplacement du tablier du pont de la rivière Batiscan (P-01559) sur la route 138. Projet 154-99-0602. Analyse des risques en archéologie*. Avis archéologique déposé à la Direction de l'Environnement, Ministère des Transports du Québec.
- Gaumont, Michel. 1965. *Notes de terrain manuscrites de 1959 à 1965*. MAC, document inédit.
- Gaumont, Michel. 1990. *Rapport de localisation des vestiges de l'ancienne église de Batiscan et du moulin à vent de 1671*. Direction du patrimoine de Québec et de Chaudière-Appalaches.
- Genêt, Nicole. 1981. *Lachevrotière (Station ferroviaire) : Étude d'ensemble à des fins d'intervention patrimoniale*. Direction générale du patrimoine, Service des études et expertises, document inédit.
- Godbout, Gérard. 1967. *Étude pédologique des comtés de Champlain et de Laviolette*. Division des Sols, Service de la Recherche, ministère de l'Agriculture et de la Colonisation du Québec.
- Groison, Dominique. 1980. *Inventaire archéologique, autoroute 40. Projet 1140-80-196, été 1980*. Ministère des Transports du Québec, Service de l'Environnement, rapport inédit.
- Kovel, Ralph et Terry. 1953. *Kovel's New Dictionary of Marks. Pottery & Porcelain 1850 to the present*. Crown Publishers, New York.
- Jones, Olive R. 1985. *Le glossaire du verre*. Parcs Canada, Environnement Canada.
- Jones, Olive R. 2001. « Un guide pour la datation de la verrerie de table des années 1800 à 1940 » dans *Études en culture matérielle*, Sous la direction de Karlis Karklins, Parcs Canada, 2001, pp.192-208.
- Lévesque, René, F. Osborne et J. Wright. 1964. *Le Gisement de Batiscan. Notes sur des vestiges laissés par une peuplade de culture sylvicole inférieure dans la vallée du Saint-Laurent*.
- Marchand, Violette. 1984. « La Période des bacs (1734-1844 ; c. 1885-1921) » et « Les ponts sur la rivière Batiscan » Dans *Histoire de la paroisse Saint-François-Xavier de Batiscan 1684-1984*, Le Tricentenaire de St-François-Xavier de Batiscan Inc., pp. 218-228, Éditions du Bien Public, Trois-Rivières.
- Marier, Christiane. 1981. *Les menus objets de Place-Royale*. Collection Patrimoines, Dossiers, Patri-Arche Inc.

Martijn, Charles. 1971. Relevé des sites préhistoriques du fleuve St-Laurent entre Montréal et l'Île d'Orléans (Côte-Nord). MAC, rapport inédit, 3 vol.

Massicotte, Jean. 1984. « La période des origines. » Dans *Histoire de la paroisse Saint-François-Xavier de Batiscan 1684-1984*, Le Tricentenaire de St-François-Xavier de Batiscan Inc., Éditions du Bien Public, Trois-Rivières, pp. 218-228.

Ministère des Ressources naturelles et des Forêts. 2016. Classification écologique du territoire québécois, [Jeu de données], dans Données Québec, mis à jour le 21 novembre 2023. [<https://www.donneesquebec.ca/recherche/dataset/systeme-hierarchique-de-classification-ecologique-du-territoire>], (consulté le 18 avril 2024).

Monette, Yves. 2006. *Les productions céramiques du Québec méridional, c. 1680-1890*. BAR International Series 1490, Oxford, Royaume-Uni.

Occhietti, Serge. 1980. *Le quaternaire de la région de Trois-Rivières-Shawinigan, Québec. Contribution à la paléogéographie de la Vallée moyenne du St-Laurent et corrélations stratigraphiques*. Paléo-Québec, no. 10, 218 p.

Parent, Michel et Serge Occhietti. 1988. « Late Wisconsinan Deglaciation and Champlain Sea Invasion in the St. Lawrence Valley, Québec ». *Géographie physique et Quaternaire*, vol. 42, no 3, pp. 215-246.

Picard, Philippe. 1994. *Vestiges du 17^e siècle mis au jour sur le site du moulin à vent de la Pointe Saint-Éloi, à Batiscan*. La Fondation des Amis du Vieux Presbytère de Batiscan.

Poirier, Sylvie, Laurent Jérôme et la Société d'histoire atikamekw (Nehirowisiw Kitci Atisokan). 2014. « Présentation : les Atikamekw Nehirowisiwok : territorialités et savoirs ». *Recherches amérindiennes au Québec*, vol. 44, no. 1, pp. 3-10.

Ribes, René. 1977. *Activités du Groupe de Recherches en Histoire des Religions et en Archéologie préhistorique en 1976, en Mauricie et dans la région de Lotbinière*. Document inédit.

Rocheleau, Claude, 1983. *Surveillance archéologique lors de la construction de la ligne principale du gazoduc entre Trois-Rivières et Québec, activités 1982*. Gazoduc TQM, Environnement.

Société d'aménagement et de mise en valeur du bassin de la Batiscan (SAMBBA). 2015. *Plan directeur de l'eau, Rivière Batiscan*. Zone de gestion intégrée de l'eau Batiscan-Champlain.

Subarctique. 2011. *Inventaires archéologiques (2008)*. Direction de la Mauricie - Centre-du-Québec. Direction générale de Québec et de l'Est, MTQ.

Système d'information géomineire du Québec (SIGEOM). 2022. Carte interactive. https://sigeom.mines.gouv.qc.ca/signet/classes/I1108_afchCarteIntr, page consultée le 10 avril 2024

Somcynsky, Pablo. 1992. *Fouille du site paléohistorique de sépulture Middlesex EbCx-64, sur la rive ouest de la rivière Mingan. Les dépressions C, F et G.* MAC, rapport inédit.

Taché, Karine. 2011. *Structure and Regional Diversity of the Meadowood Interaction Sphere.* Thèse déposée à l'Université du Michigan, Museum of Anthropology, Ann Arbor.

Truelle et Cie Inc. 2024. *Interventions archéologiques (Printemps-été 2022). Projet d'assainissement des eaux de la municipalité de Saint-Pierre-les-Becquets.* Rapport déposé à la municipalité de Saint-Pierre-les-Becquets.

Wintemberg, William J. 1927. *Notes archéologiques.* Musée nation de l'Homme, Ottawa, document inédit.

Woodhead, E.I., Sullivan, C. et C. Gusset. 1984. « Appareils d'éclairage. » Collection de référence nationale, Parcs Canada, Ottawa.

ANNEXE 1 : INVENTAIRE DES ARTÉFACTS

No sondage	Lot	No Matériau	Matériau	Objet	Intégrité	Nb Artéfacts	Nb Objets	No Fonction	Fonction	Inscription	Datation	Commentaire	Date saisie
GPS-004	Couche 1	1.1.2.71	TCF blanche vitrifiée	Contenant	F	1	1	4	Consommation			Un fragment de corps d'un contenant en TCFBV sans décor ou inscription visible. Datation: Production TCFBV, 1840c.+ environ.	07-02-2024
GPS-005	Couche 1	1.1.1.33	TCG locale glaçure inc	Bol ou terrine	F	1	1	4.1	Alimentation			Un petit fragment de rebord et corps d'un bol ou terrine en TCG locale à la pâte rose orangé avec inclusions variées. Une glaçure d'aspect orangé et brunâtre est présente sur le rebord et la paroi intérieure. La paroi extérieure est cassée. Les lignes de tournage sont visibles. Datation: Production locale, gros de la fabrication 1760-1850 environ. (Brassard, Michel & Leclerc, Myriam. Identifier la céramique et le verre anciens au Québec, Cahiers d'archéologie du CELAT, No12, Université Laval, Québec, 2001, p.37-42. Monette, Yves. Les productions céramiques du Québec méridional, c. 1680-1890. BAR International Series 1490, Oxford, Royaume-Uni, 2006).	07-02-2024
GPS-005	Couche 1	1.1.2.31	Creamware	Assiette creuse?	F	1	1	4.1.3.3	Alimentation, vaisselle de table			Un petit fragment de rebord et corps d'une possible assiette creuse en CW à la pâte blanc-chamois avec une glaçure crème pâle sur les deux parois. Un décor moulé est présent sur le pourtour intérieur du mari. Datation: Production CW, 1762-1830 environ.	07-02-2024
GPS-005	Couche 1	2.2.1.1	Verre teinté vert	Vitre	F	2	2	4.7.1.1	Matériaux de base - vitre			Deux minis fragments de verre à vitre avec une teinte légèrement verdâtre.	07-02-2024
GPS-005	Couche 1	2.2.1.3	Verre teinté turquoise	Contenant	F	1	1	4	Consommation			Un petit fragment de corps d'un contenant en verre teinté turquoise. Aucun décor ou inscription visible.	07-02-2024
GPS-007	Indéterminée	2.2.1.1	Verre teinté vert	Vitre	F	1	1	4.7.1.1	Matériaux de base - vitre			Un petit fragment de verre à vitre avec une teinte vert bleuté assez soutenue.	07-02-2024
GPS-007	Couche 1	1.1.2.31	Creamware	Contenant	F	1	1	4	Consommation			Un mini fragment de rebord d'un contenant en CW à la pâte blanc-chamois avec une glaçure crème sur les deux parois. Aucun décor ou inscription visible. Le fragment est très altéré. Datation: Production CW, 1762-1830 environ.	07-02-2024
GPS-007	Couche 1	1.2.1.91	GG Bristol	Contenant	F	1	1	4	Consommation			Un mini fragment de corps d'un contenant en GG, possiblement de type Bristol, à la pâte chamois. Une glaçure feldspathique beige grisâtre est présente sur les deux parois. Aucun décor ou inscription visible. Datation: Production à partir de 1835 jusqu'au début 20 ^e siècle environ.	07-02-2024
GPS-012	Couche 1	1.1.1.33	TCG locale glaçure inc	Bol ou terrine?	F	1	1	4.1	Alimentation			Un mini fragment de corps d'un possible bol ou terrine en TCG locale à la pâte rosâtre avec inclusions variées. Une glaçure d'aspect brunâtre est présente sur la paroi intérieure. Les lignes de tournage sont visibles. Datation: Production locale, gros de la fabrication 1760-1850 environ. (Brassard, Michel & Leclerc, Myriam. Identifier la céramique et le verre anciens au Québec, Cahiers d'archéologie du CELAT, No12, Université Laval, Québec, 2001, p.37-42. Monette, Yves. Les productions céramiques du Québec méridional, c. 1680-1890. BAR International Series 1490, Oxford, Royaume-Uni, 2006).	08-02-2024
GPS-013	Indéterminée	1.1.2.41	TCF argileuse blanche	Pipe	F	1	1	4.2.2	Tabac			Un mini fragment d'un fourneau de pipe en TCFAB sans décor ou inscription visible.	08-02-2024
GPS-017	Indéterminée	1.1.1.33	TCG locale glaçure inc	Bol ou terrine?	F	1	1	4.1	Alimentation			Un petit fragment de corps d'un possible bol ou terrine en TCG locale à la pâte rose orangé avec inclusions variées. Une glaçure d'aspect brunâtre avec petites taches orangées est présente sur la paroi extérieure. La paroi intérieure est cassée. Datation: Production locale, gros de la fabrication 1760-1850 environ. (Brassard, Michel & Leclerc, Myriam. Identifier la céramique et le verre anciens au Québec, Cahiers d'archéologie du CELAT, No12, Université Laval, Québec, 2001, p.37-42. Monette, Yves. Les productions céramiques du Québec méridional, c. 1680-1890. BAR International Series 1490, Oxford, Royaume-Uni, 2006).	08-02-2024
GPS-017	Indéterminée	5.1.1	Os	Ossement	F	1	1	6.1.1	Animaux sauf mollusques			Un mini fragment d'un os d'animal blanchi.	08-02-2024

No sondage	Lot	No Matériau	Matériau	Objet	Intégrité	Nb Artéfacts	Nb Objets	No Fonction	Fonction	Inscription	Datation	Commentaire	Date saisie
GPS-018	Couche 2	1.1.1.33	TCG locale glaçure inc	Bol ou terrine?	F	1	1	4.1	Alimentation			Un mini fragment de corps d'un possible bol ou terrine en TCG locale à la pâte rosâtre avec inclusions variées. Une glaçure d'aspect jaune orangé est présente sur la paroi intérieure. La paroi extérieure est cassée. Datation: Production locale, gros de la fabrication 1760-1850 environ. (Brassard, Michel & Leclerc, Myriam. Identifier la céramique et le verre anciens au Québec, Cahiers d'archéologie du CELAT, No12, Université Laval, Québec, 2001, p.37-42. Monette, Yves. Les productions céramiques du Québec méridional, c. 1680-1890. BAR International Series 1490, Oxford, Royaume-Uni, 2006).	08-02-2024
GPS-018	Couche 2	1.1.2.1	Faïence blanche	Assiette?	F	1	1	4.1.3.3	Alimentation, vaisselle de table			Un petit fragment de rebord d'un contenant en faïence blanche à la pâte rosâtre avec un émail blanc sur le rebord et la paroi intérieure. Un décor géométrique est peint en bleu cobalt sous le rebord intérieur. La paroi extérieure est cassée. Datation: Faïence de provenance française dans le style de Moustiers avec un décor de type Provence Blue on White. Début de la production à Moustier en 1679 jusqu'en 1874 environ. La grande popularité de la faïence française en Amérique coloniale se situe entre 1700 et 1760 environ. (Brassard, Michel & Leclerc, Myriam. Identifier la céramique et le verre anciens au Québec, Cahiers d'archéologie du CELAT, No12, Université Laval, Québec, 2001, p.59-61. Bernier, Maggy. Caractérisation typologique, microscopique et chimique des faïences du XVIIIe siècle..., Cahiers d'archéologie du CELAT, No14, Série archéométrie No4, Université Laval, Québec, 2003, p.42, pl.54-pl.58).	08-02-2024
GPS-018	Couche 2	2.3.1.1	V Coul transp vert foncé	Bouteille à boisson alcoolisée	F	1	1	4.2.1.2	Boissons, conservation/entréposage			Un fragment de corps d'une bouteille à boisson alcoolisée en verre vert foncé avec beaucoup de bulles d'air. Aucun décor ou inscription visible.	08-02-2024
GPS-021	Couche 1	1.1.2.31	Creamware	Contenant	F	2	1	4	Consommation			Deux minis fragments de corps d'un contenant en CW à la pâte blanc-chamois avec une glaçure crème sur la paroi intérieure. La paroi extérieure est cassée. Aucun décor ou inscription visible. Datation: Production CW, 1762-1830 environ.	08-02-2024
GPS-022	Couche 1	1.1.1.33	TCG locale glaçure inc	Bol ou terrine?	F	1	1	4.1	Alimentation			Un petit fragment de corps d'un possible bol ou terrine en TCG locale à la pâte rose orangé avec inclusions variées. La paroi extérieure a des traces de lissage mais elle est altérée. La paroi intérieure est cassée. Datation: Production locale, gros de la fabrication 1760-1850 environ. (Brassard, Michel & Leclerc, Myriam. Identifier la céramique et le verre anciens au Québec, Cahiers d'archéologie du CELAT, No12, Université Laval, Québec, 2001, p.37-42. Monette, Yves. Les productions céramiques du Québec méridional, c. 1680-1890. BAR International Series 1490, Oxford, Royaume-Uni, 2006).	08-02-2024
GPS-022	Couche 1	3.2	Matériaux superposés	Tube	C	1	1	4	Consommation	Oui		Un petit tube ogivale en fer. La paroi extérieure est recouverte d'un émail ou peinture brunâtre avec des petites taches de corrosion verdâtre. Le haut du tube est fermé et arrondi. Le bas est fermé par un bouchon en fer, possiblement fileté et vissé en place. Sur le culot du bouchon, il y a des inscriptions difficile à lire: " [...] PRODUCTS CORP. / DIST. NY MADE IN USA ". Possiblement qu'il y a quelque chose au centre. Le tube ne s'ouvre pas dû à la corrosion mais il y a quelque chose à l'intérieur. Hauteur: 5,7cm; diamètre: 1,7cm. Il pourrait s'agir d'un produit cosmétique comme un rouge à lèvres? La compagnie exacte n'est pas visible.	08-02-2024
GPS-022	Couche 1	4.3.2	Mortier	Crépi	F	1	1	4.7.1.3	Matériaux de liaison			Un petit fragment de mortier de couleur chamois avec de grosses inclusions variées. Objet élagué, 08-02-2024, JT.	08-02-2024
GPS-033	Couche 2	1.1.2.61	TCF blanche	Contenant	F	4	2	4	Consommation			Quatre fragments de contenants en TCFB sans décor ou inscription visible. Trois fragments sont altérés. Datation: Production TCFB, 1820c.+ environ.	12-02-2024
GPS-033	Couche 2	1.2.1.992	GG glaçure saline et feld-général	Jarre?	F	1	1	4.1.5	Alimentation, entreposage des aliments			Un petit fragment de corps d'une possible jarre en GG nord-américain. La pâte est chamois rosâtre avec des inclusions noires et variées. Les deux parois ont une glaçure d'aspect grisâtre, à l'intérieur semble être une glaçure saline et à l'extérieur une glaçure feldspathique. Datation: Ces productions de GG nord-américain se retrouvent régulièrement sur les sites archéologiques du 19e siècle. (Brassard, Michel & Leclerc, Myriam. Identifier la céramique et le verre anciens au Québec, Cahiers d'archéologie du CELAT, No12, Université Laval, Québec, 2001, p.106).	12-02-2024

No sondage	Lot	No Matériau	Matériau	Objet	Intégrité	Nb Artéfacts	Nb Objets	No Fonction	Fonction	Inscription	Datation	Commentaire	Date saisie
GPS-033	Couche 2	1.3.2.11	PF dure orientale	Soucoupe	C	2	1	4.1.3.3	Alimentation, vaisselle de table	Oui		Deux fragments qui recollent d'une soucoupe complète en porcelaine fine orientale translucide avec un décor floral et végétal peint en rosâtre, verdâtre et jaunâtre sur glaçure incolore de la paroi intérieure. Une ligne de dorure est aussi présente sous le rebord de la paroi intérieure. Présence d'un pied annulaire et d'une inscription en creux sous la base: dans un cartouche circulaire, " MADE IN JAPAN ". Diamètre rebord: 15cm; diamètre pied: 7,7cm; hauteur: 2,6cm. Cette soucoupe forme un ensemble avec la tasse suivante. Datation: En Angleterre, la loi a ordonné le marquage avec l'inscription "Made in..." à compter de 1887. La date pourrait être semblable pour l'importation en Amérique du Nord. (Kovel, Ralph & Terry. <i>Kovel's New Dictionary of Marks. Pottery & Porcelain 1850 to the present</i> , Crown Publishers, New York, 1953, p.231).	12-02-2024
GPS-033	Couche 2	1.3.2.11	PF dure orientale	Tasse	I	1	1	4.1.3.3	Alimentation, vaisselle de table			Un fragment d'une tasse incomplète en porcelaine fine orientale translucide avec un décor floral et végétal peint en rosâtre, verdâtre, jaunâtre et dorure sur glaçure incolore de la paroi extérieure. Une bande jaunâtre et une ligne de dorure sont aussi présentes sous le rebord de la paroi extérieure. L'anse et la base sont manquantes. Diamètre rebord: 15cm. Cette tasse forme un ensemble avec la soucoupe précédente. Datation: Voir la soucoupe précédente.	12-02-2024
GPS-033	Couche 2	2.1	Verre incolore	Bouteille à médicament	C	1	1	4.3	Médication	Oui		Une petite bouteille à médicament complète en verre incolore. Elle est de forme cylindrique, fabriquée dans un moule en deux parties. L'épaulement est presque horizontale et le col est cylindrique. La lèvre de type pharmaceutique a été ajoutée et façonnée à la pince de finition. La base ajoutée a un point d'appui plat et un cul légèrement concave avec des inscriptions en relief: " W T & CO / 40[3] ". Diamètre lèvre: 2,1cm; diamètre goulot: 1,2cm; diamètre base: 3,6cm; hauteur: 7,8cm. Datation: Cette inscription est reliée au fabricant de bouteilles (surtout pharmaceutiques) et pots à conserve, Whitall Tatum & Company située à Millville au New Jersey (1857-1938 environ). La marque W.T. & CO aurait été utilisée entre c.1875 et c.1901 environ . Dates générales de l'utilisation de la pince à finition entre les années 1820 aux années 1920 environ. Soufflée dans un moule en deux parties avec base séparée possiblement datée entre 1850 et 1920 environ. (Jones, Olive & Ass. Le glossaire du verre, Parcs Canada, Environnement Canada, 1985, pp.31-32). https://glassbottlemarks.com/bottlemarks-5/ https://glassbottlemarks.com/whitall-tatum-glass-company/	14-02-2024
GPS-033	Couche 2	2.1	Verre incolore	Bouteille?	F	2	1	4	Consommation			Deux fragment de corps d'une possible bouteille en verre incolore avec trace de moule. Aucun décor ou inscription visible.	14-02-2024
GPS-033	Couche 2	2.2.1.1	Verre teinté vert	Vitre	F	1	1	4.7.1.1	Matériaux de base - vitre			Un petit fragment de verre à vitre avec une teinte légèrement verdâtre.	14-02-2024
GPS-033	Couche 2	2.2.1.4	Verre teinté rose	Contenant	F	1	1	4	Consommation			Un mini fragment de corps d'un contenant en verre teinté rose. Un décor de cannelures, en verre pressé, est visible sur la paroi extérieure. Datation: La technique de la verrerie pressée date majoritairement du 19e siècle et du début 20e siècle. (Jones, Olive R. "Un guide pour la datation de la verrerie de table des années 1800 à 1940" dans <i>Études en culture matérielle</i> , Sous la direction de Karlis Karklins, Parcs Canada, 2001, pp.192-208).	14-02-2024
GPS-033	Couche 2	3.1.1.1	Fer ind	Couvercle	I	3	1	4	Consommation			Trois fragments d'une moitié de couvercle circulaire en fer. Le dessus est plat et les côtés sont droits. Il y a un filetage sur la paroi intérieure. Beaucoup de corrosion et métal friable. Aucun décor ou inscription visible. Diamètre: 8cm environ; hauteur: 1,9cm environ. Objet élagué, 14-02-2024, JT.	14-02-2024
GPS-033	Couche 2	3.1.1.11	Fer forgé	Clou forgé	C	1	1	4.7.2.3	Fixations – clous			Un gros clou forgé complet au corps et tête relativement carrés. La tête pourrait être légèrement en rosette. La pointe est aplatie sur deux faces. Beaucoup de corrosion présente. Longueur max: 20,2cm environ. Datation: En général, production avant 1790 environ.	14-02-2024
GPS-033	Couche 2	5.1.1	Os	Ossement	F	1	1	6.1.1	Animaux sauf mollusques			Un mini fragment d'un os d'animal blanchi.	14-02-2024
GPS-034	Couche 2	1.1.1.3	TCG sans glaçure	Brique	F	3	1	4.7.1.4	Matériaux de revêtement			Trois minis fragments d'une brique en TCG à la pâte rose orangé avec inclusions variées et petites vésicules. Objet élagué, 14-02-2024, JT.	14-02-2024

No sondage	Lot	No Matériau	Matériau	Objet	Intégrité	Nb Artéfacts	Nb Objets	No Fonction	Fonction	Inscription	Datation	Commentaire	Date saisie
GPS-034	Couche 2	1.1.2.61	TCF blanche	Contenant	F	1	1	4	Consommation			Un petit fragment de la base d'un contenant en TCFB avec petit pied annulaire. Aucun décor ou inscription visible. Datation: Production TCFB, 1820c.+ environ.	14-02-2024
GPS-034	Couche 2	2.2.1.1	Verre teinté vert	Vitre	F	1	1	4.7.1.1	Matériaux de base - vitre			Un petit fragment de verre à vitre avec une teinte légèrement verdâtre.	14-02-2024
GPS-034	Couche 2	2.3.1.10	V C transp brun	Contenant	F	1	1	4	Consommation			Un petit fragment de corps d'un contenant en verre brun avec trace de moule. Aucun décor ou inscription visible.	14-02-2024
GPS-034	Couche 3	1.1.1.3	TCG sans glaçure	Brique	F	1	1	4.7.1.4	Matériaux de revêtement			Une petit fragment de brique en TCG à la pâte orangée avec inclusions variées et petites vésicules. Objet élagué, 14-02-2024, JT.	14-02-2024
GPS-034	Couche 3	1.1.2.61	TCF blanche	Contenant	F	2	1	4	Consommation			Deux petits fragments appartenant peut-être au même contenant en TCFB sans décor ou inscription visible. Datation: Production TCFB, 1820c.+ environ.	14-02-2024
GPS-034	Couche 3	3.1.1.11	Fer forgé	Clou forgé	C	1	1	4.7.2.3	Fixations – clous			Un clou forgé complet au corps relativement carré. La tête est légèrement arrondie et possiblement aplatie. La pointe est aplatie sur deux faces. Beaucoup de corrosion est présente. Longueur max: 13,3cm environ. Datation: En général, production avant 1790 environ.	14-02-2024
GPS-061	Couche 2	1.1.1.3	TCG sans glaçure	Brique	F	1	1	4.7.1.4	Matériaux de revêtement			Une petit fragment de brique en TCG à la pâte rose orangé avec inclusions variées et petites vésicules. Objet élagué, 14-02-2024, JT.	14-02-2024
GPS-061	Couche 2	1.1.2.1	Faïence blanche	Contenant	F	1	1	4	Consommation			Un fragment de corps d'un contenant en faïence blanche à la pâte chamois avec un émail blanchâtre sur les deux parois. Une petite partie d'un décor peint en bleu est visible sur la paroi extérieure. Datation: Difficile de déterminer la provenance de ces faïences.	14-02-2024
GPS-061	Couche 2	1.1.2.61	TCF blanche	Assiette	F	2	1	4.1.3.3	Alimentation, vaisselle de table			Deux petits fragments de rebord et corps d'une assiette en TCFB. Le rebord est ondulé avec un décor sinueux moulé sur le pourtour intérieur du rebord et un décalque d'un décor végétal imprimé est visible sur le marli. Datation: Production TCFB, 1820c.+ environ.	14-02-2024
GPS-061	Couche 2	2.1	Verre incolore	Bouteille à parfum?	F	1	1	4.5.3	Soins de beauté			Un fragment d'une possible bouteille à parfum en verre incolore. L'extrémité est de type compte-gouttes avec traces de moule en deux parties avec une marque horizontale entre le col et l'extrémité. La lèvre est filetée et la bague droite est très large. Le col est presque inexistant avec un collet sur épaule possiblement horizontale. Aucun décor ou inscription visible. Diamètre lèvre max: 1,4cm; diamètre bague: 1,8cm; diamètre goulot: 0,6cm; diamètre col: 1,5cm environ. Datation: Fabrication à la machine avec marque col/extrémité dernier quart du 19e siècle à la 1ère moitié du 20e siècle environ.	14-02-2024
GPS-061	Couche 2	2.1	Verre incolore	Bouteille à parfum?	F	1	1	4.5.3	Soins de beauté			Un fragment de la base et corps d'une possible bouteille à parfum en verre incolore. Le corps est cylindrique avec un décor de légères cannelures verticales est présent sur la paroi intérieure de la bouteille. La base a un point d'appui arrondi et un cul légèrement concave avec un décor étoilé moulé en relief et une trace de piston circulaire est visible. Diamètre base: 2,9cm. Datation: Possiblement soufflée dans un moule à effets optiques, technique utilisée depuis au moins le 18e siècle jusqu'à nos jours, car il est revenu en vogue à la fin du 19e siècle et au début du 20e siècle. (Jones, Olive & Ass. Le glossaire du verre, Parcs Canada, Environnement Canada, 1985, pp.35-36).	14-02-2024
GPS-061	Couche 2	2.1	Verre incolore	Bouteille	F	1	1	4	Consommation			Un fragment de l'extrémité d'une bouteille en verre incolore. Elle a été fabriquée à la machine avec traces de moule en deux parties avec une marque horizontale entre le col et l'extrémité. La lèvre est filetée et la bague est arrondie. Le col est cylindrique et court. L'épaule est arrondie avec un décor de cannelures verticales moulées. Diamètre lèvre max: 2,7cm; diamètre bague: 2,9cm; diamètre goulot: 1,9cm; diamètre col: 2,6cm. Datation: Fabrication à la machine avec marque col/extrémité dernier quart du 19e siècle à la 1ère moitié du 20e siècle environ.	14-02-2024
GPS-061	Couche 2	2.1	Verre incolore	Contenant?	F	1	1	4	Consommation			Un petit fragment de corps d'un possible contenant en verre incolore avec un décor floral peint en verdâtre et pêche sur la paroi extérieure. Les couleurs sont opaques et un peu altérées.	14-02-2024
GPS-061	Couche 2	2.2.1.3	Verre teinté turquoise	Bouteille	F	1	1	4	Consommation			Un fragment de col et épaule d'une bouteille en verre teinté turquoise. Elle a été fabriquée à la machine avec traces de moule en deux parties et marques fantômes sur le corps laissées par le moule-ébauche. Aucun décor ou inscription visible. Datation: Fabrication à la machine avec marque col/extrémité dernier quart du 19e siècle à la 1ère moitié du 20e siècle environ.	14-02-2024

No sondage	Lot	No Matériau	Matériau	Objet	Intégrité	Nb Artéfacts	Nb Objets	No Fonction	Fonction	Inscription	Datation	Commentaire	Date saisie
GPS-061	Couche 2	2.3.1.5	V Coul transp bleu	Contenant	F	1	1	4	Consommation			Un petit fragment de corps d'un contenant en verre bleu. Aucun décor ou inscription visible.	14-02-2024
GPS-061	Couche 2	2.3.1.10	V C transp brun	Contenant	F	1	1	4	Consommation			Un fragment de l'extrémité d'une bouteille en verre brun. Elle a été fabriquée à la machine avec traces de moule en deux parties avec une marque horizontale entre le col et l'extrémité. La lèvre est filetée et la bague est droite. Le col est cylindrique et court. Aucun décor ou inscription visible. Diamètre lèvre max: 2,6cm; diamètre bague: 3,1cm; diamètre goulot: 1,7cm; diamètre col: 2,8cm. Datation: Fabrication à la machine avec marque col/extrémité dernier quart du 19e siècle à la 1ère moitié du 20e siècle environ.	14-02-2024
GPS-061	Couche 2	2.3.1.13	verre coul transp autre	Contenant	F	1	1	4	Consommation			Un petit fragment de corps d'un contenant en verre turquoise, sans décor ou inscription visible.	14-02-2024
GPS-061	Couche 2	3.1.1.13	Fer tréfilé	Clou tréfilé	I	1	1	4.7.2.3	Fixations – clous			Un fragment d'un gros clou tréfilé incomplet au corps circulaire. La tête est manquante et la pointe est effilée. Beaucoup de corrosion présente. Longueur résiduelle: 16,1cm environ. Datation: En général, production après 1890 environ. Objet élagué le 14-02-2024, JT.	14-02-2024
GPS-061	Couche 2	3.1.2	Métaux et alliages cuivreux	Plaque	C	1	1	4	Consommation			Une petite plaque rectangulaire découpée dans une feuille en métal cuivreux. Certains coins sont repliés et des trous de fixation sont présents. Aucun décor ou inscription visible. Longueur max: 7cm environ; largeur: 6,5cm environ; épaisseur: 0,01cm.	14-02-2024
GPS-061	Couche 2	5.1.1	Os	Ossement	F	2	2	6.1.1.1	Mammifères			Deux fragments d'os de mammifères avec traces de découpe.	14-02-2024
GPS-061	Couche 2	5.5.7	Cuir	Semelle de chaussure	I	2	2	4.4.3	Chaussures			Deux fragments de semelles en cuir appartenant possiblement à deux chaussures distinctes. Une petite semelle du pied gauche, possiblement une chaussure d'un enfant; elle est en cuir très dur, ça ressemble presque à une matière plastique; le bout est large et arrondi; des trous de coutures simples sont visibles sur tout le pourtour de la semelle; aucun ourlet (Longueur semelle max: 17,5cm; largeur semelle entre 5cm et 7,2cm). Un fragment de la partie avant d'une semelle assez étroite et à bout arrondi; la semelle semble à double épaisseur et elle est renforcée en son centre; les trous de couture simples sont visibles sur le pourtour et au niveau du renfort (Longueur semelle résiduelle: 13cm environ; largeur semelle entre 6,5cm et 7,5cm environ). Datation: Ces chaussures pourraient provenir du 19e siècle ou du début 20e siècle. (Marier, Christiane. <i>Les menus objets de Place-Royale</i> , Collection Patrimoines, Dossiers, Patri-Arche Inc., 1981, pp.10-99).	19-02-2024
GPS-062	Couche 2	1.1.1.33	TCG locale glaçure inc	Bol ou terrine?	F	1	1	4.1	Alimentation			Un mini fragment de corps d'un possible bol ou terrine en TCG locale à la pâte rose orangé avec inclusions variées. Une glaçure d'aspect brunâtre est présente sur la paroi intérieure. La paroi extérieure est cassée. Datation: Production locale, gros de la fabrication 1760-1850 environ. (Brassard, Michel & Leclerc, Myriam. Identifier la céramique et le verre anciens au Québec, Cahiers d'archéologie du CELAT, No12, Université Laval, Québec, 2001, p.37-42. Monette, Yves. Les productions céramiques du Québec méridional, c. 1680-1890. BAR International Series 1490, Oxford, Royaume-Uni, 2006).	19-02-2024
GPS-062	Couche 2	1.1.2.61	TCF blanche	Contenant	F	1	1	4	Consommation			Un petit fragment de corps d'un contenant en TCFB. La paroi extérieure mince avec une glaçure incolore d'aspect blanchâtre sur la paroi intérieure. La paroi extérieure a un fond mat de couleur brunâtre avec un floral moulé en relief et rehaussé de rosâtre, blanc, vert, bleu et dorure. Pourrait-il s'agir d'un creamware très pâle? Datation: Production TCFB, 1820c.+ environ.	19-02-2024
GPS-062	Couche 2	1.1.2.114	TCF Chamois	Théière?	F	1	1	4.1.3.4	Alimentation, vaisselle de service			Un fragment de la base d'une possible théière en TCF à la pâte chamois. Une glaçure brune foncée inégale de type "Rockingham" est présente sur les deux parois. La base est légèrement concave avec six petits pieds ovales sur le pourtour de la base. Diamètre base: 6,5cm environ. Datation: Usage courant à partir de la seconde moitié 19e siècle jusque dans les années 1930, apogée vers 1890. Pourrait provenir de production anglaise, début 19e siècle jusqu'aux années 1930; ou de production États-Unienne début vers 1830; ou de production ontarienne début à la fin 1850; ou de manufactures québécoises dont Cap-Rouge à partir de 1860.	19-02-2024

No sondage	Lot	No Matériau	Matériau	Objet	Intégrité	Nb Artéfacts	Nb Objets	No Fonction	Fonction	Inscription	Datation	Commentaire	Date saisie
GPS-062	Couche 2	1.3.2	PF dure	Contenant	F	1	1	4	Consommation			Un mini fragment de corps et rebord d'un contenant en porcelaine fine sans décor ou inscription visible.	19-02-2024
GPS-062	Couche 2	2.1	Verre incolore	Bouteille à médicament	F	1	1	5.3	Médication	Oui		Un fragment de base d'une bouteille à médicament ovale en verre incolore. Traces de moule en deux parties. Sur une face du corps, il y a une échelle graduée et une inscription partielle et verticale en relief: sur un côté de l'échelle, " [...] "; sur l'autre côté de l'échelle, " PO[...] ". La base a un point d'appui arrondi et le cul est légèrement en retrait avec la marque laissée par le procédé Owens et des inscriptions partielles en relief: " 2 / un triangle ". Datation: Habituellement, l'inscription avec un triangle est associée à la marque de la Consumers Glass Company à Ville St-Pierre, Montréal (1917-2002). Fabrication avec la machine Owens à partir de 1904 jusqu'en 1940-50 environ. Donc, possiblement fabriquée entre 1917 et 1940-50 environ.	19-02-2024
GPS-062	Couche 2	2.1	Verre incolore	Pot?	F	1	1	4.1.4	Alimentation, conservation			Un fragment de l'ouverture d'un possible pot en verre incolore. Il a été fabriqué à la machine avec traces de moule en deux parties et une marque horizontale entre col et extrémité. L'ouverture est large, la lèvre est filetée et la bague arrondie. Le col est très court. L'épaule est arrondie avec un décor gaufré. Aucune inscription visible. Diamètre lèvre max: 4,6cm; diamètre bague: 4,8cm; diamètre goulot: 3,9cm; diamètre col: 4,3cm. Datation: Fabrication à la machine avec marque col/extrémité 1869 au début 20e siècle probablement.	19-02-2024
GPS-062	Couche 2	2.3.1.1	V Coul transp vert foncé	Bouteille à boisson alcoolisée	F	1	1	4.2.1.2	Boissons, conservation/entréposage			Un fragment de base et corps d'une bouteille à boisson alcoolisée ovale en verre vert foncé. Traces de moule en deux parties. Sur une face du bas du corps, il y a une inscription en relief: " 7. ". La base a un point d'appui arrondi et le cul est légèrement en retrait avec la marque laissée par le procédé Owens et une inscription partielle en relief: " un diamant ". Datation: Habituellement, l'inscription avec un diamant est la marque de la Dominion Glass Company située à Pointe St-Charles (Mtl), en activité d'environ 1928 à 1976. Fabrication avec la machine Owens à partir de 1904 jusqu'en 1940-50 environ. Donc, possiblement fabriquée entre 1928 et 1940-50 environ.	19-02-2024
GPS-062	Couche 2	2.3.1.5	V Coul transp bleu	Bouteille à médicament	E	1	1	5.3	Médication	Oui		Une bouteille à médicament cylindrique en verre bleu fabriquée à la machine avec traces de moule en deux parties et une marque horizontale entre col et extrémité. Un bouchon métallique est vissé en place sur la lèvre filetée. La hauteur de la lèvre est peu profonde. Bague arrondie et col très court. Sur le pourtour du bas du corps, une inscription en relief: " BROMO-SELTZER FOR HEADACHES ". La base a un point d'appui plat et le cul est légèrement concave avec des inscriptions en relief: " [9] / un diamant avec un D ". Diamètre bouchon max: 3,2cm; diamètre bague: 3cm; diamètre col: 2,5cm; diamètre corps: 4cm; diamètre base: 3,6cm; hauteur max: 10,5cm. Datation: L'inscription d'un D dans un diamant est la marque de la Dominion Glass Company située à Pointe St-Charles (Mtl), en activité d'environ 1928 à 1976. Fabrication à la machine avec marque col/extrémité 1869 à la première moitié du 20e siècle probablement. Donc, a probablement été fabriquée entre 1928 et 1940-50 environ. https://sha.org/bottle/pdffiles/Bromo-Seltzer.pdf	19-02-2024
GPS-062	Couche 2	2.3.1.5	V Coul transp bleu	Bouteille à médicament?	F	2	1	5.3	Médication	Oui		Deux petits fragments de corps qui recollent d'une possible bouteille à médicament en verre bleu. Une inscription très partielle en relief et illisible est présente sur le corps.	19-02-2024

No sondage	Lot	No Matériau	Matériau	Objet	Intégrité	Nb Artéfacts	Nb Objets	No Fonction	Fonction	Inscription	Datation	Commentaire	Date saisie
GPS-062	Couche 2	2.3.1.10	V C transp brun	Bouteille à médicament	C	1	1	5.3	Médication	Oui		Une bouteille à médicament rectangulaire en verre brun fabriquée à la machine avec traces de moule en deux parties diagonales et une marque horizontale entre col et extrémité. La lèvre, en partie manquante, est filetée et la bague est arrondie. Le col est court. La base a un point d'appui arrondi et le cul est légèrement en retrait avec des inscriptions en relief: " un diamant avec un D / 4106 ". Diamètre lèvre max: 2cm; diamètre bague: 2,2cm; diamètre col: 2cm; diamètre goulot: 1,4cm; longueur base: 4cm; largeur base: 2,5cm; hauteur max: 9,1cm. Datation: L'inscription d'un D dans un diamant est la marque de la Dominion Glass Company située à Pointe St-Charles (Mtl), en activité d'environ 1928 à 1976. Fabrication à la machine avec marque col/extrémité 1869 à la première moitié du 20e siècle probablement. Donc, a probablement été fabriquée entre 1928 et 1940-50 environ .	19-02-2024
GPS-062	Couche 2	2.3.1.13	V Coul transp autre	Bouteille à gin	F	1	1	4.2.1.2	Boissons, conservation/entréposage			Un fragment d'extrémité et corps d'une bouteille à gin en verre vert 7-Up fabriquée à la machine avec traces de moule en deux parties et une marque horizontale entre col et extrémité. La lèvre est filetée et la bague est droite. Le col est court. Un décor de petites lignes verticales est visible sur une paroi du corps. Datation: Fabrication à la machine avec marque col/extrémité 1869 à la première moitié du 20e siècle probablement.	19-02-2024
GPS-062	Couche 2	3.1.1.13	Fer tréfilé	Clou tréfilé	C	3	3	4.7.2.3	Fixations – clous			Trois clous tréfilés complets au corps et têtes circulaires. Les pointes sont effilées. Corrosion présente. Longueurs entre 13,4cm et 21,1cm environ. Datation: En général, production après 1890 environ. Objets élagués le 19-02-2024, JT.	19-02-2024
GPS-062	Couche 2	3.1.2	Métaux et alliages cuivreux	Languette	C	1	1	1.9	Électricité			Une petite languette rectangulaire découpée dans une feuille en métal cuivreux. Quatre petits trous de fixation sont présents ainsi que trois petites dentures sur un côté de la languette. Aucun décor ou inscription visible. Longueur max: 7,5cm; largeur max: 0,8cm environ; épaisseur: 0,01cm. Possiblement un objet relié à une fonction électrique.	19-02-2024
GPS-062	Couche 2	3.1.2	Métaux et alliages cuivreux	Tige	C	1	1	1.9	Électricité			Une petite tige de section circulaire en métal cuivreux. Les deux extrémités sont repliés pour former un genre de crochet. Longueur max: 6,4cm environ; largeur max: 2,9cm environ; diamètre: 0,15cm. Possiblement un objet relié à une fonction électrique.	19-02-2024
GPS-062	Couche 2	5.1.1	Os	Ossement	F	11	11	6.1.1.1	Mammifères			Deux fragments d'os de mammifères dont 5 avec traces de découpe.	19-02-2024
GPS-062	Couche 2	5.1.4	Coquille	Huître	C	1	1	6.1.2	Mollusques			Une demie coquille d'huître. Des traces de corrosion verdâtre sont présentes sur la coquille.	19-02-2024
GPS-062	Couche 2	5.1.5	Nacre	Bouton	C	1	1	4.4.2	Attaches			Un petit bouton circulaire en nacre à 2 trous de fixation. La face semble plutôt concave au niveau des 2 trous de fixation. Le dos semble légèrement convexe. Le bouton est un peu altéré, surtout sur le pourtour. Diamètre max: 0,9cm environ; épaisseur max: 0,1cm environ. Datation: Possiblement 19e siècle ou début 20e siècle. (Marier, Christiane. <i>Les menus objets de Place-Royale</i> , Les publications du Québec, Collection Patrimoines, Dossiers, Patri-Arche Inc., 1981, Figure 59, pp.162-166).	19-02-2024
GPS-062	Couche 2	5.1.7	Graphite	Électrode	C	1	1	1.9	Électricité			Une petite électrode cylindrique moulée en graphite noir grisâtre aux deux extrémités qui se terminent droites. Une extrémité a de la corrosion verdâtre. Diamètre max: 0,7cm; longueur max: 5,8cm. Datation: Les électrodes sont utilisées dans les lampes à arc, mais celle-ci n'a peut-être pas été utilisées pour cette fonction? Majoritairement pour l'éclairage des rues et places publiques des grandes villes à partir de 1877 environ. Grande popularité au début du 20e siècle jusqu'aux années 1950 lorsqu'elle fut remplacée par les lampes incandescentes. (Woodhead, E.I. et Al. "Appareils d'éclairage. Collection de référence nationale, Parcs Canada", Ottawa, 1984, pp.88-90; 98, Figure 82).	19-02-2024
GPS-062	Couche 2	5.2	Solides fibreux	Tuile?	F	3	1	4.7.1	Matériaux de construction			Trois petits fragments d'une possible tuile ou feuille fait d'un matériau fibreux pressé de couleur chamois grisâtre. Il s'agit probablement d'un objet en amiante. Épaisseur: 0,3cm. Objet élagué le 19-02-2024, JT.	19-02-2024
GPS-062	Couche 2	5.3.1	Plastique	Feuille	I	1	1	4	Consommation			Une petite feuille rectangulaire en plastique transparent. Les deux bords longs ont des trous de couture sur le rebord. Aucun décor ou inscription visible. Longueur max: 9,7cm; largeur max: 7,7cm. Objet élagué le 19-02-2024, JT.	19-02-2024

No sondage	Lot	No Matériau	Matériau	Objet	Intégrité	Nb Artéfacts	Nb Objets	No Fonction	Fonction	Inscription	Datation	Commentaire	Date saisie
GPS-062	Couche 2	7.2	Fer et acier	Couteau à découpé	I	1	1	4.1.3.2	Alimentation, ustensile de servie			Une longue lame de couteau à découpé complète en fer et acier. La soie de section ronde est cassée et le manche est manquant. Une grosse mitre circulaire en fer a été fabriquée en une partie avec la lame et la soie. La lame en acier a la même largeur que la mitre à leur jonction. Ensuite, la lame s'évase vers un "dos d'âne" prononcé au niveau du dos et une entablure (talon) angulaire au niveau du tranchant pour à nouveau se rétrécir avec une légère courbure vers le bout de la lame qui forme une pointe. Le dos de la lame est plus épais que le tranchant. La corrosion empêche de voir s'il y a une marque sur la lame. Longueur lame: 22,2cm; longueur résiduelle totale: 23,8cm; largeur lame à la mitre: 2cm; largeur lame max: 3,4cm; diamètre mitre: 1,9cm; diamètre soie: 0,7cm. Datation: Selon les catalogues du T. Eaton Co. des années 1915 à 1922, ce type de lame de couteau à découpé était vendu généralement en ensemble avec fourchette et fusil d'affûtage (Carving set). Donc, pourrait dater du 1er quart du 20e siècle environ . (Dunning, Phil. <i>Documents personnels sur les couverts de table, de service et autres</i> , Parcs Canada). https://archive.org/details/eatons19202100eatouoft/page/n391/mode/2up	20-02-2024
GPS-063	Couche 4	3.1.1.12	Fer laminé	Clou découpé	C	1	1	4.7.2.3	Fixations – clous			Un clou découpé complet au corps et tête relativement rectangulaires. La pointe est légèrement effilée. Corrosion présente et métal un peu friable. Longueur: 7,9cm. Datation: En général, production entre 1790-1890 environ.	20-02-2024
GPS-063	Couche 4	3.1.2	Métaux et alliages cuivreux	Médaille religieuse	C	1	1	5.6	Culte et rituel	Oui		Une médaille religieuse ovale complète frappée en métal cuivreux. Il y a un petit oeil au sommet afin de la porter comme pendentif. Des décors et inscriptions en relief sont présents. Sur la face, il y a Sainte-Anne assise sur une chaise avec un livre sur les genoux et faisant la lecture à sa fille Marie qui se tient debout devant sa mère; sur le pourtour, une inscription: " S ^{TE} ANNE MERE DE MARIE P. P. N ". Au dos, rien n'est visible mais il pourrait s'agir de la Basilique Sainte-Anne-de-Beaupré. Hauteur max: 2,4cm; largeur max: 1,7cm; épaisseur max: 0,01cm. Datation: La Basilique Sainte-Anne-de-Beaupré a été consacré en 1878. La fabrication de ce type de médaille pour la région pourrait avoir vu le jour autour de ces années. Elle est très répandue et toujours en circulation aujourd'hui. P.P.N. signifie: "priez pour nous". https://fr.wikipedia.org/wiki/Basilique_Sainte-Anne-de-Beaupr%C3%A9	20-02-2024
GPS-063	Couche 4	5.1.1	Os	Ossement	F	6	4	6.1.1.2	Oiseaux			Six fragments d'os d'oiseaux.	20-02-2024
GPS-070	Couche 3	3.1.1.1	Fer ind.	Crampon	C	1	1	4.7.2.4	Fixations - divers			Un crampon en fer fait d'une petite tige de section rectangulaire et a la forme d'un "U". Une extrémité est cassée et l'autre est pliée à 90 degrés. Un peu de corrosion présente. Longueur résiduelle max: 6,2cm; largeur résiduelle max: 5,9cm environ.	20-02-2024
GPS-079	Couche 2	1.1.2.31	Creamware	Contenant	F	2	1	4	Consommation			Deux petits fragments qui recollent de la base d'un contenant en CW à la pâte blanc-chamois avec une glaçure crème sur la paroi intérieure. La paroi extérieure est cassée. Aucun décor ou inscription visible. Les fragments sont très altérés. Datation: Production CW, 1762-1830 environ.	20-02-2024
GPS-124	Indéterminée	1.1.1.3	TCG sans glaçure	Brique	F	2	2	4.7.1.4	Matériaux de revêtement			Deux petits fragments de briques en TCG à la pâte rose orangé avec inclusions variées et petites vésicules. Objets élagués, 20-02-2024, JT.	20-02-2024
GPS-124	Indéterminée	2.1	Verre incolore	Contenant	F	1	1	4	Consommation			Un mini fragment de corps d'un contenant en verre incolore sans décor ou inscription visible.	20-02-2024
GPS-124	Indéterminée	2.2.1.1	Verre teinté vert	Vitre	F	2	2	4.7.1.1	Matériaux de base - vitre			Deux minis fragments de verre à vitre d'épaisseurs différentes avec une teinte verdâtre.	20-02-2024
GPS-124	Indéterminée	3.1.1.1	Fer ind	Bande?	F	1	1	4	Consommation			Un fragment d'une possible mince bande en fer. Elle est de section rectangulaire et cassée au deux extrémités. Corrosion présente. Longueur max: 4,1cm environ; largeur: 2,1cm. Objet élagué le 20-02-2024, JT.	20-02-2024
GPS-124	Indéterminée	3.1.1.11	Fer forgé	Clou forgé	I	1	1	4.7.2.3	Fixations – clous			Un fragment d'un clou forgé au corps relativement carré. La pointe est aplatie sur deux faces. Une partie de la tige et la tête sont manquantes. Corrosion présente. Datation: En général, production avant 1790 environ.	20-02-2024
GPS-124	Indéterminée	3.1.1.12	Fer laminé	Clou découpé	F	1	1	4.7.2.3	Fixations – clous			Un fragment d'un clou découpé au corps relativement rectangulaire. La pointe est légèrement effilée. Une partie de la tige et la tête sont manquantes. Corrosion présente. Datation: En général, production entre 1790-1890 environ.	20-02-2024

No sondage	Lot	No Matériau	Matériau	Objet	Intégrité	Nb Artéfacts	Nb Objets	No Fonction	Fonction	Inscription	Datation	Commentaire	Date saisie
GPS-124	Indéterminée	3.1.1.13	Fer tréfilé	Clou tréfilé	C	1	1	4.7.2.3	Fixations – clous			Un clou tréfilé complet au corps et tête circulaires. La pointe est effilée. Beaucoup de corrosion présente. Longueur: 7,7cm environ. Datation: En général, production après 1890 environ. Objet élagué le 20-02-2024, JT.	20-02-2024
GPS-124	Couche 4	1.1.1.33	TCG locale glaçure inc	Contenant	F	2	2	4.1	Alimentation			Deux minis fragments de corps de contenants en TCG possiblement locale à la pâte rose orangé avec inclusions variées. Une trace de glaçure d'aspect brunâtre est visible sur la paroi extérieure d'un fragment. Datation: Production locale, gros de la fabrication 1760-1850 environ. (Brassard & Leclerc. Identifier la céramique et le verre anciens au Québec, Cahiers d'archéologie du CELAT, No12, Université Laval, Québec, 2001, p.37-42. Monette, Yves. Les productions céramiques du Québec méridional, c. 1680-1890. BAR International Series 1490, Oxford, Royaume-Uni, 2006).	20-02-2024
GPS-124	Couche 4	1.1.2.31	Creamware	Contenant	F	2	1	4	Consommation			Deux minis fragments d'un contenant en CW à la pâte blanc-chamois avec une glaçure crème sur les deux parois. Aucun décor ou inscription visible. Datation: Production CW, 1762-1830 environ.	20-02-2024
GPS-124	Couche 4	1.1.2.41	TCF argileuse blanche	Pipe	F	1	1	4.2.2	Tabac	Oui		Un petit fragment de la base d'un fourneau de pipe avec talon. Une inscription en relief de part et d'autre du talon: " T / D ". Datation: Pipe associée au modèle TD, possiblement post 1840. (Drouin et Savard. <i>Les pipes à fumer de Place-Royale</i> . Collection Patrimoines, Dossiers 67, Les Publications du Québec, 1990, pp.278-285).	20-02-2024
GPS-124	Couche 4	1.1.2.61	TCF blanche	Contenant	F	1	1	4	Consommation			Un mini fragment de corps d'un contenant en TCFB avec un décor imprimé en bleu sur la paroi intérieure. La paroi extérieure est cassée. Datation: Production TCFB, 1820c.+ environ.	20-02-2024
GPS-124	Couche 4	1.1.2.91	TCFJaune	Contenant	F	1	1	4	Consommation			Un petit fragment de corps d'un contenant en TCFJ à la pâte chamois avec petites inclusions. Une glaçure jaunâtre est appliquée sur la paroi extérieure avec un décor marbré dans les tons de blanc, brun et bleu. Une glaçure blanchâtre est appliquée sur la paroi intérieure. Datation: Pourrait provenir de manufactures québécoises dont Cap-Rouge à partir de 1860; ou de production anglaise, avant 1836 jusque vers 1920; ou de production ontarienne jusqu'aux années 1930 environ.	20-02-2024
GPS-155	Couche 2	1.1.2.61	TCF blanche	Contenant	F	1	1	4	Consommation			Un petit fragment d'un contenant en TCFB avec un décor imprimé en bleu sur la paroi intérieure. Datation: Production TCFB, 1820c.+ environ.	20-02-2024
GPS-156	Indéterminée	1.1.2.41	TCF argileuse blanche	Pipe	F	1	1	4.2.2	Tabac	Oui		Un fragment d'un tuyau de pipe avec une inscription en creux de part et d'autre du tuyau: "[HE]NDERSON / MONTREA[L] ". Datation: Pipe fabriquée par la compagnie Henderson située à Montréal au Québec entre 1847 et 1876. (Drouin et Savard. <i>Les pipes à fumer de Place-Royale</i> . Collection Patrimoines, Dossiers 67, Les Publications du Québec, 1990, p.278-283 et Bradley, Charles S. "La pipe à fumer pour l'archéologue" dans <i>Études en culture matérielle</i> , Parcs Canada, 2001, p.136).	20-02-2024
GPS-156	Couche 2	5.1.1	Os	Ossement	F	1	1	6.1.1.1	Mammifères			Un fragment d'un os de mammifère avec traces de découpe.	20-02-2024
GPS-159	Couche 4	1.1.2.31	Creamware	Contenant	F	1	1	4	Consommation			Un mini fragment d'un contenant en CW à la pâte blanc-chamois avec une glaçure crème sur les deux parois. Aucun décor ou inscription visible. Datation: Production CW, 1762-1830 environ.	20-02-2024
GPS-159	Couche 4	1.1.2.41	TCF argileuse blanche	Pipe	F	1	1	4.2.2	Tabac			Un petit fragment d'un tuyau de pipe sans décor ou inscription visible.	20-02-2024
GPS-159	Couche 4	3.1.1.12	Fer laminé	Clou découpé	F	1	1	4.7.2.3	Fixations – clous			Un fragment d'un clou découpé au corps et tête relativement rectangulaires. La pointe est manquante. Corrosion présente. Datation: En général, production entre 1790-1890 environ.	20-02-2024
GPS-159	Couche 4	5.1.1	Os	Ossement	F	1	1	6.1.1.1	Mammifères			Un fragment d'un os de mammifère avec traces de découpe.	20-02-2024

ANNEXE 2 : CATALOGUE DES PHOTOGRAPHIES ET PLANCHES-CONTACTS

Numéro de photo	Zone	Description	Orientation	Date	Initiales
TCI-MTQ-BAT-23-001	1	Vue générale de la zone d'inventaire 1	S	31-07-2023	AG
TCI-MTQ-BAT-23-002	1	Vue générale de la zone d'inventaire 1	O	31-07-2023	AG
TCI-MTQ-BAT-23-003	1	Vue générale de la zone d'inventaire 1	N	31-07-2023	AG
TCI-MTQ-BAT-23-004	1	Vue générale de la zone d'inventaire 1	N	31-07-2023	AG
TCI-MTQ-BAT-23-005	1	Paroi nord du sondage manuel GPS-004	N	31-07-2023	AG
TCI-MTQ-BAT-23-006	1	Paroi nord du sondage manuel GPS-004	N	31-07-2023	AG
TCI-MTQ-BAT-23-007	1	Paroi nord du sondage manuel GPS-004	N	31-07-2023	AG
TCI-MTQ-BAT-23-008	1	Paroi nord du sondage manuel GPS-004	N	31-07-2023	AG
TCI-MTQ-BAT-23-009	1	Paroi nord du sondage manuel GPS-004	N	31-07-2023	AG
TCI-MTQ-BAT-23-010	1	Paroi nord du sondage manuel GPS-004	N	31-07-2023	AG
TCI-MTQ-BAT-23-011	1	Paroi ouest du sondage manuel GPS-005	O	31-07-2023	AG
TCI-MTQ-BAT-23-012	1	Paroi ouest du sondage manuel GPS-005	O	31-07-2023	AG
TCI-MTQ-BAT-23-013	1	Paroi ouest du sondage manuel GPS-007	O	31-07-2023	AG
TCI-MTQ-BAT-23-014	1	Paroi ouest du sondage manuel GPS-007	O	31-07-2023	AG
TCI-MTQ-BAT-23-015	1	Paroi ouest du sondage manuel GPS-013	O	31-07-2023	AG
TCI-MTQ-BAT-23-016	1	Paroi ouest du sondage manuel GPS-013	O	31-07-2023	AG
TCI-MTQ-BAT-23-017	1	Paroi ouest du sondage manuel GPS-013	O	31-07-2023	AG
TCI-MTQ-BAT-23-018	1	Paroi sud du sondage manuel GPS-012	S	31-07-2023	AG
TCI-MTQ-BAT-23-019	1	Paroi sud du sondage manuel GPS-012	S	31-07-2023	AG
TCI-MTQ-BAT-23-020	1	Ponçeau situé dans le parc municipal	O	31-07-2023	AG
TCI-MTQ-BAT-23-021	1	Ponçeau situé dans le parc municipal	O	31-07-2023	AG
TCI-MTQ-BAT-23-022	1	Vue générale du lot 4 176 256	E	31-07-2023	AG
TCI-MTQ-BAT-23-023	1	Vue générale du lot 4 176 256	O	31-07-2023	AG
TCI-MTQ-BAT-23-024	1	Paroi sud du sondage manuel GPS-016	S	31-07-2023	AG
TCI-MTQ-BAT-23-025	1	Paroi sud du sondage manuel GPS-016	S	31-07-2023	AG
TCI-MTQ-BAT-23-026	2	Vue générale de la zone d'inventaire 2	N	31-07-2023	AG
TCI-MTQ-BAT-23-027	2	Vue générale de la zone d'inventaire 2	O	31-07-2023	AG
TCI-MTQ-BAT-23-028	2	Vue générale de la zone d'inventaire 2	O	31-07-2023	AG
TCI-MTQ-BAT-23-029	2	Vue générale de la zone d'inventaire 2	O	31-07-2023	AG
TCI-MTQ-BAT-23-030	2	Paroi est du sondage manuel GPS-017	E	31-07-2023	AG
TCI-MTQ-BAT-23-031	2	Paroi est du sondage manuel GPS-017	E	31-07-2023	AG

Numéro de photo	Zone	Description	Orientation	Date	Initiales
TCI-MTQ-BAT-23-032	2	Paroi est du sondage manuel GPS-017	E	31-07-2023	AG
TCI-MTQ-BAT-23-033	2	Paroi sud du sondage manuel GPS-018	S	31-07-2023	AG
TCI-MTQ-BAT-23-034	2	Paroi sud du sondage manuel GPS-018	S	31-07-2023	AG
TCI-MTQ-BAT-23-035	2	Paroi nord du sondage manuel GPS-022	N	31-07-2023	AG
TCI-MTQ-BAT-23-036	2	Paroi nord du sondage manuel GPS-022	N	31-07-2023	AG
TCI-MTQ-BAT-23-037	2	Paroi ouest du sondage manuel GPS-021	O	31-07-2023	AG
TCI-MTQ-BAT-23-038	2	Paroi ouest du sondage manuel GPS-021	O	31-07-2023	AG
TCI-MTQ-BAT-23-039	2	Sondage manuel GPS-024, asphalte et fil	S	31-07-2023	AG
TCI-MTQ-BAT-23-040	2	Sondage manuel GPS-024, asphalte et fil	S	31-07-2023	AG
TCI-MTQ-BAT-23-041	2	Vue générale du sondage manuel GPS-030	S	31-07-2023	AG
TCI-MTQ-BAT-23-042	2	Paroi sud-est du sondage manuel GPS-032	SE	31-07-2023	AG
TCI-MTQ-BAT-23-043	2	Paroi sud-est du sondage manuel GPS-032	SE	31-07-2023	AG
TCI-MTQ-BAT-23-044	2	Paroi sud-est du sondage manuel GPS-032	SE	31-07-2023	AG
TCI-MTQ-BAT-23-045	2	Empierrement de la berge de la rivière Batiscan	N	1-08-2023	AG
TCI-MTQ-BAT-23-046	2	Empierrement de la berge de la rivière Batiscan	N	1-08-2023	AG
TCI-MTQ-BAT-23-047	2	Empierrement de la berge de la rivière Batiscan	N	1-08-2023	AG
TCI-MTQ-BAT-23-048	2	Empierrement de la berge de la rivière Batiscan	N	1-08-2023	AG
TCI-MTQ-BAT-23-049	2	Vue générale de la portion sud de la zone d'inventaire 2	S	1-08-2023	AG
TCI-MTQ-BAT-23-050	2	Vue générale de la portion sud de la zone d'inventaire 2	N	1-08-2023	AG
TCI-MTQ-BAT-23-051	2	Côté sud de l'ancien chemin d'accès et lot 4 176 261	N	1-08-2023	AG
TCI-MTQ-BAT-23-052	2	Côté sud de l'ancien chemin d'accès et lot 4 176 261	N	1-08-2023	AG
TCI-MTQ-BAT-23-053	2	Côté sud de l'ancien chemin d'accès et lot 4 176 261	S	1-08-2023	AG
TCI-MTQ-BAT-23-054	2	Paroi sud du sondage manuel GPS-035	S	1-08-2023	AG
TCI-MTQ-BAT-23-055	2	Paroi sud du sondage manuel GPS-035	S	1-08-2023	AG
TCI-MTQ-BAT-23-056	2	Côté nord de l'ancien chemin d'accès et lot 4 176 261	S	1-08-2023	AG
TCI-MTQ-BAT-23-057	2	Côté nord de l'ancien chemin d'accès et lot 4 176 261	S	1-08-2023	AG
TCI-MTQ-BAT-23-058	2	Paroi nord du sondage manuel GPS-033	N	1-08-2023	AG
TCI-MTQ-BAT-23-059	2	Paroi nord du sondage manuel GPS-033	N	1-08-2023	AG
TCI-MTQ-BAT-23-060	2	Paroi nord du sondage manuel GPS-033	N	1-08-2023	AG
TCI-MTQ-BAT-23-061	2	Paroi nord du sondage manuel GPS-033	N	1-08-2023	AG
TCI-MTQ-BAT-23-062	2	Paroi nord du sondage manuel GPS-033	N	1-08-2023	AG

Numéro de photo	Zone	Description	Orientation	Date	Initiales
TCI-MTQ-BAT-23-063	2	Paroi ouest du sondage manuel GPS-034	O	1-08-2023	AG
TCI-MTQ-BAT-23-064	2	Paroi ouest du sondage manuel GPS-034	O	1-08-2023	AG
TCI-MTQ-BAT-23-065	2	Paroi ouest du sondage manuel GPS-034	O	1-08-2023	AG
TCI-MTQ-BAT-23-066	2	Côté est du pont dans la zone d'inventaire 2	S	1-08-2023	AG
TCI-MTQ-BAT-23-067	2	Côté est du pont dans la zone d'inventaire 2	S	1-08-2023	AG
TCI-MTQ-BAT-23-068	2	Côté est du pont dans la zone d'inventaire 2	N	1-08-2023	AG
TCI-MTQ-BAT-23-069	7	Vue générale de la zone d'inventaire 7	N	1-08-2023	AG
TCI-MTQ-BAT-23-070	7	Vue générale de la zone d'inventaire 7	S	1-08-2023	AG
TCI-MTQ-BAT-23-071	7	Vue générale de la zone d'inventaire 7	N	1-08-2023	AG
TCI-MTQ-BAT-23-072	7	Paroi nord du sondage manuel GPS-048 (sondage test)	N	1-08-2023	AG
TCI-MTQ-BAT-23-073	7	Paroi nord du sondage manuel GPS-048 (sondage test)	N	1-08-2023	AG
TCI-MTQ-BAT-23-074	7	Paroi nord du sondage manuel GPS-048 (sondage test)	N	1-08-2023	AG
TCI-MTQ-BAT-23-075	7	Paroi nord du sondage manuel GPS-048 (sondage test)	N	1-08-2023	AG
TCI-MTQ-BAT-23-076	3	Vue générale du sondage manuel GPS-061	N	1-08-2023	AG
TCI-MTQ-BAT-23-077	3	Vue générale du sondage manuel GPS-061	N	1-08-2023	AG
TCI-MTQ-BAT-23-078	3	Paroi nord du sondage manuel GPS-060	N	1-08-2023	AG
TCI-MTQ-BAT-23-079	3	Paroi nord du sondage manuel GPS-060	N	1-08-2023	AG
TCI-MTQ-BAT-23-080	3	Paroi nord du sondage manuel GPS-060	N	1-08-2023	AG
TCI-MTQ-BAT-23-081	3	Paroi nord du sondage manuel GPS-060	N	1-08-2023	AG
TCI-MTQ-BAT-23-082	3	Paroi sud du sondage manuel GPS-062	S	1-08-2023	AG
TCI-MTQ-BAT-23-083	3	Paroi sud du sondage manuel GPS-062	S	1-08-2023	AG
TCI-MTQ-BAT-23-084	3	Paroi sud du sondage manuel GPS-062	S	1-08-2023	AG
TCI-MTQ-BAT-23-085	3	Paroi nord du sondage manuel GPS-061	N	1-08-2023	AG
TCI-MTQ-BAT-23-086	3	Paroi nord du sondage manuel GPS-061	N	1-08-2023	AG
TCI-MTQ-BAT-23-087	3	Paroi nord du sondage manuel GPS-061	N	1-08-2023	AG
TCI-MTQ-BAT-23-088	3	Paroi nord du sondage manuel GPS-061	N	1-08-2023	AG
TCI-MTQ-BAT-23-089	3	Matériel élagué provenant du sondage manuel GPS-061	n.a.	1-08-2023	AG
TCI-MTQ-BAT-23-090	6	Vue générale de la zone d'inventaire 6 (zone à potentiel P6)	N	2-08-2023	AG
TCI-MTQ-BAT-23-091	6	Vue générale de la zone d'inventaire 6 (zone à potentiel P5)	N	2-08-2023	AG
TCI-MTQ-BAT-23-092	6	Paroi est du sondage manuel GPS-063	E	2-08-2023	AG
TCI-MTQ-BAT-23-093	6	Paroi est du sondage manuel GPS-063	E	2-08-2023	AG

Numéro de photo	Zone	Description	Orientation	Date	Initiales
TCI-MTQ-BAT-23-094	6	Paroi nord du sondage manuel GPS-064	N	2-08-2023	AG
TCI-MTQ-BAT-23-095	6	Paroi nord du sondage manuel GPS-064	N	2-08-2023	AG
TCI-MTQ-BAT-23-096	6	Paroi nord du sondage manuel GPS-067	N	2-08-2023	AG
TCI-MTQ-BAT-23-097	6	Paroi nord du sondage manuel GPS-067	N	2-08-2023	AG
TCI-MTQ-BAT-23-098	6	Paroi nord du sondage manuel GPS-070	N	2-08-2023	AG
TCI-MTQ-BAT-23-099	6	Paroi nord du sondage manuel GPS-070	N	2-08-2023	AG
TCI-MTQ-BAT-23-100	6	Vue générale de la zone d'inventaire 6 (zone à potentiel P7)	N	2-08-2023	AG
TCI-MTQ-BAT-23-101	6	Paroi sud du sondage manuel GPS-072	S	2-08-2023	AG
TCI-MTQ-BAT-23-102	6	Paroi sud du sondage manuel GPS-072	S	2-08-2023	AG
TCI-MTQ-BAT-23-103	6	Vue générale de la zone d'inventaire 6 (zone à potentiel P8)	SO	2-08-2023	AG
TCI-MTQ-BAT-23-104	6	Vue générale de la zone d'inventaire 6 (zone à potentiel P8)	SO	2-08-2023	AG
TCI-MTQ-BAT-23-105	6	Paroi sud du sondage manuel GPS-076	S	2-08-2023	AG
TCI-MTQ-BAT-23-106	6	Paroi sud du sondage manuel GPS-076	S	2-08-2023	AG
TCI-MTQ-BAT-23-107	6	Vue générale de la zone d'inventaire 6 (zone à potentiel P9)	SO	2-08-2023	AG
TCI-MTQ-BAT-23-108	6	Vue générale de la zone d'inventaire 6 (zone à potentiel P9)	SO	2-08-2023	AG
TCI-MTQ-BAT-23-109	6	Paroi sud du sondage manuel GPS-077	S	2-08-2023	AG
TCI-MTQ-BAT-23-110	6	Paroi sud du sondage manuel GPS-077	S	2-08-2023	AG
TCI-MTQ-BAT-23-111	6	Paroi ouest du sondage manuel GPS-079	O	2-08-2023	AG
TCI-MTQ-BAT-23-112	6	Paroi ouest du sondage manuel GPS-079	O	2-08-2023	AG
TCI-MTQ-BAT-23-113	6	Vue générale de la zone d'inventaire 6 (zone à potentiel P8)	O	2-08-2023	AG
TCI-MTQ-BAT-23-114	6	Vue générale de la zone d'inventaire 6 (zone à potentiel P8)	O	2-08-2023	AG
TCI-MTQ-BAT-23-115	6	Extrémité de la zone à potentiel P8	S	2-08-2023	AG
TCI-MTQ-BAT-23-116	6	Paroi sud du sondage manuel GPS-083	S	2-08-2023	AG
TCI-MTQ-BAT-23-117	6	Paroi sud du sondage manuel GPS-083	S	2-08-2023	AG
TCI-MTQ-BAT-23-118	6	Paroi sud du sondage manuel GPS-083	S	2-08-2023	AG
TCI-MTQ-BAT-23-119	6	Paroi nord du sondage manuel GPS-080	N	2-08-2023	AG
TCI-MTQ-BAT-23-120	6	Paroi nord du sondage manuel GPS-080	N	2-08-2023	AG
TCI-MTQ-BAT-23-121	5	Paroi nord du sondage manuel GPS-084	N	2-08-2023	AG
TCI-MTQ-BAT-23-122	5	Paroi nord du sondage manuel GPS-084	N	2-08-2023	AG
TCI-MTQ-BAT-23-123	5	Vue générale de la zone d'inventaire 5 (zone à potentiel P10)	S	2-08-2023	AG
TCI-MTQ-BAT-23-124	5	Vue générale de la zone d'inventaire 5 (zone à potentiel P10)	S	2-08-2023	AG

Numéro de photo	Zone	Description	Orientation	Date	Initiales
TCI-MTQ-BAT-23-125	5	Vue générale de la zone d'inventaire 5 (zone à potentiel P10)	S	2-08-2023	AG
TCI-MTQ-BAT-23-126	5	Paroi nord du sondage manuel GPS-088	N	2-08-2023	AG
TCI-MTQ-BAT-23-127	5	Paroi nord du sondage manuel GPS-088	N	2-08-2023	AG
TCI-MTQ-BAT-23-128	5	Vue générale de la zone à potentiel P10	S	2-08-2023	AG
TCI-MTQ-BAT-23-129	5	Paroi ouest du sondage manuel GPS-093	O	2-08-2023	AG
TCI-MTQ-BAT-23-130	5	Paroi ouest du sondage manuel GPS-093	O	2-08-2023	AG
TCI-MTQ-BAT-23-131	5	Paroi ouest du sondage manuel GPS-093	O	2-08-2023	AG
TCI-MTQ-BAT-23-132	5	Paroi ouest du sondage manuel GPS-097	O	2-08-2023	AG
TCI-MTQ-BAT-23-133	5	Paroi ouest du sondage manuel GPS-097	O	2-08-2023	AG
TCI-MTQ-BAT-23-134	5	Vue générale de la zone à potentiel P11	O	2-08-2023	AG
TCI-MTQ-BAT-23-135	5	Vue générale de la zone à potentiel P11	O	2-08-2023	AG
TCI-MTQ-BAT-23-136	5	Structure de béton près du sondage manuel GPS-099	N	2-08-2023	AG
TCI-MTQ-BAT-23-137	5	Structure de béton près du sondage manuel GPS-099	N	2-08-2023	AG
TCI-MTQ-BAT-23-138	5	Intérieur de la structure de béton	N	2-08-2023	AG
TCI-MTQ-BAT-23-139	5	Intérieur de la structure de béton	N	2-08-2023	AG
TCI-MTQ-BAT-23-140	5	Intérieur de la structure de béton	O	2-08-2023	AG
TCI-MTQ-BAT-23-141	5	Intérieur de la structure de béton	O	2-08-2023	AG
TCI-MTQ-BAT-23-142	5	Intérieur de la structure de béton	E	2-08-2023	AG
TCI-MTQ-BAT-23-143	5	Intérieur de la structure de béton	N	2-08-2023	AG
TCI-MTQ-BAT-23-144	5	Paroi ouest du sondage manuel GPS-100	O	2-08-2023	AG
TCI-MTQ-BAT-23-145	5	Paroi ouest du sondage manuel GPS-100	O	2-08-2023	AG
TCI-MTQ-BAT-23-146	5	Vue générale de l'intersection chemin du Roy	S	2-08-2023	AG
TCI-MTQ-BAT-23-147	5	Vue générale de l'intersection chemin du Roy	S	2-08-2023	AG
TCI-MTQ-BAT-23-148	5	Paroi ouest du sondage manuel GPS-104	O	2-08-2023	AG
TCI-MTQ-BAT-23-149	5	Paroi ouest du sondage manuel GPS-104	O	2-08-2023	AG
TCI-MTQ-BAT-23-150	5	Paroi sud du sondage manuel GPS-106	S	3-08-2023	AG
TCI-MTQ-BAT-23-151	5	Paroi sud du sondage manuel GPS-106	S	3-08-2023	AG
TCI-MTQ-BAT-23-152	1	Vue générale de l'extrémité est de la zone d'inventaire 1	O	3-08-2023	AG
TCI-MTQ-BAT-23-153	1	Vue générale de l'extrémité est de la zone d'inventaire 1	O	3-08-2023	AG
TCI-MTQ-BAT-23-154	2	Vue générale de l'entrée du camping dans la zone d'inventaire 2	N	3-08-2023	AG
TCI-MTQ-BAT-23-155	2	Vue générale de l'entrée du camping dans la zone d'inventaire 2	S	3-08-2023	AG

Numéro de photo	Zone	Description	Orientation	Date	Initiales
TCI-MTQ-BAT-23-156	1	Vue générale du sondage manuel GPS-115	E	3-08-2023	AG
TCI-MTQ-BAT-23-157	1	Paroi nord-ouest du sondage manuel GPS-115	NO	3-08-2023	AG
TCI-MTQ-BAT-23-158	1	Paroi nord-ouest du sondage manuel GPS-115	NO	3-08-2023	AG
TCI-MTQ-BAT-23-159	1	Vue générale de l'extrémité ouest de la zone d'inventaire 1	E	3-08-2023	AG
TCI-MTQ-BAT-23-160	1	Vue générale de l'extrémité ouest de la zone d'inventaire 1	E	3-08-2023	AG
TCI-MTQ-BAT-23-161	1	Vue générale du sondage manuel GPS-120	N	3-08-2023	AG
TCI-MTQ-BAT-23-162	1	Vue générale du sondage manuel GPS-120	N	3-08-2023	AG
TCI-MTQ-BAT-23-163	1	Paroi ouest du sondage manuel GPS-120	O	3-08-2023	AG
TCI-MTQ-BAT-23-164	1	Paroi ouest du sondage manuel GPS-120	O	3-08-2023	AG
TCI-MTQ-BAT-23-165	1	Intersection de la rue Cinq-Mars	E	3-08-2023	AG
TCI-MTQ-BAT-23-166	1	Intersection de la rue Cinq-Mars	E	3-08-2023	AG
TCI-MTQ-BAT-23-167	5	Vue générale de la zone d'inventaire 5, près de la maison	S	5-09-2023	AG
TCI-MTQ-BAT-23-168	5	Paroi nord du sondage manuel GPS-124	N	5-09-2023	AG
TCI-MTQ-BAT-23-169	5	Paroi nord du sondage manuel GPS-124	N	5-09-2023	AG
TCI-MTQ-BAT-23-170	4	Paroi sud du sondage manuel GPS-129	S	5-09-2023	AG
TCI-MTQ-BAT-23-171	4	Paroi sud du sondage manuel GPS-129	S	5-09-2023	AG
TCI-MTQ-BAT-23-172	4	Paroi nord du sondage manuel GPS-133	N	5-09-2023	AG
TCI-MTQ-BAT-23-173	4	Paroi nord du sondage manuel GPS-133	N	5-09-2023	AG
TCI-MTQ-BAT-23-174	4	Vue générale du lot 4 504 531	N	5-09-2023	AG
TCI-MTQ-BAT-23-175	4	Erreur	NA	5-09-2023	AG
TCI-MTQ-BAT-23-176	4	Vue générale du lot 4 504 531	S	5-09-2023	AG
TCI-MTQ-BAT-23-177	4	Remblai d'un ancien chemin	E	5-09-2023	AG
TCI-MTQ-BAT-23-178	3	Vue générale lot 4 504 523 dans la zone d'inventaire 3	S	5-09-2023	AG
TCI-MTQ-BAT-23-179	3	Paroi ouest du sondage manuel GPS-136	O	5-09-2023	AG
TCI-MTQ-BAT-23-180	3	Paroi ouest du sondage manuel GPS-136	O	5-09-2023	AG
TCI-MTQ-BAT-23-181	3	Paroi ouest du sondage manuel GPS-136	O	5-09-2023	AG
TCI-MTQ-BAT-23-182	3	Paroi ouest du sondage manuel GPS-136	O	5-09-2023	AG
TCI-MTQ-BAT-23-183	3	Vue générale du sondage manuel GPS-136	N	5-09-2023	AG
TCI-MTQ-BAT-23-184	3	Vue générale sous le pont dans la zone d'inventaire 4	N	5-09-2023	AG
TCI-MTQ-BAT-23-185	3	Vue générale sous le pont dans la zone d'inventaire 4	N	5-09-2023	AG
TCI-MTQ-BAT-23-186	3	Vue générale sous le pont dans la zone d'inventaire 4	E	5-09-2023	AG

Numéro de photo	Zone	Description	Orientation	Date	Initiales
TCI-MTQ-BAT-23-187	3	Vue générale sous le pont dans la zone d'inventaire 4	N	5-09-2023	AG
TCI-MTQ-BAT-23-188	5	Mur nord d'un bâtiment identifié dans la zone d'inventaire 5	S	5-09-2023	AG
TCI-MTQ-BAT-23-189	5	Mur nord d'un bâtiment identifié dans la zone d'inventaire 5	S	5-09-2023	AG
TCI-MTQ-BAT-23-190	5	Mur nord d'un bâtiment identifié dans la zone d'inventaire 5	E	5-09-2023	AG
TCI-MTQ-BAT-23-191	5	Mur sud d'un bâtiment identifié dans la zone d'inventaire 5	S	5-09-2023	AG
TCI-MTQ-BAT-23-192	5	Mur sud d'un bâtiment identifié dans la zone d'inventaire 5	S	5-09-2023	AG
TCI-MTQ-BAT-23-193	5	Mur sud d'un bâtiment identifié dans la zone d'inventaire 5	S	5-09-2023	AG
TCI-MTQ-BAT-23-194	5	Seuil de porte dans le mur ouest	O	5-09-2023	AG
TCI-MTQ-BAT-23-195	5	Seuil de porte dans le mur ouest	O	5-09-2023	AG
TCI-MTQ-BAT-23-196	5	Mur ouest d'un bâtiment identifié dans la zone d'inventaire 5	O	5-09-2023	AG
TCI-MTQ-BAT-23-197	5	Tas de ferraille dans le coin sud-ouest du bâtiment	O	5-09-2023	AG
TCI-MTQ-BAT-23-198	5	Tas de ferraille dans le coin sud-ouest du bâtiment	O	5-09-2023	AG
TCI-MTQ-BAT-23-199	5	Paroi nord du sondage manuel GPS- 138	N	5-09-2023	AG
TCI-MTQ-BAT-23-200	5	Paroi nord du sondage manuel GPS- 138	N	5-09-2023	AG
TCI-MTQ-BAT-23-201	4	Paroi nord du sondage manuel GPS- 141	N	6-09-2023	AG
TCI-MTQ-BAT-23-202	4	Paroi nord du sondage manuel GPS- 141	N	6-09-2023	AG
TCI-MTQ-BAT-23-203	4	Vue générale de la surface de la zone d'inventaire 4, bois flotté	E	6-09-2023	AG
TCI-MTQ-BAT-23-204	4	Dépotoir à l'est de la zone d'inventaire 4	O	6-09-2023	AG
TCI-MTQ-BAT-23-205	4	Erreur	NA	6-09-2023	AG
TCI-MTQ-BAT-23-206	4	Objets provenant d'un dépotoir	O	6-09-2023	AG
TCI-MTQ-BAT-23-207	4	Objets provenant d'un dépotoir	O	6-09-2023	AG
TCI-MTQ-BAT-23-208	4	Extrémité nord de la zone d'inventaire 4 et berge.	O	6-09-2023	AG
TCI-MTQ-BAT-23-209	4	Gros clou trouvé sur la plage	S	6-09-2023	AG
TCI-MTQ-BAT-23-210	4	Empierrement sur la berge	S	6-09-2023	AG
TCI-MTQ-BAT-23-211	4	Empierrement sur la berge	O	6-09-2023	AG
TCI-MTQ-BAT-23-212	4	Gros clou trouvé sur la plage	O	6-09-2023	AG
TCI-MTQ-BAT-23-213	4	Gros clou trouvé sur la plage	O	6-09-2023	AG
TCI-MTQ-BAT-23-214	4	Paroi ouest du sondage manuel GPS- 151	O	6-09-2023	AG
TCI-MTQ-BAT-23-215	4	Paroi ouest du sondage manuel GPS- 151	O	6-09-2023	AG
TCI-MTQ-BAT-23-216	4	Vue générale de la zone humide dans la zone d'inventaire 4	S	6-09-2023	AG
TCI-MTQ-BAT-23-217	4	Vue générale de la zone humide dans la zone d'inventaire 4	S	6-09-2023	AG

Numéro de photo	Zone	Description	Orientation	Date	Initiales
TCI-MTQ-BAT-23-218	4	Vue générale de la zone boisée dans la zone d'inventaire 4	N	6-09-2023	AG
TCI-MTQ-BAT-23-219	5	Paroi sud du sondage manuel GPS-155	S	6-09-2023	AG
TCI-MTQ-BAT-23-220	5	Paroi sud du sondage manuel GPS-155	S	6-09-2023	AG
TCI-MTQ-BAT-23-221	5	Paroi est du sondage manuel GPS-156	E	6-09-2023	AG
TCI-MTQ-BAT-23-222	5	Paroi est du sondage manuel GPS-156	E	6-09-2023	AG
TCI-MTQ-BAT-23-223	5	Paroi est du sondage manuel GPS-156	E	6-09-2023	AG
TCI-MTQ-BAT-23-224	5	Paroi sud du sondage manuel GPS-158	S	6-09-2023	AG
TCI-MTQ-BAT-23-225	5	Paroi sud du sondage manuel GPS-158	S	6-09-2023	AG
TCI-MTQ-BAT-23-226	5	Paroi sud du sondage manuel GPS-159	S	6-09-2023	AG
TCI-MTQ-BAT-23-227	5	Paroi sud du sondage manuel GPS-159	S	6-09-2023	AG
TCI-MTQ-BAT-23-228	5	Paroi sud du sondage manuel GPS-159	S	6-09-2023	AG
TCI-MTQ-BAT-23-229	5	Paroi sud du sondage manuel GPS-159	S	6-09-2023	AG
TCI-MTQ-BAT-23-230	5	Pierre extraite de la couche 2 du sondage manuel GPS-159	NA	6-09-2023	AG



TCI-MTQ-BAT-23-001.JPG



TCI-MTQ-BAT-23-002.JPG



TCI-MTQ-BAT-23-003.JPG



TCI-MTQ-BAT-23-004.JPG



TCI-MTQ-BAT-23-005.JPG



TCI-MTQ-BAT-23-006.JPG



TCI-MTQ-BAT-23-007.JPG



TCI-MTQ-BAT-23-008.JPG



TCI-MTQ-BAT-23-009.JPG



TCI-MTQ-BAT-23-010.JPG



TCI-MTQ-BAT-23-011.JPG



TCI-MTQ-BAT-23-012.JPG



TCI-MTQ-BAT-23-013.JPG



TCI-MTQ-BAT-23-014.JPG



TCI-MTQ-BAT-23-015.JPG



TCI-MTQ-BAT-23-016.JPG



TCI-MTQ-BAT-23-017.JPG



TCI-MTQ-BAT-23-018.JPG



TCI-MTQ-BAT-23-019.JPG



TCI-MTQ-BAT-23-020.JPG



TCI-MTQ-BAT-23-021.JPG



TCI-MTQ-BAT-23-022.JPG



TCI-MTQ-BAT-23-023.JPG



TCI-MTQ-BAT-23-024.JPG



TCI-MTQ-BAT-23-025.JPG



TCI-MTQ-BAT-23-026.JPG



TCI-MTQ-BAT-23-027.JPG



TCI-MTQ-BAT-23-028.JPG



TCI-MTQ-BAT-23-029.JPG



TCI-MTQ-BAT-23-030.JPG



TCI-MTQ-BAT-23-031.JPG



TCI-MTQ-BAT-23-032.JPG



TCI-MTQ-BAT-23-033.JPG



TCI-MTQ-BAT-23-034.JPG



TCI-MTQ-BAT-23-035.JPG



TCI-MTQ-BAT-23-036.JPG



TCI-MTQ-BAT-23-037.JPG



TCI-MTQ-BAT-23-038.JPG



TCI-MTQ-BAT-23-039.JPG



TCI-MTQ-BAT-23-040.JPG



TCI-MTQ-BAT-23-041.JPG



TCI-MTQ-BAT-23-042.JPG



TCI-MTQ-BAT-23-043.JPG



TCI-MTQ-BAT-23-044.JPG



TCI-MTQ-BAT-23-045.JPG



TCI-MTQ-BAT-23-046.JPG



TCI-MTQ-BAT-23-047.JPG



TCI-MTQ-BAT-23-048.JPG



TCI-MTQ-BAT-23-049.JPG



TCI-MTQ-BAT-23-050.JPG



TCI-MTQ-BAT-23-051.JPG



TCI-MTQ-BAT-23-052.JPG



TCI-MTQ-BAT-23-053.JPG



TCI-MTQ-BAT-23-054.JPG



TCI-MTQ-BAT-23-055.JPG



TCI-MTQ-BAT-23-056.JPG



TCI-MTQ-BAT-23-057.JPG



TCI-MTQ-BAT-23-058.JPG



TCI-MTQ-BAT-23-059.JPG



TCI-MTQ-BAT-23-060.JPG



TCI-MTQ-BAT-23-061.JPG



TCI-MTQ-BAT-23-062.JPG



TCI-MTQ-BAT-23-063.JPG



TCI-MTQ-BAT-23-064.JPG



TCI-MTQ-BAT-23-065.JPG



TCI-MTQ-BAT-23-066.JPG



TCI-MTQ-BAT-23-067.JPG



TCI-MTQ-BAT-23-068.JPG



TCI-MTQ-BAT-23-069.JPG



TCI-MTQ-BAT-23-070.JPG



TCI-MTQ-BAT-23-071.JPG



TCI-MTQ-BAT-23-072.JPG



TCI-MTQ-BAT-23-073.JPG



TCI-MTQ-BAT-23-074.JPG



TCI-MTQ-BAT-23-075.JPG



TCI-MTQ-BAT-23-076.JPG



TCI-MTQ-BAT-23-077.JPG



TCI-MTQ-BAT-23-078.JPG



TCI-MTQ-BAT-23-079.JPG



TCI-MTQ-BAT-23-080.JPG



TCI-MTQ-BAT-23-081.JPG



TCI-MTQ-BAT-23-082.JPG



TCI-MTQ-BAT-23-083.JPG



TCI-MTQ-BAT-23-084.JPG



TCI-MTQ-BAT-23-085.JPG



TCI-MTQ-BAT-23-086.JPG



TCI-MTQ-BAT-23-087.JPG



TCI-MTQ-BAT-23-088.JPG



TCI-MTQ-BAT-23-089.JPG



TCI-MTQ-BAT-23-090.JPG



TCI-MTQ-BAT-23-091.JPG



TCI-MTQ-BAT-23-092.JPG



TCI-MTQ-BAT-23-093.JPG



TCI-MTQ-BAT-23-094.JPG



TCI-MTQ-BAT-23-095.JPG



TCI-MTQ-BAT-23-096.JPG



TCI-MTQ-BAT-23-097.JPG



TCI-MTQ-BAT-23-098.JPG



TCI-MTQ-BAT-23-099.JPG



TCI-MTQ-BAT-23-100.JPG



TCI-MTQ-BAT-23-101.JPG



TCI-MTQ-BAT-23-102.JPG



TCI-MTQ-BAT-23-103.JPG



TCI-MTQ-BAT-23-104.JPG



TCI-MTQ-BAT-23-105.JPG



TCI-MTQ-BAT-23-106.JPG



TCI-MTQ-BAT-23-107.JPG



TCI-MTQ-BAT-23-108.JPG



TCI-MTQ-BAT-23-109.JPG



TCI-MTQ-BAT-23-110.JPG



TCI-MTQ-BAT-23-111.JPG



TCI-MTQ-BAT-23-112.JPG



TCI-MTQ-BAT-23-113.JPG



TCI-MTQ-BAT-23-114.JPG



TCI-MTQ-BAT-23-115.JPG



TCI-MTQ-BAT-23-116.JPG



TCI-MTQ-BAT-23-117.JPG



TCI-MTQ-BAT-23-118.JPG



TCI-MTQ-BAT-23-119.JPG



TCI-MTQ-BAT-23-120.JPG



TCI-MTQ-BAT-23-121.JPG



TCI-MTQ-BAT-23-122.JPG



TCI-MTQ-BAT-23-123.JPG



TCI-MTQ-BAT-23-124.JPG



TCI-MTQ-BAT-23-125.JPG



TCI-MTQ-BAT-23-126.JPG



TCI-MTQ-BAT-23-127.JPG



TCI-MTQ-BAT-23-128.JPG



TCI-MTQ-BAT-23-129.JPG



TCI-MTQ-BAT-23-130.JPG



TCI-MTQ-BAT-23-131.JPG



TCI-MTQ-BAT-23-132.JPG



TCI-MTQ-BAT-23-133.JPG



TCI-MTQ-BAT-23-134.JPG



TCI-MTQ-BAT-23-135.JPG



TCI-MTQ-BAT-23-136.JPG



TCI-MTQ-BAT-23-137.JPG



TCI-MTQ-BAT-23-138.JPG



TCI-MTQ-BAT-23-139.JPG



TCI-MTQ-BAT-23-140.JPG



TCI-MTQ-BAT-23-141.JPG



TCI-MTQ-BAT-23-142.JPG



TCI-MTQ-BAT-23-143.JPG



TCI-MTQ-BAT-23-144.JPG



TCI-MTQ-BAT-23-145.JPG



TCI-MTQ-BAT-23-146.JPG



TCI-MTQ-BAT-23-147.JPG



TCI-MTQ-BAT-23-148.JPG



TCI-MTQ-BAT-23-149.JPG



TCI-MTQ-BAT-23-150.JPG



TCI-MTQ-BAT-23-151.JPG



TCI-MTQ-BAT-23-152.JPG



TCI-MTQ-BAT-23-153.JPG



TCI-MTQ-BAT-23-154.JPG



TCI-MTQ-BAT-23-155.JPG



TCI-MTQ-BAT-23-156.JPG



TCI-MTQ-BAT-23-157.JPG



TCI-MTQ-BAT-23-158.JPG



TCI-MTQ-BAT-23-159.JPG



TCI-MTQ-BAT-23-160.JPG



TCI-MTQ-BAT-23-161.JPG



TCI-MTQ-BAT-23-162.JPG



TCI-MTQ-BAT-23-163.JPG



TCI-MTQ-BAT-23-164.JPG



TCI-MTQ-BAT-23-165.JPG



TCI-MTQ-BAT-23-166.JPG



TCI-MTQ-BAT-23-167.JPG



TCI-MTQ-BAT-23-168.JPG



TCI-MTQ-BAT-23-169.JPG



TCI-MTQ-BAT-23-170.JPG



TCI-MTQ-BAT-23-171.JPG



TCI-MTQ-BAT-23-172.JPG



TCI-MTQ-BAT-23-173.JPG



TCI-MTQ-BAT-23-174.JPG



TCI-MTQ-BAT-23-175.JPG



TCI-MTQ-BAT-23-176.JPG



TCI-MTQ-BAT-23-177.JPG



TCI-MTQ-BAT-23-178.JPG



TCI-MTQ-BAT-23-179.JPG



TCI-MTQ-BAT-23-181.JPG



TCI-MTQ-BAT-23-182.JPG



TCI-MTQ-BAT-23-183.JPG



TCI-MTQ-BAT-23-184.JPG



TCI-MTQ-BAT-23-185.JPG



TCI-MTQ-BAT-23-186.JPG



TCI-MTQ-BAT-23-187.JPG



TCI-MTQ-BAT-23-188.JPG



TCI-MTQ-BAT-23-189.JPG



TCI-MTQ-BAT-23-190.JPG



TCI-MTQ-BAT-23-191.JPG



TCI-MTQ-BAT-23-192.JPG



TCI-MTQ-BAT-23-193.JPG



TCI-MTQ-BAT-23-194.JPG



TCI-MTQ-BAT-23-195.JPG



TCI-MTQ-BAT-23-196.JPG



TCI-MTQ-BAT-23-197.JPG



TCI-MTQ-BAT-23-198.JPG



TCI-MTQ-BAT-23-199.JPG



TCI-MTQ-BAT-23-200.JPG



TCI-MTQ-BAT-23-201.JPG



TCI-MTQ-BAT-23-202.JPG



TCI-MTQ-BAT-23-203.JPG



TCI-MTQ-BAT-23-204.JPG



TCI-MTQ-BAT-23-205.JPG



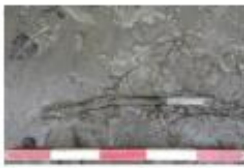
TCI-MTQ-BAT-23-206.JPG



TCI-MTQ-BAT-23-207.JPG



TCI-MTQ-BAT-23-208.JPG



TCI-MTQ-BAT-23-209.JPG



TCI-MTQ-BAT-23-210.JPG



TCI-MTQ-BAT-23-211.JPG



TCI-MTQ-BAT-23-212.JPG



TCI-MTQ-BAT-23-213.JPG



TCI-MTQ-BAT-23-214.JPG



TCI-MTQ-BAT-23-215.JPG



TCI-MTQ-BAT-23-216.JPG



TCI-MTQ-BAT-23-217.JPG



TCI-MTQ-BAT-23-218.JPG



TCI-MTQ-BAT-23-219.JPG



TCI-MTQ-BAT-23-220.JPG



TCI-MTQ-BAT-23-221.JPG



TCI-MTQ-BAT-23-222.JPG



TCI-MTQ-BAT-23-223.JPG



TCI-MTQ-BAT-23-224.JPG



TCI-MTQ-BAT-23-225.JPG



TCI-MTQ-BAT-23-226.JPG



TCI-MTQ-BAT-23-227.JPG



TCI-MTQ-BAT-23-228.JPG



TCI-MTQ-BAT-23-229.JPG



TCI-MTQ-BAT-23-230.JPG

**ANNEXE 3 : AVIS ARCHÉOLOGIQUE DE M. GHISLAIN GAGNON DU MTMD
(2022)**

Reconstruction du pont P01559, situé sur la route 138, au-dessus de la rivière Batiscan, dans la municipalité de Batiscan, dans la région administrative de la Mauricie (Projet 154-99-0602)

Synthèse - Étude de potentiel archéologique en archéologie



Par

Ghislain Gagnon, archéologue

Direction de l'Environnement

Ministère des Transports et de la Mobilité durable

27 mars 2023

Page couverture : Pont de la route National, Batiscan (Québec) correspondant au pont actuel. Le slogan «Prime par la force et par la Qualité» semble avoir été employé vers 1927, année où il figure sur une publicité de [Mon Magazine, janvier 1927](https://numerique.banq.qc.ca/patrimoine/details/52327/1969787?docsearchtext=pont%20batiscan): <https://numerique.banq.qc.ca/patrimoine/details/52327/1969787?docsearchtext=pont%20batiscan>

Introduction

La présente évaluation de potentiel archéologique porte sur le projet 154-99-0602 concernant la reconstruction du pont P-01559 situé sur la route 138, au-dessus de la rivière Batiscan. La base de données du ministère de la Culture et des Communications (MCC), mise à jour par le ministère des Transports et de la Mobilité durable (MTMD) indique qu'un inventaire a été réalisé dans la zone d'étude restreinte en 2006 par la firme Ethnoscop. Cet inventaire, réalisé pour le compte du MTMD, autrefois MTQ, s'est avéré négatif. Considérant les aménagements existants, le prestataire s'est limité à réaliser une inspection visuelle de la route et des fossés.

En ce qui a trait aux environs de la zone d'étude restreinte, de nombreux inventaires ont été réalisés depuis la fin des années 1970 (voir figure 1). Ces interventions ont mené à l'inscription de 4 sites dans un rayon de 2 kilomètres de la zone des travaux. Trois de ces sites témoignent d'une occupation autochtone paléohistorique (CdFb-1, CdFb-4, et CdFb-12). L'autre est un site historique associé à un ancien moulin en lien avec l'industrie forestière (CdFb-3).

Potentiel paléohistorique

La berge sud à l'embouchure de la rivière Batiscan comporte un potentiel paléohistorique confirmé par la présence de trois sites dans un rayon approximatif de 2 kilomètres. L'ensemble de ces sites archéologiques sont dans les limites de l'unité pédologique *Uplands sable* formée de sable très rapidement drainé. Dans la zone d'étude détaillée, les sols sur cette rive sont associés à l'unité pédologique *Batiscan loam* formée de loam bien drainé. Ce drainage, légèrement inférieur à celui de l'unité *Uplands sable*, est considéré comme un facteur de réduction du potentiel d'occupation paléohistorique.

En ce qui a trait à la berge nord, aucun site archéologique connu n'y est répertorié. La pédologie de ce secteur est associée à l'unité *Pérade Loam* formée de loam imparfaitement drainé. La nature des sols réduit donc le potentiel d'occupation sur cette berge, sans toutefois le rendre nul.

D'un point de vue géographique, l'embouchure de la rivière Batiscan offre un environnement susceptible d'avoir accueilli une faune et une flore riche et diversifiée pendant la paléohistoire. De plus, ce secteur offre un accès facile à l'intérieur des terres via la rivière Batiscan, ainsi qu'au fleuve Saint-Laurent. En conséquence, le secteur doit être considéré comme un secteur d'intérêt élevé pour l'occupation autochtone paléohistorique.

D'un point de vue spécifique, à la suite de l'analyse des modèles établis à partir des données topographiques Lidar, incluant les modèles numériques de terrain, le modèle de pentes et le modèle d'humidité, combiné aux données historiques qui seront analysées plus loin, deux secteurs à potentiel

paléohistorique ont été identifiés. Le premier secteur, divisé en trois zones à potentiel, est constitué de lambeaux riverains formant la grande île située à l'embouchure de la rivière Batiscan, laquelle est aujourd'hui reliée à la berge par un remblai résultant de la construction du pont actuel. Bien qu'exploité au cours de la période historique à des fins d'agriculture, il est possible que des activités autochtones puissent avoir laissé des traces archéologiques dans les parties les mieux drainées de cette île. Le second secteur est divisé en deux zones à potentiel. Celle au sud se forme d'un petit monticule bien drainé situé en bordure sur une ancienne terrasse marine en bordure du fleuve Saint-Laurent et bordé au sud par un ancien ruisseau. Celle au nord offre un drainage moindre, mais est stratégiquement bien située au coin de la rivière Batiscan et du fleuve Saint-Laurent. En ce qui a trait aux autres secteurs de la zone d'étude détaillée, ceux-ci sont soit trop perturbés, soit trop humides ou trop accidentés pour offrir une surface d'accueil d'intérêt en comparaison des secteurs environnants (figure 2).

Il est à noter que la délimitation des zones à potentiel archéologique paléohistorique va au-delà des stricts besoins pour le projet afin de tenir compte des besoins potentiels en servitudes permanentes et temporaires ou à toute modification au projet ultérieure à la réalisation de la présente analyse.

**Reconstruction du pont P-01559
situé sur la route 138, au-dessus
de la rivière Batiscan**

Localisation de la zone d'étude
restreinte et synthèse des
connaissances archéologiques sur
fond orthophotographique 2016 et
topographique Lidar
(MNT et courbes 1 m)

Légende

-  Zone d'étude restreinte
-  Site archéologique connu
-  Zone d'intervention antérieure

Sources :
- SCO Prod, MCQ 2016 F6
- Forêts ouvertes, données Lidar
- MTMD, Base de données en archéologie
- MCC, ISAQ

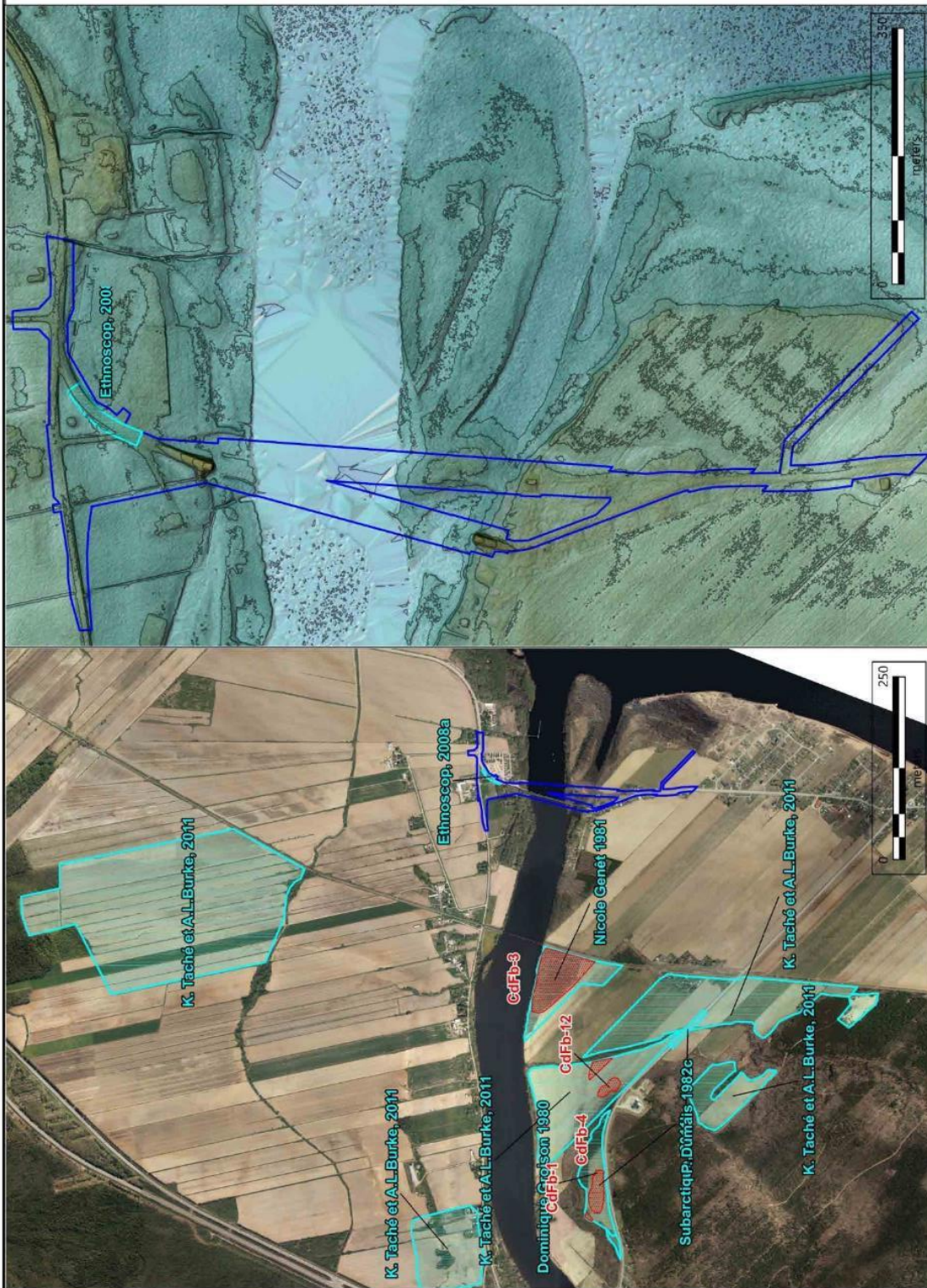


Figure 1 : Localisation de la zone d'étude reportée et état des connaissances archéologiques

154-99-0602
**Reconstruction du pont P-01559
situé sur la route 138, au-dessus
de la rivière Batiscan**

Potentiel archéologique
paléohistorique reporté sur les
modèles topographiques Lidar

Légende

 Zone d'étude restreinte

 Zone à potentiel paléohistorique

Indice d'humidité topographique (dégradé)

- Noir : Très bien drainé / Forte pente

- Blanc : Très mauvais drainage /

Humide



Sources :
- Forêts ouvertes, données Lidar
- MTMD, Base de données en archéologie

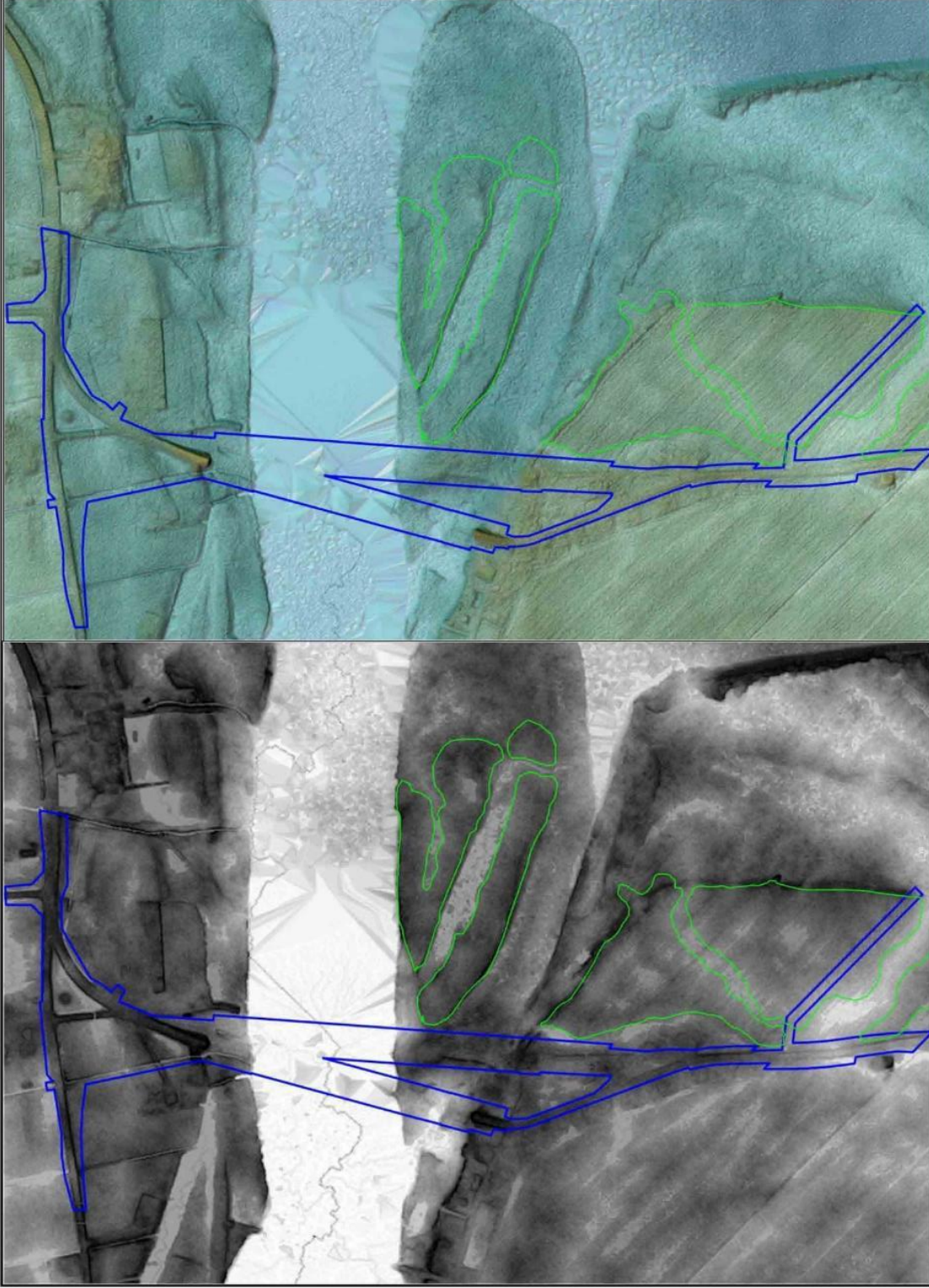


Figure 2 : Zone à potentiel paléohistorique autochtone reportée sur font de modélisation topographique (indice d'humidité topographique / Pente, modèle numérique de terrain et modèle de relief ombré)

Potentiel historique

Les aménagements historiques du secteur des travaux remontent minimalement au début du XVIII^e siècle. Parmi ceux-ci, un plan de 1725 illustre la présence d'un moulin à vent près de l'embouchure de la rivière Batiscan sur la berge sud. Une route interrompue par la rivière suggère la présence probable d'un lien par voie navigable (figure 3).

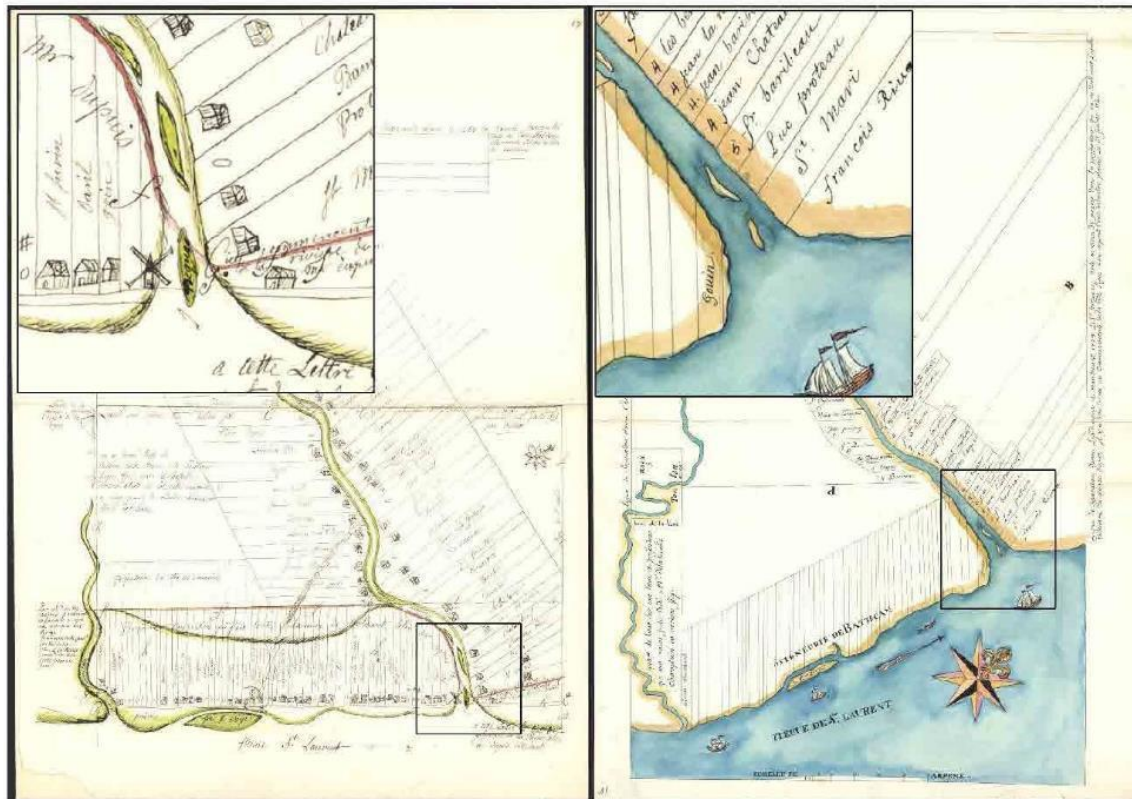


Figure 3: Plans de 1725 illustrant la division cadastrale dans le secteur de Batiscan (ANC, ID4126800¹ et 4126801²)

Selon la page d'histoire du site de la municipalité de Batiscan, le premier pont fut construit sur la rivière Batiscan en 1844³, puis fermé à la circulation aux environs de 1885, à la suite de quoi la traversée s'est effectuée « à nouveau en bac »⁴. Cette mention sous-entend qu'avant l'ouverture du pont, la traversée se faisait déjà en bac, ce qui semble cohérent avec le tracé de la route sur le plan de 1725. La localisation possible des quais d'embarquement de ce bac est illustrée sur une carte de navigation de 1838 (figure 4).

¹ Bibliothèque et Archives Canada, (Plan cadastral de Batiscan) [cartographic material] - Library and Archives Canada (bac-lac.gc.ca) [Consulté le 29 septembre 2021]

² Bibliothèque et Archives Canada, (Plan cadastral de Batiscan) [cartographic material] - Library and Archives Canada (bac-lac.gc.ca) [Consulté le 29 septembre 2021]

³ Municipalité de Batiscan, <http://www.batiscan.ca/fr/municipalite/histoire/dates-memorables-batiscan/> [consulté le 29 septembre 2021]

⁴ Municipalité de Batiscan, <http://www.batiscan.ca/fr/municipalite/histoire/dates-memorables-batiscan/> [consulté le 29 septembre 2021]

Selon cette carte, le chemin qui menait aux berges était situé tout juste à la pointe est de la grande île située à l'embouchure de la rivière Batiscan.

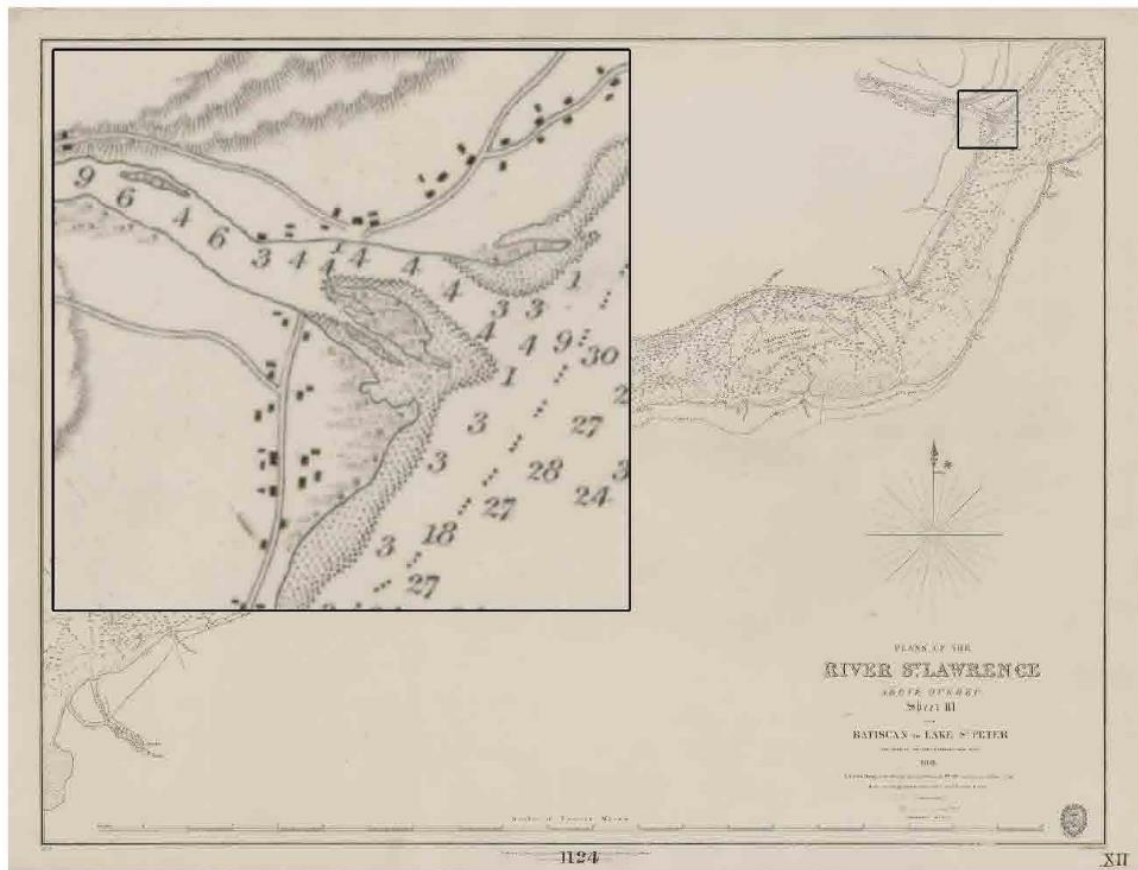


Figure 4 : Carte de navigation de 1838 illustrant le tracé du chemin de part et d'autre de la rivière Batiscan, endroit probable de la traverse du bac antérieur à 1844 (ANC, ID 3663604⁵)

Le premier document identifié illustrant la localisation du premier pont est une carte de navigation de 1860 (figure 5). Ce plan, qui semble un peu moins schématique que le précédent, suggère que le pont ait été légèrement en aval de la probable traverse antérieure à 1844. Cela pourrait être cohérent avec le besoin de maintenir la circulation inter-rives pendant la construction du pont. Le pont illustré ne comporte qu'un tablier et 7 piles réparties à des distances similaires. Des bâtiments sont illustrés à proximité de l'approche sud du présumé bac. Deux plans du Greffe de l'arpenteur général du Québec (GAGQ) datant respectivement de 1872 et 1872 illustrent aussi le premier pont dans les environs du pont actuel (figure 6). Sur le document de 1872, l'approche Sud-Est située sur le lot 63 alors que l'approche Nord est située sur le lot 8. Sur le second document, produit pour l'aménagement du Chemin de fer, le premier pont est

⁵ [Plans of the River St. Lawrence above Quebec, sheet III, from Batiscan to Lake St. Peter \[cartographic material\] / surveyed by Captn. H.W. Bayfield R.N. F.A.S., 1831 - Library and Archives Canada \(bac-lac.gc.ca\)](#)

illustré avec deux culées et 5 piles réparties à équidistance l'une de l'autre et était situé en aval du pont ferroviaire. Aucun bâtiment n'est illustré sur ces plans⁶.

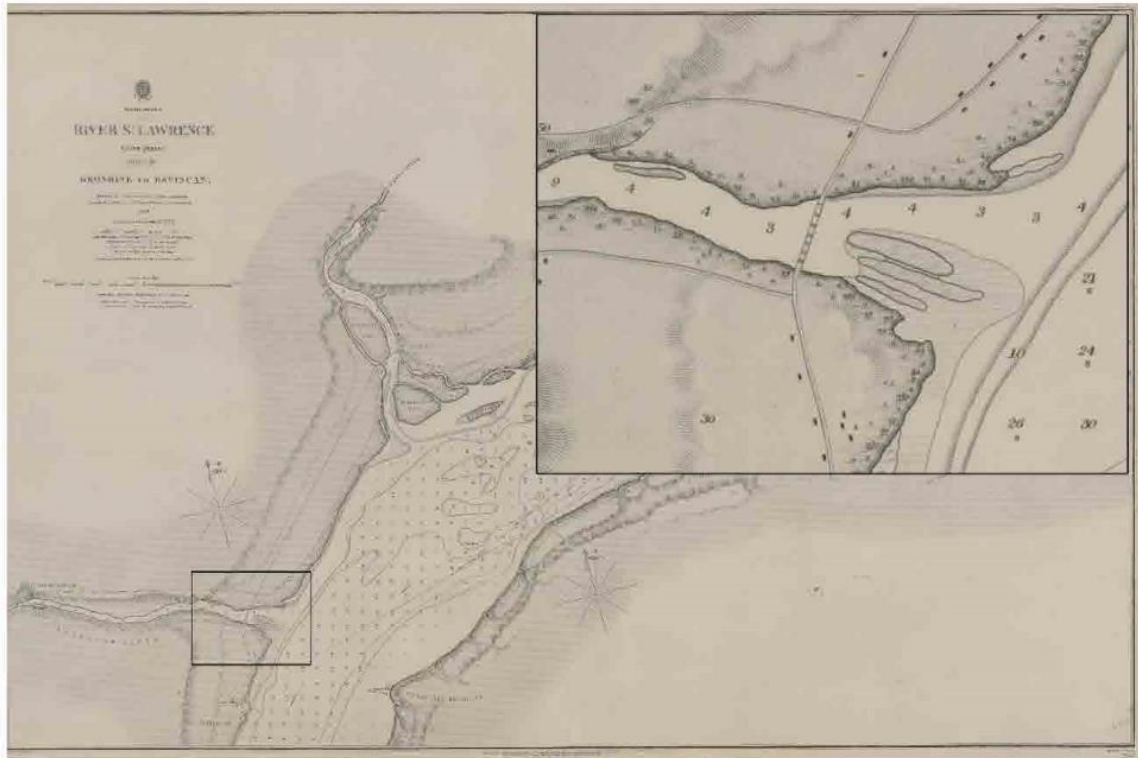


Figure 5 : Carte de navigation de 1860 illustrant le pont de 1844 (ANC, ID3671827⁷)

⁶ GAGQ, PL081_A daté du 26 juin 1872 et PL2029_3_3 daté du 21 août 1873

⁷ [River St. Lawrence, above Quebec, sheet IV \[cartographic material\] : Grondine to Batiscan / surveyed by Capt. H.W. Bayfield, Commr. J. Orlebar, Lieut. Hancock, E.A. Carey, & W.T. Clifton Mastr. R.N. & Mr. Desbrisay R.N., 1859 - Library and Archives Canada \(bac-lac.gc.ca\)](#)

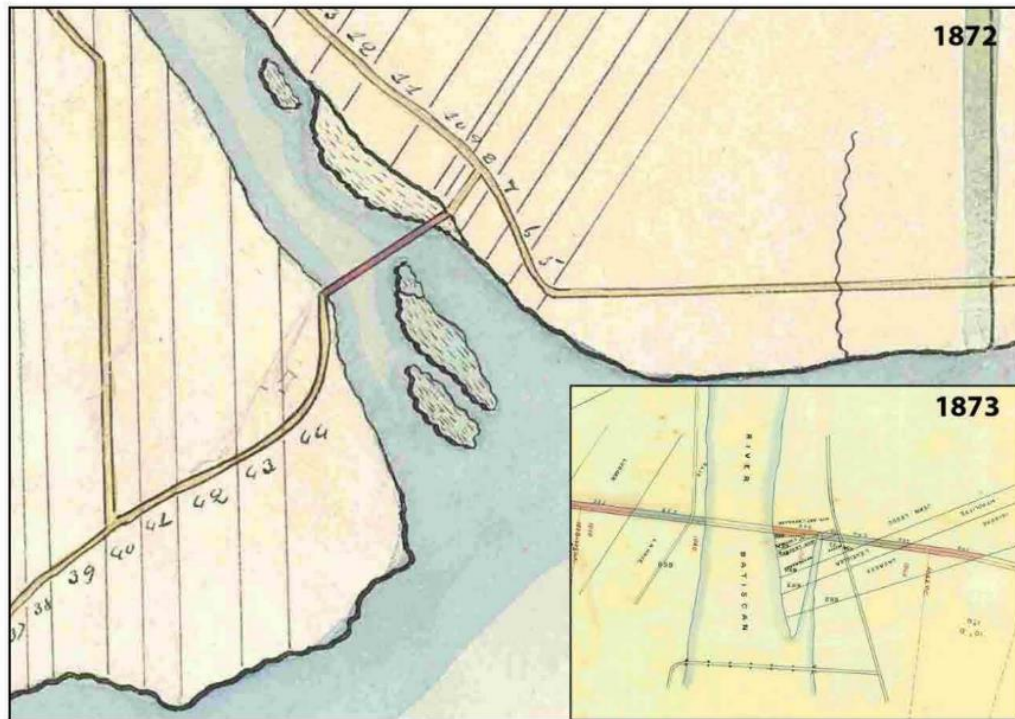


Figure 6 : Plans cadastraux illustrant l'ancien pont de la rivière Batiscan.

La traverse du bac en fonction entre la fermeture du premier pont et l'ouverture du second est identifiée sur la mise à jour de 1915 de la carte de navigation de 1910. Celle-ci est localisée en amont du premier pont, dont l'approche sud semble toujours présente à cette date. Un bâtiment est illustré directement sur la berge à l'est de cette approche (figure 7).

du pont sur le feuillet 3 du plan de 1920 pourrait correspondre, du moins en partie, au chemin du XIX^e siècle. Cette hypothèse semble se confirmer par la mention « Montréal à l'originnaire » inscrite sur le feuillet 01 du plan d'acquisition 622-90-E0-155 consulté via le greffe d'arpentage du MTQ.

Un article du journal Le Devoir du 25 septembre 1922 portant sur la cérémonie d'inauguration décrit le bac comme suit :

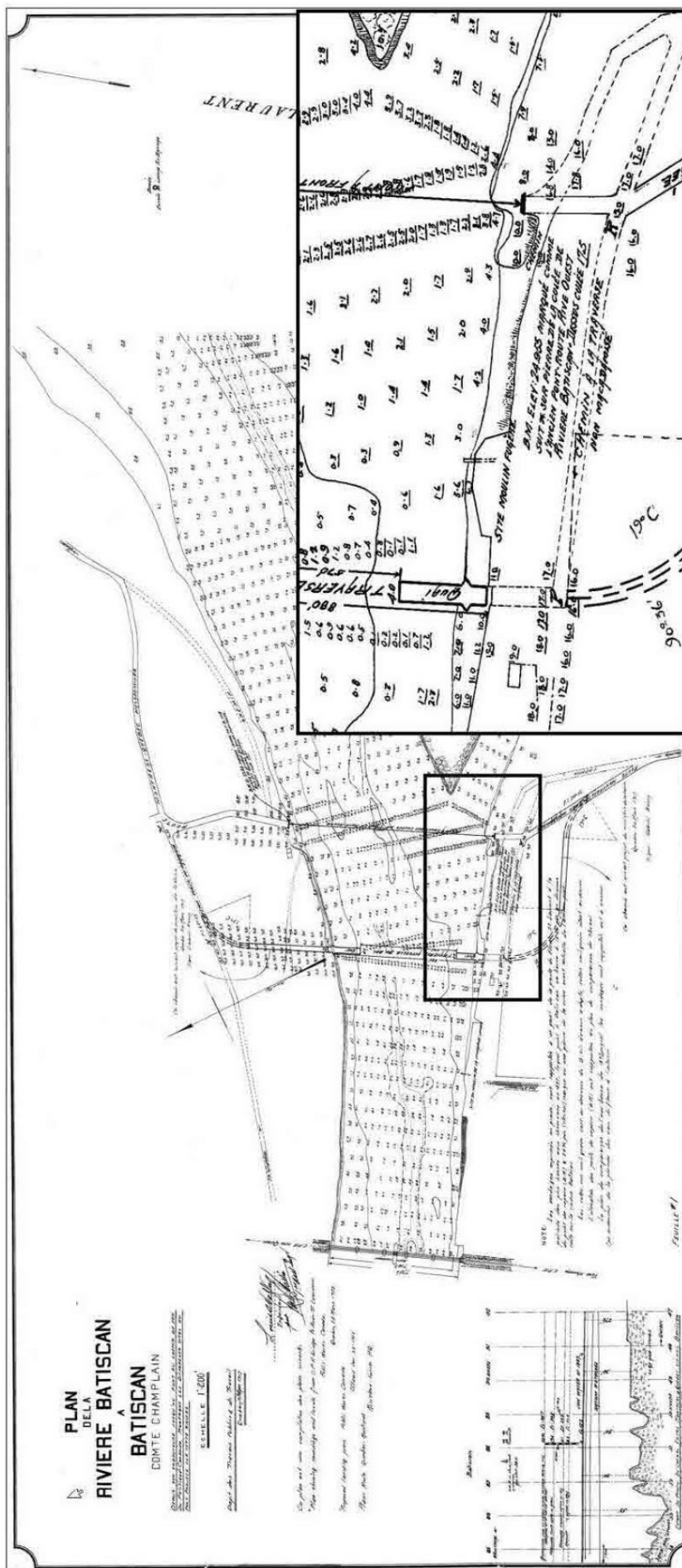
« Jadis, les touristes qui s'aventuraient sur la route Montréal-Québec, l'orgueil de notre gouvernement, arrivaient fort perplexes à pied de la rivière Batiscan. D'aussi loin que la vue s'étendait la rivière coulait silencieuse et libre. Bientôt arrivait accompagné d'un bruit sourd, une espèce de plate-forme que montait un Caron local. Les automobilistes étrangers se refusaient carrément à risquer le sort de leurs machines dans pareil esquif, mais les gens des régions avoisinantes s'y entassaient suivis bientôt par les récalcitrants. Lorsque sa barque était bien remplie et les contributions payées, le nocher repartait pour l'autre rive du Styx canadien. Rendu là, il s'agissait de monter un raidillon abrupt. Les Ford s'en tiraient toujours assez bien et venaient fraternellement au secours des lourdes machines qui crachaient peste et fumée, de fureur [sic] impuissantes. Durant ce temps, les autres automobilistes attendaient patiemment ou impatiemment, pendant une demi- heure le retour de la barque ».⁹

En ce qui a trait au pont actuel, celui-ci était initialement muni d'une travée à bascule et d'un poste de péage comme l'article du journal Le Devoir :

« Toutefois, si l'on a aboli le côté désagréable que présentait la traversée de la rivière Batiscan on ne lui en a pas enlevé le côté lucratif. Une bascule placée juste au milieu du pont permet à un percepteur d'immobiliser la circulation et de percevoir un droit de péage. Ledit pont a 1219 pieds de longueur, et est en acier ».¹⁰

⁹ BAnQ, <https://numerique.banq.qc.ca/patrimoine/details/52327/2801316?docsearchtext=pont%20batiscan>

¹⁰ ¹⁰ BAnQ, <https://numerique.banq.qc.ca/patrimoine/details/52327/2801316?docsearchtext=pont%20batiscan>



La carte topographique de 1931 illustre la présence des quais reliés à l'exploitation du bac ainsi que le pont actuel. Cette même carte illustre la présence de deux bâtiments directement à l'ouest de la culée nord et deux autres le long de la berge directement à l'est de la culée sud (figure 11).

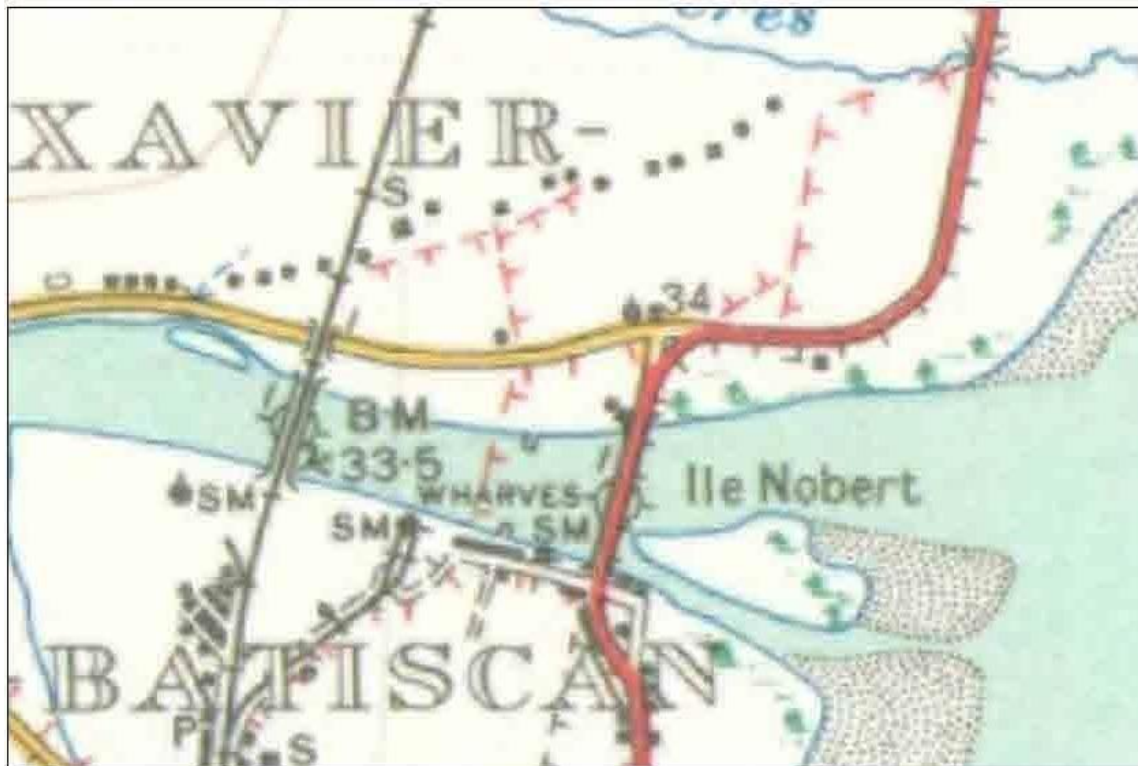


Figure 11 : Extraits du plan PO-1920-1-01559_PO_TC_0003_1_01, MTQ, PLN.prod.

Enfin, plusieurs photographies aériennes permettent de documenter les changements dans les environs du projet. Il est à noter que lorsqu'on compare l'ensemble des photographies aériennes disponibles, on constate que de nombreux petits bâtiments semblent constamment changer de place et que leur nombre augmente avec le temps. Il s'agit en fait de petites cabanes construites pour la pêche hivernale réalisée sur la rivière Batiscan. Ces éléments du bâti n'étant pas fixes, ils n'ont pas été pris en compte pour établir l'évolution du bâti.

La première photographie aérienne identifiée date de 1955. On constate rapidement que la répartition du milieu bâti par rapport aux bâtiments existants a peu changé. Toutefois, de nombreux changements sont identifiables au niveau des dépendances et de certains bâtiments probablement résidentiels qui ont été soit déménagés, soit agrandis, soit détruits. Notons la présence d'un imposant bâtiment commercial entre la fourche formée par l'ancien tracé de la route et le tracé de l'actuelle route 138 au sud du pont. Des pompes à essence y sont observables. Du côté nord, à l'ouest de la route, de petits bâtiments alignés nord-sud sont visibles. Il s'agit en fait de petites cabanes hôtelières construites sur pilotis. Conformément à la pratique en archéologie historique québécoise, à moins de raison exceptionnelle, les occupations humaines détruites abandonnées après 1950 sont considérées comme ayant une faible valeur de recherche archéologique. Dès lors, les bâtiments visibles sur la photographie aérienne de 1955 sont tous considérés comme étant sans intérêt pour la recherche (figures 12 et 13).

La deuxième série de photographies aériennes identifiées date de 1964. Une première ligne photographique couvre principalement la berge sud de la rivière Batiscan. On y observe la présence d'au moins deux bâtiments de grande dimension aujourd'hui détruits et de quelques petites dépendances de faibles dimensions. Au nord, un grand bâtiment présent est susceptible d'avoir empiété légèrement dans la zone d'étude. La position de ce dernier correspond à la position d'une partie d'un bâtiment actuel situé à l'entrée du camping. Ce dernier pourrait être un agrandissement du bâtiment de 1964 ou une reconstruction au même endroit, ce qui dans les deux cas démontre l'absence d'intérêt archéologique à cet endroit (figure 14).

Au sud de la rivière, une troisième couverture photographique a été retenue pour l'analyse, soit la photographique aérienne de 1976. Celle-ci est à la fois très nette, ce qui permet une meilleure analyse, et permet de bien documenter l'évolution du bâti entre 1964 et 2016. On y observe notamment que l'emplacement du commerce comportant des pompes à essence a fait l'objet d'un important agrandissement au nord. Cette photographie démontre aussi l'ampleur des aménagements de surface entourant ce commerce, ce qui rend le potentiel archéologique nul sur ce lot cadastral (figure 15).

Il est à noter qu'au nord de la rivière Batiscan, l'ampleur des perturbations causées par les aménagements routiers et commerciaux de la berge nord, ainsi que la topographie naturelle souvent plus accidentée et moins bien drainée réduisent grandement les risques de mettre au jour des vestiges archéologiques paléohistoriques. De plus, il y semble moins propice de s'y installer étant donné la topographie et le drainage des sols. Dès lors, les risques d'y retrouver des traces archéologiques témoignant de l'occupation humaine paléohistorique y sont jugés faibles à nuls.

154-99-0602

**Reconstruction du pont P-01559
situé sur la route 138, au-dessus
de la rivière Batiscan**

Zone d'étude restreinte et bâti de
photographie de 1955 sur fond
photographique de 1955 - Berge
sud de la rivière Batiscan

Légende

-  Vestige potentiel en 1964
-  Batiment en 2016
-  Ancien quai
-  Ancienne route (centre)
-  Ancienne route (surface)
-  Zone d'étude détaillée
-  Potentiel paléohistorique réduit
-  Potentiel paléohistorique élevé



Sources :
- MTMD, SCO.prod
- MTMD, Base de donnée en archéologie
- Photo aérienne A14600 150

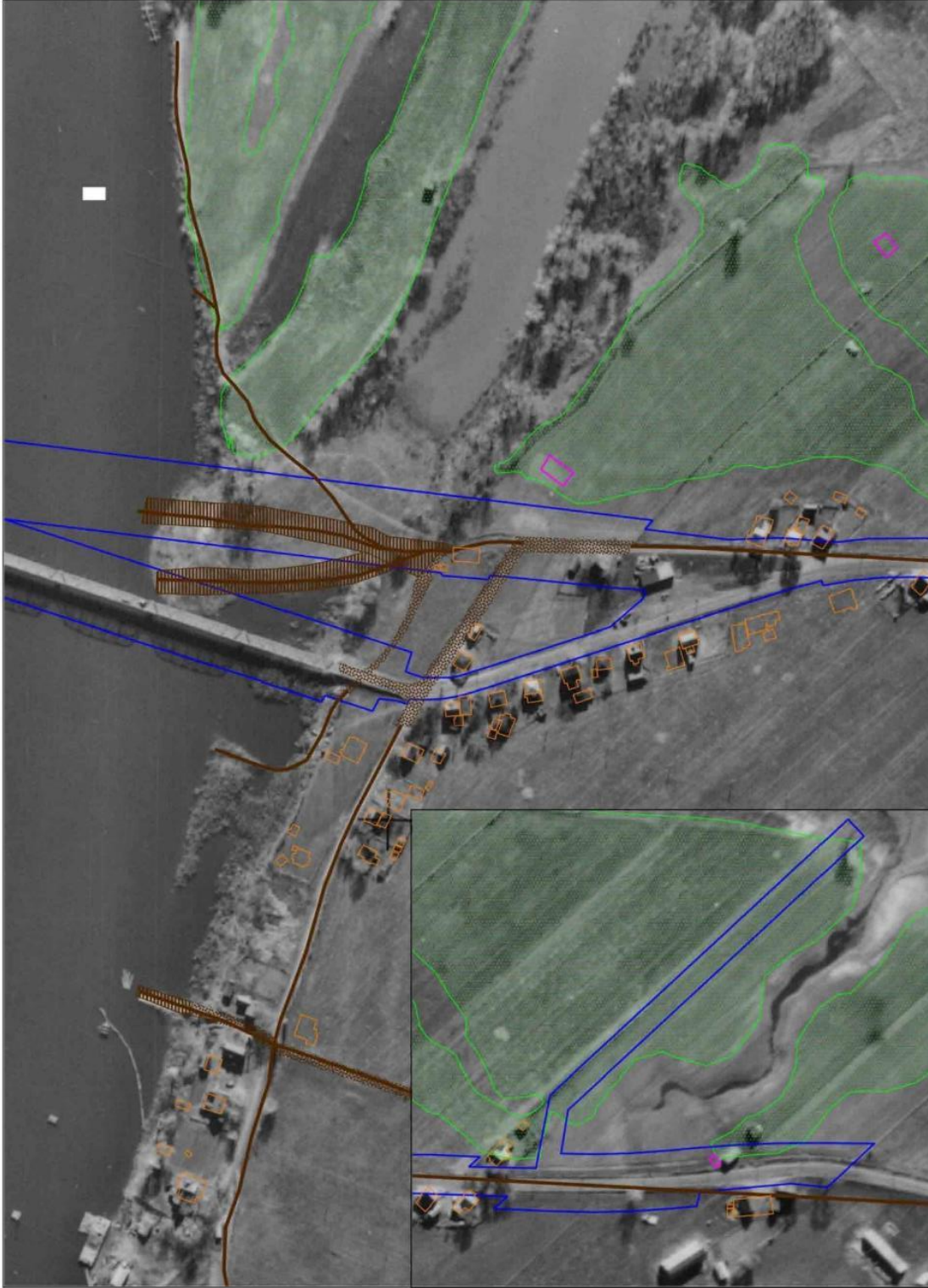


Figure 12 : Zone d'étude détaillée, berge sud de la rivière Batiscan, sur fond photographique de 1955

154-99-0602

**Reconstruction du pont P-01559
situé sur la route 138, au-dessus
de la rivière Batiscan**

Zone d'étude restreinte et bâti de
2016 ou antérieur à 1955 sur fond
photographique de 1955 - Berge
nord de la rivière Batiscan

Légende

- Vestige potentiel en 1964
- Batiment en 2016
- Ancien quai
- Ancienne route (centre)
- Ancienne route (surface)
- Zone d'étude détaillée



Sources :

- MTMD, SCO, prod
- MTMD, Base de donnée en archéologie
- Photo aérienne A14600 150

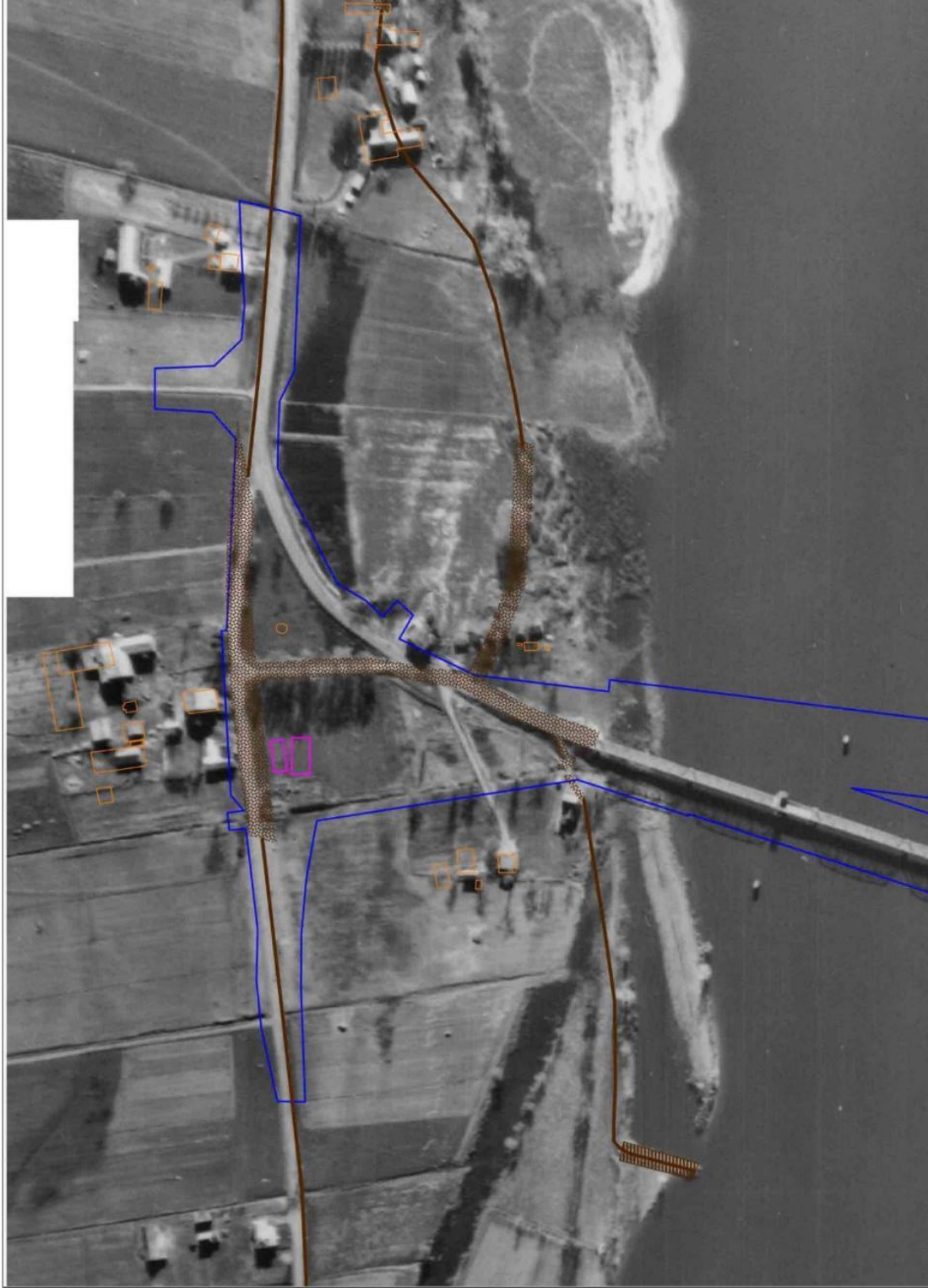


Figure 13 : Zone d'étude détaillée, berge nord de la rivière Batiscan, sur fond photographique de 1955

Légende

-  Zone d'étude restreinte
-  Anciens quai probable
-  Ancienne route (centre)
-  Ancienne route (surface)
-  Possible ruine en 1964
-  Bâtiment présent en 2016



Sources :
- ITMD, SCO.prod
- ITMD, Base de données en archéologie
- 064550-26

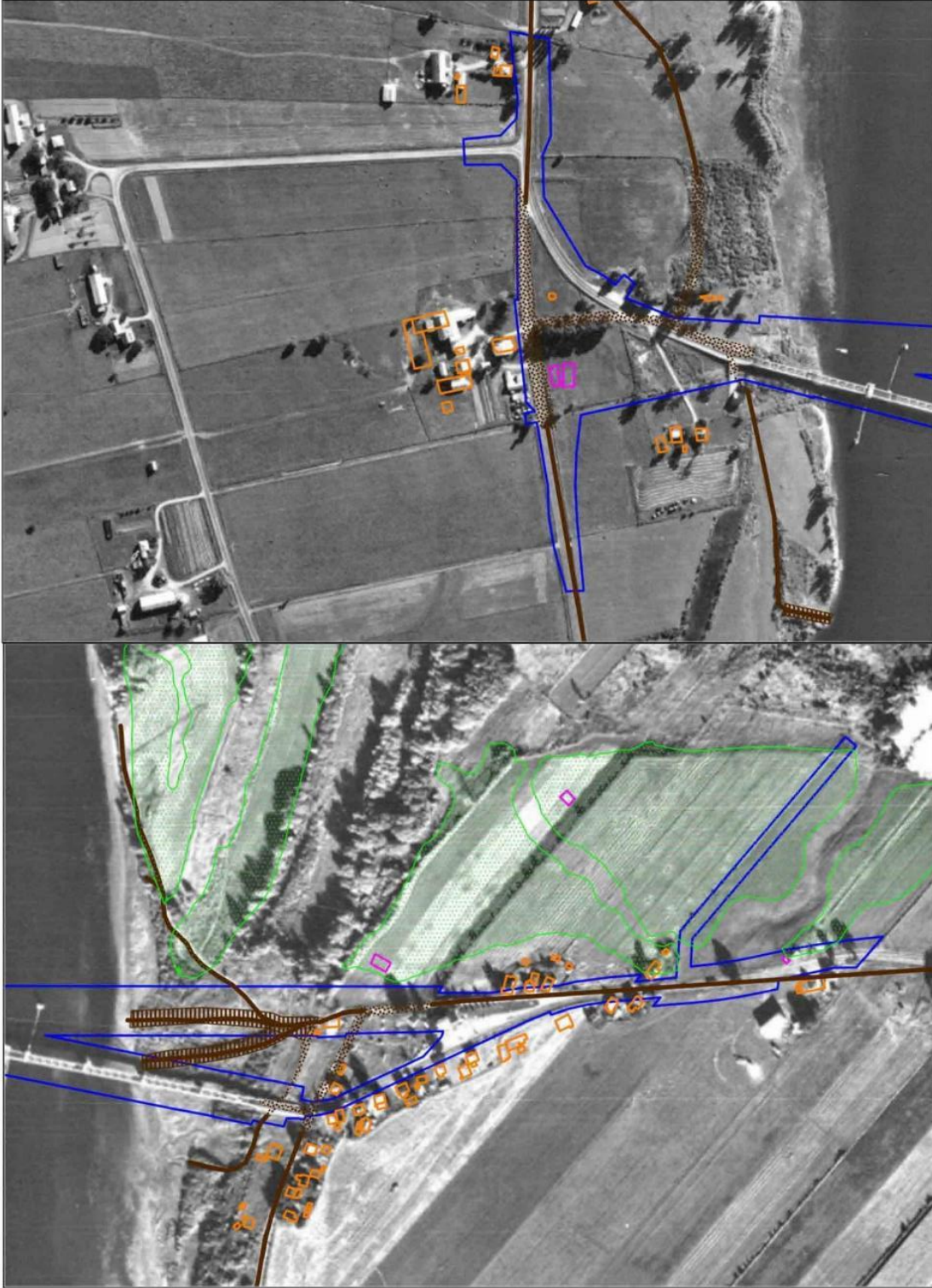


Figure 14 : Zone d'étude détaillée, berges sud et nord de la rivière Batiscan, sur fond photographique de 1964

Zone d'étude restreinte, potentiel
paléohistorique et bâti de 2016 ou
antérieur à 1955 sur fond
photographique de 1976 - Berge
sud de la rivière Batiscan

Légende

- Vestige potentiel en 1964
- Bâtiment en 2016
- Ancien quai
- Ancienne route (centre)
- Ancienne route (surface)
- Zone d'étude détaillée
- Potentiel paléohistorique



Sources :

- MTMD, SCO prod
- MTMD, Base de données en archéologie
- Photo aérienne Q76424 - 28

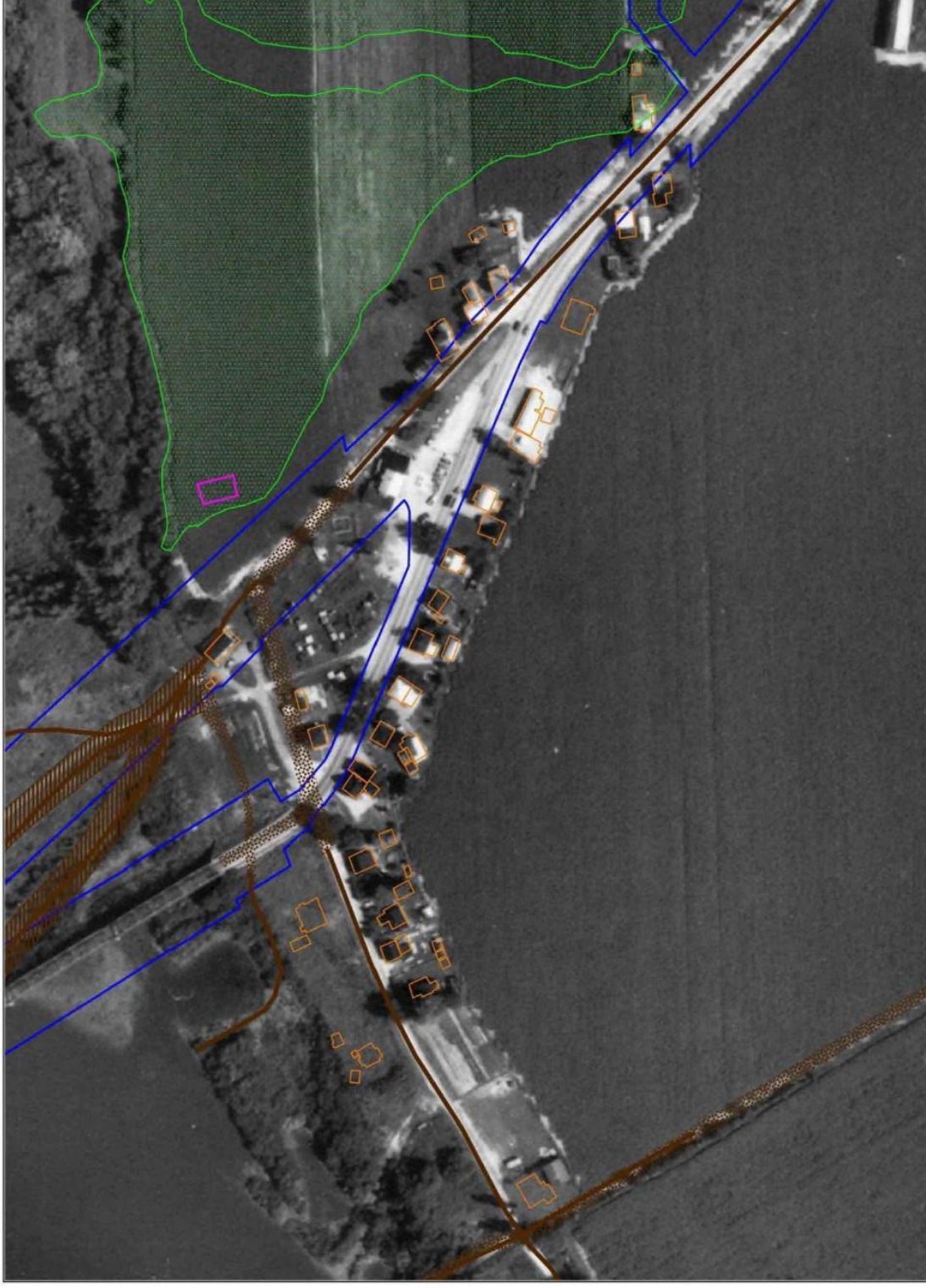


Figure 15 : Zone d'étude détaillée, berge sud de la rivière Batiscan, sur fond photographique de 1976

La superposition polyphasée des données identifiables sur les différents documents d'archives identifiés et l'analyse de ces données permet d'identifier un potentiel archéologique historique sur la berge sud de la rivière Batiscan. Ce potentiel se caractérise principalement par un secteur industriel situé en bordure de la rivière à l'ouest du pont actuel. Près du pont, un potentiel en lien avec la construction du premier pont et de l'actuel est identifié de part et d'autre de l'approche sud au nord du tracé de l'ancienne route. Des deux côtés de la route 138, un potentiel en lien avec la présence de résidences principales et secondaires, d'aménagements agrodomestiques et d'aménagements commerciaux est identifié. L'actuel cadastre de la route 138, celui de l'ancien tracé de la route et le lot où se situait le commerce comportant des pompes à essence ont été retirés des zones à potentiel puisqu'aucune donnée identifiée ne permet de penser que des aménagements plus anciens puissent se retrouver sous les aménagements actuels. Enfin, à l'ouest de l'actuelle route 138 et de l'ancien tracé de la route, un potentiel historique ancien est identifié en raison des plans d'archives identifiants de possibles aménagements plus près du fleuve, principalement en raison des plans de 1775 (figure 3). Ce secteur correspond aussi à celui identifié comme ayant un potentiel archéologique paléohistorique (figure 2). Il n'est d'ailleurs pas inusité que le potentiel historique ancien et le potentiel paléohistorique se superposent, puisque l'occupation humaine plus ancienne semble favorisée par la sélection d'endroits où l'environnement naturel est favorable à la réalisation d'aménagement sans effort important. Dès lors, un bon drainage naturel et un endroit accessible depuis les voies navigables s'avèrent probablement privilégiés dans le choix des sites de colonisation (figure 16).

Au nord de la route, le potentiel se limite à trois endroits jugés favorables à une occupation historique plus ancienne. La première, au nord, correspond à l'emplacement de possibles anomalies rectangulaires visibles en stéréoscopie sur les photographies aériennes de 1964. La deuxième, au centre, correspond à une bande de terrain où il est possible d'observer des aménagements sur l'ensemble des photographies aériennes. La troisième, au sud, correspond à un endroit où se situe un bâtiment résidentiel et où passait autrefois le chemin menant au quai Nord qui servait à la traverse par le bac. Il est à noter que l'ampleur des perturbations causées par les aménagements routiers et commerciaux de la berge nord, ainsi que la topographie naturelle souvent plus accidentée et moins bien drainée réduisent grandement les risques de mettre au jour des vestiges archéologiques en dehors des deux zones identifiées (figure 17).

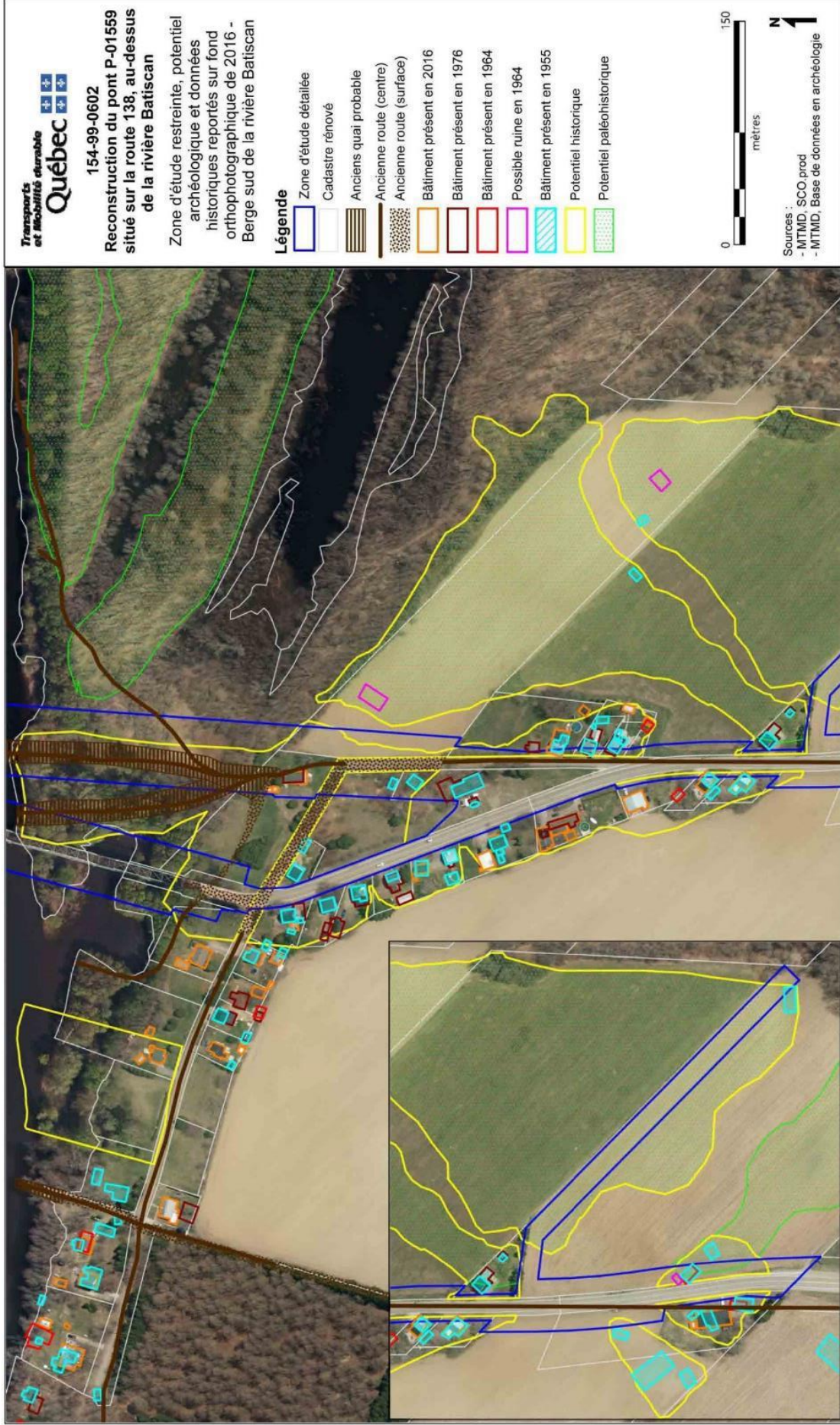


Figure 16 : Plan polyphasé des bâtiments observables selon l'année du document, classés du plus récent au plus ancien, illustrant la zone d'étude détaillée et les zones à potentiel archéologique définies pour la berge sud de la rivière Batiscan,

154-99-0602

**Reconstruction du pont P-01559
situé sur la route 138, au-dessus
de la rivière Batiscan**

Zone d'étude restreinte, potentiel
archéologique et données
historiques reportés sur fond
orthophotographique de 2016

Légende

- Zone d'étude restreinte
- Cadastre rénové
- Anciens quat probable
- Ancienne route (centre)
- Ancienne route (surface)
- Bâtiment présent en 2016
- Bâtiment présent en 1976
- Bâtiment présent en 1964
- Possible ruine en 1964
- Bâtiment présent en 1955
- Potentiel historique
- Potentiel paléohistorique



Sources :
- MTMD, SCO.prcd
- MTMD, Base de données en archéologie

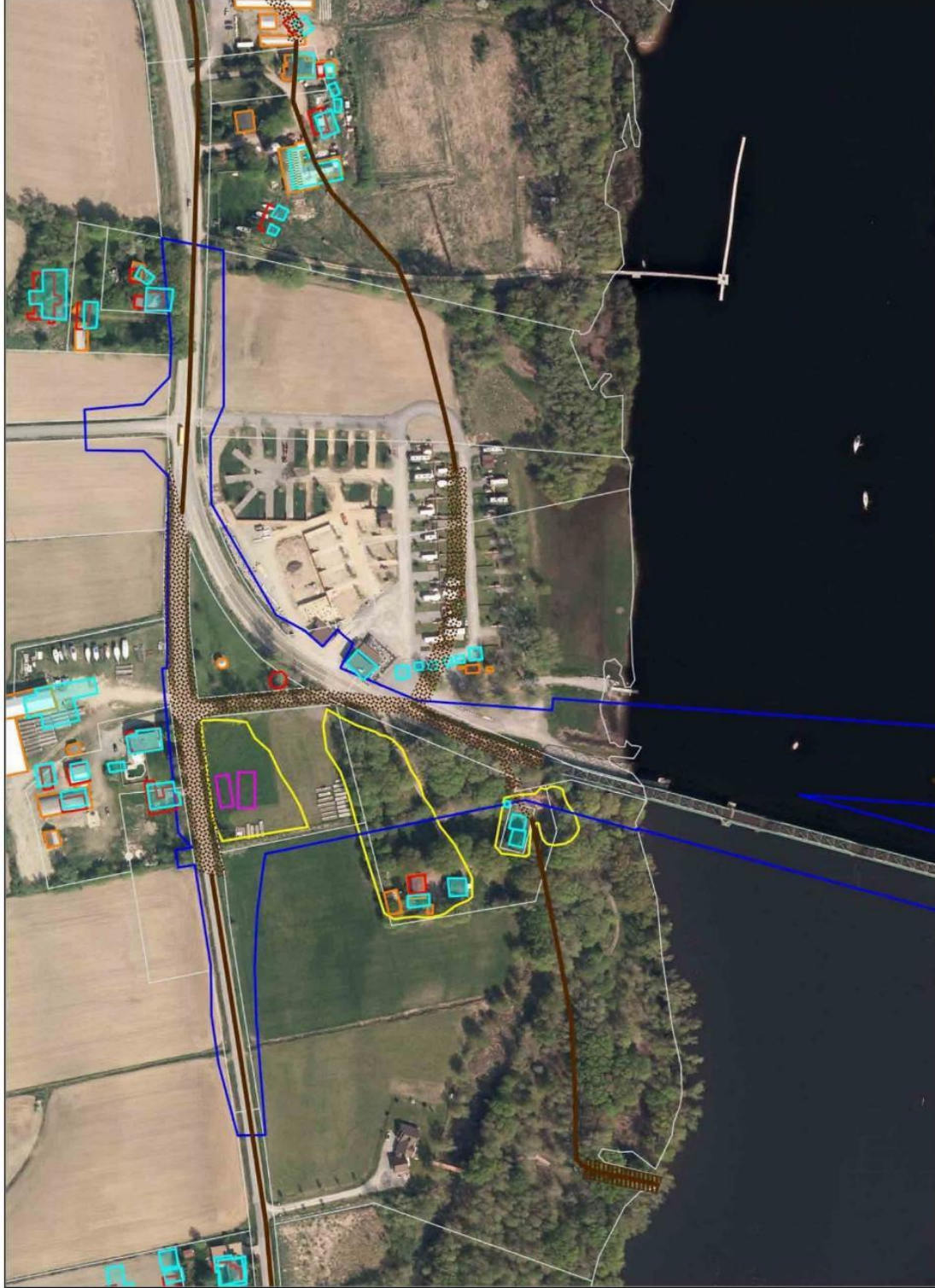


Figure 17 : Plan polyphasé du plus récent au plus ancien illustrant la zone d'étude détaillée et les zones à potentiel archéologique définies pour la berge nord de la rivière Batiscan, sur fond photographique de 2016

Conclusion et recommandations

L'analyse de la zone d'étude restreinte requise pour le projet de reconstruction du pont P-01559 situé sur la route 138, au-dessus de la rivière Batiscan, démontre que le secteur comporte un potentiel archéologique tant autochtone qu'euroquébécois. En ce qui a trait au potentiel paléohistorique autochtone, celui-ci est fortement diminué sur la majeure partie de la berge sud en raison de l'ampleur des perturbations découlant des aménagements historiques. Cependant, un secteur à potentiel élevé subsiste dans l'axe de la servitude de drainage projeté et sur à proximité de l'embouchure de la rivière Batiscan sur la berge sud de celle-ci, incluant l'île présente à son embouchure. En ce qui a trait au potentiel historique, celui-ci est plutôt bien ciblé pour les aménagements du XX^e siècle. Cependant, les données pour les XVIII^e et XIX^e siècles demeurent imprécises en de nombreux points, dont la localisation exacte des anciennes routes et des bâtiments identifiés sur les différents documents consultés, notamment un potentiel moulin à vent et les quais d'embarquement du bac antérieurement à 1844.

En conclusion, il est recommandé de procéder à un inventaire préalable à la réalisation des travaux. Toute découverte de biens ou de sites archéologiques devra faire l'objet d'une évaluation qualitative et quantitative. Le cas échéant, les mesures d'atténuation requises devront être mises en place afin de réduire l'impact du projet sur le patrimoine archéologique et vice versa.